

7978

T.C.
ULUDAĞ ÜNİVERSİTESİ
FEN BİLİMLERİ ENSTİTÜSÜ

ABSORBSİYONLU SOĞUTMA SİSTEMİ KULLANAN BİR OTOMOBİL KLİMASI PROJELENDİRİLMESİ

BEDİİ ÖZGÜR SEVİNECEK

29079

YÜKSEK LİSANS TEZİ
TERMODİNAMİK ANABİLİM DALI
1998

T.C. YÜKSEK ÖĞRETİM KURULU
AKREDİTASYON MERKEZİ

**ULUDAĞ ÜNİVERSİTESİ
FEN BİLİMLERİ ENSTİTÜSÜ**

**ABSORBSİYONLU SOĞUTMA SİSTEMİ KULLANAN
BİR OTOMOBİL KLİMASI PROJELENDİRİLMESİ**

BEDİİ ÖZGÜR SEVİNECEK

29078

**YÜKSEK LİSANS TEZİ
TERMODİNAMİK ANABİLİM DALI**

1998

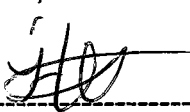
**ULUDAĞ ÜNİVERSİTESİ
FEN BİLİMLERİ ENSTİTÜSÜ**

**ABSORBSİYONLU SOĞUTMA SİSTEMİ KULLANAN
BİR OTOMOBİL KLİMASI PROJELENDİRİLMESİ**

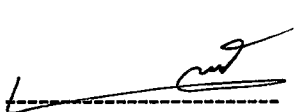
BEDİİ ÖZGÜR SEVİNECEK

**YÜKSEK LİSANS TEZİ
TERMODİNAMİK ANABİLİM DALI**

Bu tez 12/04/1998 tarihinde aşağıdaki jüri tarafından oybirliği/oyçokluğu ile kabul edilmiştir.



Yrd.Doç.Dr. İlhami HORUZ 

Prof.Dr. Recep YILMAZ


Doç.Dr. Abdülhakap YILÇIT

Ö Z E T

Yapılan teorik araştırmanın amacı, Otomobil Klima Sisteminde - egsoz gazındaki atık ısısını, temel ısı kaynağı olarak kullanan - Absorbsiyonlu Soğutma Sisteminin kullanılmasını incelemektir. Bu şekilde, kompresör tarafından tahrik edilen klasik Buhar Sıkıştırmalı Soğutma Sistemine alternatif bir sistem sağlayacaktır.

Araştırmada incelenen Absorbsiyonlu Soğutma Sistemi, TOFAŞ AŞ'den alınan bilgilere göre 3,2 ila 29,6 kW soğutma kapasitesini sağlayan ve soğutucu olarak su, soğurucu olarak lityum-bromür kullanan sistemdir.

Teorik hesaplamalar, TOFAŞ AŞ tarafından üretilen FIAT - UNO SX modeli üzerine yapılmıştır. Farklı devir ve yük değerlerindeki 1400 cc motorun egsoz gazı ısı dağılımı üzerine tesis edilen değerler kullanılmıştır.

Absorbsiyonlu Soğutma Sistemini lehte destekleyen pek çok özelliği mevcuttur. Öncelikle sistemde, Buhar Sıkıştırmalı Soğutma Sistemindeki kompresöre gereken güçle kıyaslandığında çok düşük bir elektrik gücüyle çalışan eriyik pompasının bulunmasıdır. Absorbsiyonlu Soğutma Sisteminin diğer avantajları ise, sisteme deki eriyik pompa dışında hareketli parçalar bulunmadığından, daha az gürültü, yüksek güvenilirlik ve dayanıklılıktır.

Klasik Otomobil Klima Sistemi ve alternatif Absorbsiyonlu Soğutma Sistemi kullanan sistem karşılaştırıldığında, egsoz gazı ile sürülen sistemin performansının kabul edilebilir düzeyde olduğu görüldü. Araç, düşük hızlarda seyir veya park halinde iken sistem performansı, daha efektif kaynatıcı dizaynı ile geliştirilebilir.

A B S T R A C T

The objective of this research is the theoretical investigation of using Vapour Absorption Refrigeration System in the Automobile Air Conditioning System, by utilising the waste heat in the exhaust gases of the main propulsion unit as the heat source. This would provide an alternative to the conventional system that have an internal combustion engine driven Vapour Compression Refrigeration System.

Vapour Absorption Refrigeration System that is analysed in the study, uses lithium bromide - water solution with water as the refrigerant and lithiumbromide as the absorbent has a design cooling capacity of between 3,2 kW and 29,6 kW due to information given by TOFAŞ A.Ş.

The theoretical calculations were performed on FIAT - UNO SX model which is produced by TOFAŞ. The information values are based on heat distribution of the exhaust gases of the 1400 cc. engine under various speed and load.

The Vapour Absorption Refrigerant Systems have many favourable characteristics. Firstly, they normally require a small electrical input to drive the solution pump, but this is very small compared to the power requirements of the compressor in the Vapour Compression Refrigeretion System. Secondly, the absence of moving parts, except for the solution pump, means low noise, high reliability and long durability of the Vapour Absorption Refrigeration Systems.

The comparison of the conventional Automobile Air Conditioning System and alternative the system using Vapour Absorption Refrigeration System showed that, the performance level of the exhaust gas driven system was acceptable. The operation during the off road and slow condition, the performance of the system can be developed by more efficient design of the generator.

İÇİNDEKİLER

Abstract / Özeti	I
İçindekiler	II
Simgeler Dizini	III
Şekiller Dizini	IV
Tablolar Dizini	V
1. GİRİŞ	1
1.1 Soğutma ve Soğutma Sistemleri	3
1.1.1 Soğutma	3
1.1.2 Soğutma Sistemleri	3
1.1.3 Soğutma Sistemleri Tipleri	4
1.1.4 Buhar Sıkıştırmalı Mekanik Soğutma Çevrimi	5
1.1.5 Absorbsiyonlu Soğutma Sistemi	5
1.1.6 Soğurucu / Soğutucu Akişkan Kombinasyonu	10
2. KAYNAK ARAŞTIRMASI VE KURAMSAL BİLGİLER	
2.1 Konu İle İlgili Önceki Çalışmalar	12
2.2 Otomobil Klima Sistemleri	19
2.2.1 Otomobil Kliması Kullanımı	19
2.2.2 Otomobil Kliması Çalışma Prensipleri	20
2.2.3 Otomobil Kliması Çalışma Koşulları	23
2.2.4 Soğutma Kapasitesi	25
2.2.5 Kompresör	26
2.2.6 Yoğunlaştırıcı (Kondenser)	29
2.2.7 Nem Tutucu Filtre	29
2.2.8 Buharlaştırıcı (Evaparator)	30
2.2.9 Genleşme Valfi (Expansion Valf)	32
2.2.10 Üç Fazlı Presostat	33

2.3 Termodinamik Analiz	34
2.3.1 Termodinamik Çevrim Analizi	34
2.3.2 Soğutma Tesir Katsayısının Değerlendirilmesi	40
3. MATERİYAL VE YÖNTEM	44
3.1.Materyal	44
3.2.Yöntem	49
3.2.1 Kaynاتıcı Dizaynı	50
3.2.2 Soğutma Kapasitesinin Hesaplanması	51
3.2.3 Soğutma Yükü	
3.3.Yöntem Sonuçları	57
4. ARAŞTIRMA BULGULARI VE TARTIŞMA	75
5. SONUÇ	78
Kaynaklar	79
Teşekkür	81
EKLER	
EK A Egsoz Gazının Termodinamik Özelliklerinin Hesaplanması	82
EK B Kaynاتıcı Dizaynı ve Hesapları	87
EK C Kaynاتıcı Basınç Düşümü	95
EK D Absorber Dizaynı ve Hesapları	98
EK E Absorbsiyonlu Soğutma Sistemi Tesisat Şeması	103
EK F Tablo ve Diyagramlar	104
Özgeçmiş	117

SİMGELER DİZİNİ

<i>SİMGİ</i>	<i>BİRİM</i>	<i>TANIM</i>
A	m^2	Alan
COP	-	Soğutma tesir katsayısı
c_p	kJ/kgK	Özgül ısl
c_v	kJ/m^3	Net kalorifik değer
d	m	Çap
g	m/s^2	Yerçekimi ivmesi
h	J/kg	Entalpi
k	W/m^2K	Isıl iletkenlik
l	m	Uzunluk
LMTD	K	Logaritmik ortalama sıcaklık farkı
m	kg/s	Debi
M	g/kmole	Mol ağırlığı
P	Pa	Basınç
q	J/kg	Isı transferi birim kütlede
Q	W	Toplam ısı transferi
T	K	Sıcaklık
U	W/m^2K	Toplam ısı transfer katsayısı
W	W	Toplam iş
WZ	-	Dolaşım oranı
X	kg/kg	Konsantrasyon
ρ	kg/m^3	Yoğunluk
μ	Ns/m^2	Dinamik viskozite
η	-	Verim
v	m^2/s	Kinematik viskozite

ALT İNDİSLER

KISALTMA

TANIM

a	Soğutucu akışkan
abs	Absorber
buh	Buharlaştırıcı
exh	Egsoz
f	Kanatçık
f	Fakir eriyik
i	Giriş, giren
kay	Kaynatıcı
o	Çıkış, çıkan
yoğ	Yoğuşturucu
z	Zengin eriyik
ideal	İdeal
c	Carnot

Ş E K İ L L E R D İ Z İ N İ

Şekil No	Konu	Sayfa
1.1	Buhar sıkıştırma ve absorbsiyonlu soğutma sistemlerinin şematik gösterimleri	8
2.1	C.L.Keating dizaynının şematik gösterimi	14
2.2	McNamara dizaynının şematik gösterimi	15
2.3	Ghassemi dizaynının şematik gösterimi	16
2.4	Horuz deneysel çalışmasının şematik gösterimi	17
2.5	Vincent ve arkadaşlarının çalışmalarının şematik gösterimi	18
2.6	Soğutma, ısıtma ve havalandırma ünitelerini içeren otomobil klima ünitesi	20
2.7	Otomobil klimasının soğutma sistemi temel elemanları	22
2.8	Otomobil klima sisteminde soğutucu akışkanın termodinamik yapıları	22
2.9	Elektrik motoru ile çalışan fan sayesinde yoğuşturucunun soğutulması	23
2.10	Otomobil klima sistemlerindeki performans eğrisi	24
2.11	Soğutma kapasite eğrisi	26
2.12	V5 Kompresör kesiti	27
2.13	Nem tutucu filtrenin kesiti	30
2.14	Fan, buharlaştırıcı, ısıtma helezonları ve kanalların tesisat şeması	31
2.15	Termostatik genleşme valfi	32
2.16	Absorbsiyonlu soğutma sisteminin termodinamik analizi	34
2.17	Su buharının basınç - entalpi diyagramı	35
2.18	LiBr eriyiğinin basınç - sıcaklık diyagramı	35
2.19	Kaynatıcı	36
2.20	Yoğuşturucu	38

Şekil No	Konu	Sayfa
2.21	Buharlaştırıcı	38
2.22	Absorber	39
2.23	Absorbsiyonlu soğutma sisteminin Carnot sistemi şeklinde gösterimi	41
3.1	UNO S motor ömür deneyi egsoz gazı sıcaklığı	46
3.2	Özgül hacim - Konum grafiği	58
3.3	Yoğunluk - Konum grafiği	58
3.4	Dinamik viskozite- Konum grafiği	59
3.5	İsıl iletkenlik - Konum grafiği	59
3.6	Kinematik viskozite - Konum grafiğ	60
3.7	Kaynatıcı kapasitesi - Konum grafiği	60
3.8	Yoğunluk - Konum grafiği	61
3.9	Buharlaştırıcı kapasitesi - Konum grafiği	61
3.10	Absorber kapasitesi - Konum grafiği	62
3.11	Soğutma tesir katsayı - Konum grafiği	62
3.12	Soğutucu akışkan debisi - Konum grafiği	63
3.13	Fakir eriyik debisi - Konum grafiği	63
3.14	Zengin eriyik debisi - Konum grafiği	64
3.15	Kaynatıcı kapasitesi - Egsoz gazı sıcaklığı	64
3.16	Kaynatıcı kapasitesi - Soğutucu akışkan debisi	65
3.17	Absorber kapasitesi - Soğutucu akışkan debisi grafiği	65
3.18	Yoğunluk kapasitesi - Soğutucu akışkan debisi grafiği	66
3.19	Buharlaştırıcı kapasitesi - Soğutucu akışkan debisi grafiği	66
3.20	Yakit debisi - Bağıl yakıt sarfiyatı grafiği	67
3.21	Egsoz gazı ideal ısı transfer kapasitesi- Konum grafiği	67
3.22	Hava debisi - Bağıl yakıt sarfiyatı grafiği	68
3.23	Egsoz gazı debisi - Bağıl yakıt sarfiyatı grafiği	68
3.24	Egsoz gazı sıcaklığı - Bağıl yakıt sarfiyatı grafiği	69
3.25	Egsoz gazı ideal ısı transfer kapasitesi - Bağıl yakıt sarfiyatı grafiği	69

Şekil No	Konu	Sayfa
3.26	Motor gücü - Bağlı yakıt sarfiyatı grafiği	70
3.27	Motor verimi - Bağlı yakıt sarfiyatı grafiği	70
3.28	Egsoz gazı verimi - Bağlı yakıt sarfiyatı grafiği	71
B.1	Dairesel boru - dairesel kanat tip ısı eşanjörü, ısı transfer ve sürtünme faktörü	94
C.1	Sürtünme faktörü - Konum grafiği	97
C.2	Basınç düşümü ΔP - Konum grafiği	97
D.1	Sürekli kanatlı borulu ısı eşanjörü, ısı transfer ve sürtünme faktörü	101
D.2	Kanat Verimi	102
E.1	Absorbsiyonlu soğutma sistemi tesisat şeması	103

T A B L O L A R D İ Z İ N İ

Tablo No	Konu	Sayfa
1.1	Absorbsiyonlu soğutma sisteminde kullanılan sıvılarda aranan özellikler ve nedenleri	11
2.1	Akerman absorbsiyonlu ve buhar sıkıştırmalı sistemlerin karşılaştırılması	13
3.1	UNO S motor ömür deneyi kapasite bilgileri	47
3.2	A/F oranı 15 alınarak oluşturulan motor kapasite bilgileri	48
3.3	Egsoz gazının termo-dinamik özelliklerı	49
3.4	Kaynاتıcı ısı transfer kapasiteleri	50
3.5	Konumlara göre akışkan debileri	56
3.6	Konumlara göre kapasite ve soğutma tesir katsayıları	57
B.1	Motor gücü, verimi ve bağıl yakıt sarfiyatı değerleri	91
C.1	Basınç düşümü - Basınç - Konum bilgileri	96
F.1	Su buharının doymuş haller tablosu	104
F.2	Su buharının kızgın buhar tablosu	107
F.3	Lityumbromür - Su eriyiğinin basınç - sıcaklık - konsantrasyon diyagramı	111
F.4	Lityumbromür - Su eriyiği için entalpi - konsantrasyon diyagramı	112
F.5	Atmosfer basıncında gazların termo-fiziksel özelliklerı	113
F.6	Hiperbolik fonksiyonlar	116

1. GİRİŞ

Otomobil klima sistemlerinde, genellikle Buhar Sıkıştırmalı Mekanik Soğutma Sistemi tercih edilir. Bu sistemde, kompresöre iş formunda enerji vermek gereklidir. Küçük sistemlerde kompresöre ana motor tarafından kayış sistemiyle hareket verilmesine rağmen; büyük sistemlerde, kompresör ayrı bir içten yanmalı motor tarafından tahrik edilir.

Bu araştırmanın temel amacı, otomobil klima sistemlerinde, Absorbsiyonlu Soğutma Sisteminin kullanılabilirliğini incelemek ve otomobil üzerindeki mevcut klima tertibatından yararlanarak, mevcut sistemdeki kompresör yerine atık enerjiyi kullanan kaynatıcı - absorber düzeneği kullanarak soğutma sisteminin çalıştırılmasıdır.

Absorbsiyonlu Soğutma Sisteminin en büyük avantajı, atık enerjinin geri kazanımını mümkün kılmasıdır. Buhar Sıkıştırmalı Mekanik Soğutma Sistemindeki mekanik işlem, Absorbsiyonlu Soğutma Sisteminde yerini fiziko-kimyasal işleme bırakmıştır. Sistem mekanik iş yerine ısı formunda enerji ile çalışır.

Absorbsiyonlu Soğutma Sisteminin, diğer sistemlere göre avantajlı kılan temel özellikler mevcuttur. Öncelikle bu sistemin en büyük özelliği; Buhar Sıkıştırmalı Mekanik Soğutma Sisteminde kullanılan kompresöre gereken güçe kıyasla çok küçük miktarda elektrik enerjisine ihtiyaç duyan eriyik pompası ile çalışabilmesidir. Diğer avantajları ise; daha az hareketli parçaya sahip olduğundan daha az gürültü, yüksek güvenilirlik ve uzun süreli dayanıklılıktır.

İçten yanmalı motorlarda verim %30 - %35 ‘dir, yani yakıttan elde edilen enerjinin ancak üçte biri kullanılabilir işe çevrilmektedir. Dolayısıyla üretilen enerjinin %65 - %70’i kullanılmamaktadır. Üretilen enerjinin %28 -%30’u motorun soğutulması, %30 -%32 egzoz gazı, kalan kısmı da radyasyonla çevreye atılır. Sistemdeki sürtünme vb. kayıplar da göz önüne alındığında net verim daha da düşecektir.

Araştırmada otomobildeki mevcut klima sisteminin (kompresör hariç) ekipmanları kullanılcagından Bölüm 2' de klima sistemleri ekipmanları hakkında bilgi verilmiştir. Araştırmada, Tofaş AŞ. AR-GE bölümü tarafından hazırlanan TOFAŞ-FIAT 'in UNO-SX modeli motor ömür deneyi temel alınmış ve LiBr-Su soğutucu akışkan çifti kullanılmıştır.

Araştırmada ayrıca UNO-SX modelinin motor ömür deneyindeki farklı devir ve tork değerlerinde Absorbsiyonlu Soğutma Sisteminin verimi, kaynاتıcı, buharlaştırıcı, yoğunsturucu ve absorber kapasiteleri incelenerek sistemin uygulanabilirliği incelenmiştir.

1. 1 SOĞUTMA VE SOĞUTMA SİSTEMLERİ

Absorbsiyonlu Soğutma Sisteminin, genel soğutma sistemleri sınıflandırılmasındaki yerinin tespiti için Absorbsiyonlu Soğutma Sisteminin esasını teşkil eden Buhar Sıkıştırmalı Mekanik Soğutma Sisteminden kısaca bahsetmek gerekir.

1. 1. 1 SOĞUTMA

Soğutmanın amacı kapalı bir mahalde, çevre sıcaklığının altında sıcaklıklar elde etmek ve bu düşük sıcaklığı sürekli olarak muhafaza etmektir. Soğutma; ortamdağı ısının, ortamdan daha soğuk bir soğutucu akışkan tarafından çekilmesiyle sağlanır.

İsı transferi, sıcaklık farkından dolayı meydana gelir ve bu transfer yüksek sıcaklıktan, düşük sıcaklığa doğru oluşur.

Soğutma Sistemlerinde kullanılan sıvı, soğutucu akışkan olarak adlandırılır. Soğutucu akışkan, düşük basınç ve sıcaklıkta sıvı halden gaz haline geçerken ortamdan ısı çeker ve yüksek sıcaklık ve basınçta yoğunurken de ortama ısı verir. En çok kullanılan soğutucu akışkanlar Su, Hava, Amonyak, R-11, R-12, R-22 ve Karbondioksit dir.

1. 1. 2 SOĞUTMA SİSTEMLERİ

Soğutma sistemi, önceden hesaplanmış ve tanımlanmış basınç aralıklarında soğutucu akışkan debisini kontrol edebilen birbirine bağlı boru sistemi içeren bağımsız ve kapalı bir sistemdir. Debi kontrolü sayesinde düşük basınç da kaynayan soğutucu akışkan ortamdan ısı çeker. Aynı kontrol sayesinde yüksek basınç da yoğunlaşan akışkan ortama ısı verir.

Sistemin temel olarak birbirinden farklı iki pratik uygulaması mevcuttur. Soğuk kaynaktan ısı çeken soğutma, sıcak kaynağa ısı vererek ısıtma pratik uygulamalarıdır.

Isıtma yapan sisteme “ Isı Pompası ” , soğutma yapan sisteme “ Soğutucu yada Soğutma Sistemi ” adı verilir. Kesinlikle göz ardı edilmemelidir ki; bu iki uygulamanın temelde birbirinden farkı yoktur, aralarındaki fark sadece terminolojiktir. Hatta aynı sistemi hem Isı Pompası hem de Soğutucu olarak kullanmak mümkündür.

1. 1. 3 SOĞUTMA SİSTEMLERİ TİPLERİ

Soğutma Sistemleri açık değişim ve kapalı çevrim olmak üzere ikiye ayrılır.

Açık Değişim;

- a-) Eriyik Teşkili
- b-) Basınçlı Gazların Genişletilerek Sıvılaştırılması.
- c-) Suyun Hava İçinde Buharlaşması.

Kapalı Çevrim;

- a-) Buhar Sıkıştırmalı Mekanik Soğutma Sistemi.
- b-) Absorbsiyonlu Soğutma Sistemi.
- c-) Havalı Soğutma Sistemi.
- d-) Buhar Jet Sistemli Soğutma Çevrimi.
- e-) Termo Elektrik Sistemli Soğutma Çevrimi.
- f-) Adsorpsiyonlu Soğutma Sistemi

Özel uygulama alanlarına göre soğutma sistemleri şu şekilde sınıflandırılır.

- a-) Buhar-jet soğutma sistemi.
- b-) Cryogenic soğutma sistemi.
- c-) Termoelektrik soğutma sistemi.
- d-) Kimyasal soğutma sistemi.
- e-) Manyetik soğutma sistemi.
- d-) Vortex-tüp soğutma sistemi.

Çalışmanın temelini teşkil eden Absorbsiyonlu Soğutma Sisteminin incelenmesine geçmeden önce araştırmamıza basamak teşkil eden ve otomobil klima

sisteminde kullanılan Buhar Sıkıştırmalı Mekanik Soğutma Çevrimini kısaca tanıtmak gerekir.

1. 1. 4 BUHAR SIKIŞTIRMALI MEKANİK SOĞUTMA ÇEVİRİMİ

Şekil 1.1.a 'da şematik olarak gösterilen Buhar Sıkıştırmalı Mekanik Soğutma Çevrimi, dört temel elemandan meydana gelir; kompresör, yoğunturcu (kondenser), buharlaştırıcı (evaparator) ve kışılma vanası. Sistemde ısı transferi buharlaştırıcı ve yoğunturcu da meydana gelir ve basınçtaki temel değişim kompresörde ve kışılma vanası tarafından sağlanır.

Şekil 1. 1. a'daki şemanın takip edilmesiyle çevrim daha net anlaşılır. Şekilde yüksek basınçta çalışan kısımlar üste, alçak basınçta çalışan kısımlar alta yerleştirilmiştir. Şekil üzerindeki numaralar, soğutucunun sistem içerisindeki termodynamik hallerine göre, ekipmanların giriş ve çıkışlarına göre belirlenmiştir.

Genellikle kızgın buhar halindeki soğutucu akışkan yoğunturucuya yüksek basınçta girer (1) ve yoğunarak ortama duyulur ve gizli ısı verir. Daha sonra sıvı haldeki soğutucu akışkan yoğunturucuyu terk eder (2) ve kışılma vanasından gerekliliklere uygun şekilde buharlaştırıcıya girer (3). Buharlaştırıcıda düşük basınçta, ortamdan ısı çeken soğutucu akışkan buharlaşır.

Soğutucu akışkan buharlaştırıcıyı kesinlikle buhar halinde terk etmelidir. Doymuş yada kızgın buhar halinde buharlaştırıcıdan çıkan akışkan, sıkıştırılmak ve basıncı yükseltmek üzere kompresöre gelir (4). Basıncı yükselen akışkan yoğunturucuya gelir ve çevrim tamamlanmış olur.

1. 1. 5 ABSORBSİYONLU SOĞUTMA SİSTEMİ

Absorbsiyonlu Soğutma Sistemi, Buhar Sıkıştırmalı Mekanik Soğutma Sistemi ile benzer özellikler içerir. İki sistemde de gerekli olan soğutma, soğutucu akışkanının

buharlaştırıcıda buharlaşması ile sağlanır. Buna rağmen Buhar Sıkıştırmalı Mekanik Soğutma Sistemindeki mekanik işlem ve elektrik enerjisi, Absorbsiyonlu Soğutma Sisteminde yerini fiziko-kimyasal işlem ve ısı enerjisine bırakmıştır. Bu sistemin en büyük avantajı endüstriyel atık ısının yada güneş enerjisinin kullanılmasına imkan sağlamasıdır.

Şekil 1. 1. b 'deki sistemin şematik olarak gösteriminden de anlaşılabilen dört temel kısım mevcuttur. Bu temel kısımlar; kaynacı, buharlaştırıcı, yoğuneturucu ve absorber'dir. Yoğuneturucu ve buharlaştırıcı aynen Buhar Sıkıştırmalı Mekanik Soğutma Sisteminde olduğu gibi çalışır. Yüksek sıcaklık ve basınçdaki soğutucu akışkan yoğuneturucuda yoğunarak ısısını çevreye verir, yoğunan sıvı kısılma vanası ile buharlaştırıcıya gelerek düşük basınç ve sıcaklıkta kaynar ve bu işlem sırasında ortamdan ısı çeker.

Absorbsiyonlu Soğutma Sisteminde bir tek soğutucu akışkan yerine soğurucu/soğutucu akışkan çifti bulunur. Soğurucu akışkanın rolü, buhar halindeki soğutucu akışkanı absorbe etmek (yutmak) tir. Soğurucu ve soğutucu akışkanlar Kısım 1. 1. 6'da inceleneciktir.

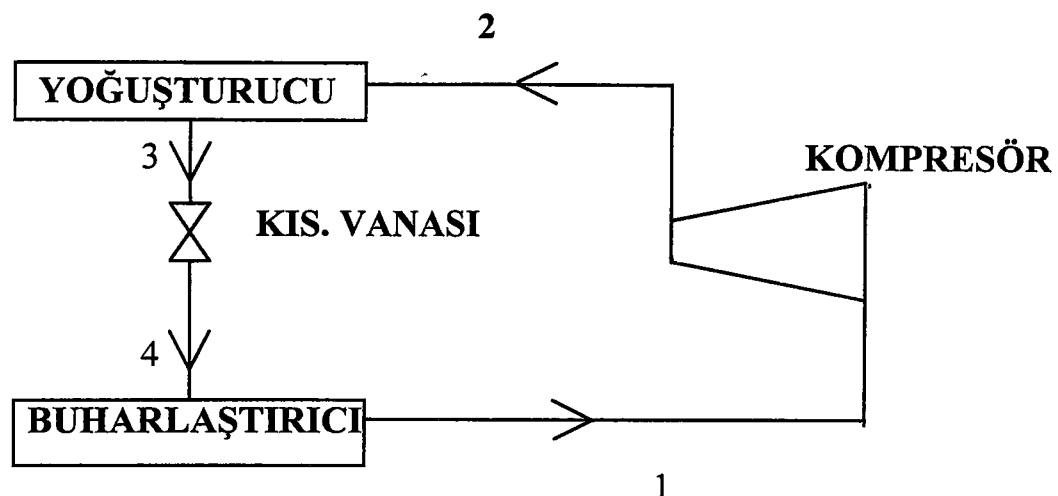
Eriyik pompası, absorber ve kaynacı kombinasyonu, düşük basınçdaki eriyiği, yüksek basınç kısımı transfer ederek, Buhar Sıkıştırmalı Mekanik Soğutma Sistemindeki kompresör'ün işlevini yerine getirir. Absorber, buharlaştırıcıdan düşük basınçda gelen soğutucu akışkanın ve zayıf (fakir) soğurucu/soğutucu eriğinin egzotermik olarak karşıtı yerdır. Absorbsiyonlu Soğutma Sisteminde genellikle, yoğuneturucu ve absorber aynı hava veya su kaynağı tarafından soğutulur.

Şekil 1. 1. b'ye göre sistemin operasyon sırası şöyledir; Yüksek basınçdaki soğutucu akışkan buharı yoğuneturucuya girerek (1) yoğunur ve ortama duyulur ve gizli ısısını verir. Doymuş sıvı veya sıkıştırılmış sıvı halindeki soğutucu akışkan yoğuneturucudan ayrılır (2) ve kısılma vanasından geçer. Kısılma vanası çıkışında ıslak buhar halinde bulunan soğutucu akışkanın basıncı düşüktür ve buharlaştırıcıya girer (3).

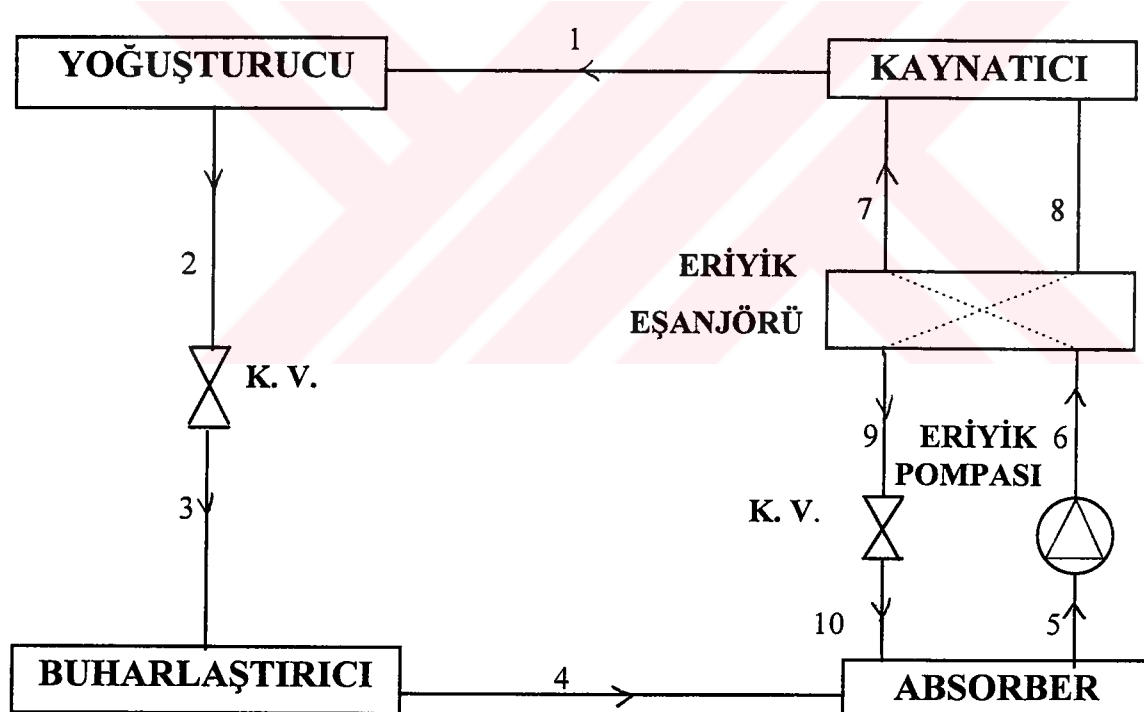
İş enerjisinin emilmesiyle soğutucu akışkan buharlaştırıcıyı doymuş buhar veya kızgın buhar fazında terk eder.

Absorberden çıkararak pompa vasıtıyla kaynaticıya gelen hattan geçen soğurucu/soğutucu eriyiği kuvvetli(zengin) eriyik olarak adlandırılır. Kaynaticıdan çıkararak absorbere gelen hattan geçen eriyik ise zayıf(fakir) eriyik adını alır. Zenginlik ve fakirlik soğutucu akışkanın çokluğu veya azlığı ile orantılıdır. Fakat, LiBr - Su eriyiği kullanan sisteme özel olarak zenginlik ve fakirlik Lityum bromür çokluğu veya azlığıyla orantılıdır.

Absorberde, buharlaştırıcıdan gelen soğutucu buharı ve fakir eriyik ile buluşur. Soğutucu buharı eriyik tarafından absorbe edilerek dışarıya ısı atılır ve tüm buhar absorbe edildiğinde zengin eriyik oluşur. Dışarıya atılan soğutucu akışkan buharını yoğunlaşma gizli ısısı, soğurucu/soğutucu akışkan dengesiyle bağlantılıdır.



(a) : Buhar sıkıştırmalı mekanik soğutma çevrimi



(b) : Absorbsiyonlu soğutma sistemi

ŞEKİL 1.1 Buhar sıkıştırmalı ve absorbsiyonlu soğutma sistemlerinin şematik gösterimleri

Düşük basınçtaki eriyik, absorberden eriyik pompası sayesinde çekilerek basıncı yükseltilir(5). Sirkülasyon pompası ve kaynacı arasında, eriyik eşanjörü bulunur. Absorberden gelen soğuk zengin eriyik (6) ile, kaynacından gelen sıcak fakir eriyik (8) eşanjörün girişleridir. Eriyik eşanjöründe zengin eriyik, fakir eriyiğin ısısını alır.

Kaynacı girişindeki zengin eriyik (7) genellikle yüksek basınçta, kaynama sıcaklığının altındadır. Bundan dolayı gaz alevi yada bir diğer sıcak kaynak kullanılarak eriyik sıcaklığı kaynama sıcaklığına yükseltilir. Kaynama gerçekleştiğinde soğutucu akışkan buharı yoğunlukcuya geçer ve kaynacıkta soğutucu akışkan bakımından fakir eriyik oluşur. Yüksek sıcaklıktaki fakir eriyik kaynacıkı, absorbere gitmek üzere terk eder (8). Kaynacıkta ısı çekilen kaynak genellikle düşük basınçta buhar yada sıcak su olabildiği gibi, küçük sistemlerde doğal gaz, propan yada kerosenin yakıt olarak kullanılmasıyla elde edilen ısı kullanılabilir. Ayrıca kaynacı çevresine yerleştirilmiş elektrik resistanslı ısıticıda kullanmak mümkündür. Eriyik eşanjöründen geçen yüksek basınçtaki fakir eriyik kısılma vanasından geçer ve absorbere ulaşarak (10) çevrimini tamamlar.

Absorbsiyonlu Soğutma Sisteminde, eriyik pompasını tahrik etmek için elektrik enerjisine ihtiyaç duyulmasına rağmen, bu enerji Buhar Sıkıştırmalı Mekanik Soğutma Sisteminde, kompresöre verilen enerjiye kıyasla hayli küçüktür. Absorbsiyonlu sistemlerde, sıvı haldeki eriyik düşük basınçtan, yüksek basınçta pompalanır. Bu esnada eriyiğin özgül hacmi düşük olduğundan, eriyik pompasının yüksek güçte olmasına gerek yoktur.

Sisteme, yüksek sıcaklıkta kaynacından, düşük sıcaklıkta buharlaştırıcıdan alınan ısı, aynı sıcaklık aralıklarında absorber ve yoğunlukcuya tarafından ortama transfer edilir. Pek çok absorbsiyonlu sisteme buharlaştırıcı tarafından çekilen ısı miktarı ile yoğunlukcuya tarafından atılan ısı miktarı birbirine denktir. Bu durumda sisteme atılan ısı dengesi göz önüne alındığında kaynacı tarafından çekilen ve absorber tarafından atılan ısı miktarının da aynı olduğu görülür. Absorber ve yoğunlukcuya genellikle aynı ısı kaynağı tarafından soğutulduğu için çıkış sıcaklıklarını birbirine yakındır.

1.1.6 SOĞURUCU / SOĞUTUCU AKIŞKAN KOMBİNASYONU

Absorbsiyonlu Soğutma Sistemlerinde, buhar halindeki soğutucu akışkanı soğuracak (emecek) ikinci bir akışkan kullanılır. Soğurucu sıvı olabileceği gibi, katı yada karışım halde de kullanılabilir. Her çeşit soğurucu/soğutucu kombinasyonunun kendine özgü avantaj ve dezavantajları vardır. Sıvı soğurucunun ısı ve kütle transfer karakteristikleri diğerlerine göre iyi olmasına rağmen uçuculuk düzeyi yüksektir. Bu durumda kaynatıcıdan ayrılan soğutucu akışkan buharı içerisinde soğurucu akışkan buharında içerir. Soğutucu akışkan buharını, soğurucu akışkan buharından temizlemek için ilave bir sistem, ekipman ve dolayısıyle ek bir enerji kaybına gereksinim vardır. Diğer taraftan katı soğurucunun uçuculuk düzeyi düşük olduğundan ek bir sisteme ihtiyaç yoktur. Katı soğurucular genellikle sürekli olmayan sistemlerde tercih edilir. Katı soğurucunun uçuculuk problemi olmamasına rağmen, genelde katı tuz kullanıldığında belli şartlarda- kristalleşme oluşur ve sistem tıkanabilir.

Bir çok soğurucu/soğutucu kombinasyonu deneyler sonucunda saptanmıştır. Bu deneylerde baz alınan özellikler; maddenin çözünebilirliği, uçuculuk düzeyi ve kimyasal dengesidir. Ayrıca seçilen kombinasyonun basıç-sıcaklık ilişkisi, gizli ısısı, özgül ağırlığı, donma noktası, pas yapma özelliği ve güvenliliğinin kullanılabilirlik düzeyinde olması gereklidir.

Pratikte, Absorbsiyonlu Soğutma Sisteminin, soğutma tesir katsayısı (STK); soğurucu/soğutucu akışkan çiftinin kimyasal, termo-fiziksel ve termodinamik özelliklerine bağlıdır.

Tablo 1. 1'de Absorbsiyonlu Soğutma Sisteminde kullanılan akışkanlarda aranan özellikler ve nedenleri özetlenmiştir.

TABLO 1.1 Absorbsiyonlu soğutma sisteminde kullanılan eriyiklerde aranan özellikler ve nedenleri

AKIŞKAN	ARANAN ÖZELLİKLER	SEBEP
- Soğutucu	<ul style="list-style-type: none"> - Yüksek gizli ısı - Yoğunlaşma sıcaklığında uygun basınç - Yüksek kritik nokta - Düşük sıvı özgül ısısı - Buhar özgül ısısının sıvı özgül - Düşük buhar özgül hacmi 	<ul style="list-style-type: none"> - Akış debisini düşürmek - Kaynaticı ve yoğunlaştırucuya oluşan dayanımı azaltmak. - Yoğunlaşma sic. sınırlamak - Ön soğutucunun etkisini düşürmek. - Ön soğutucu etkinliği ısısına eşitliği - Buhar akışının kolaylaşması
- Soğurucu	<ul style="list-style-type: none"> - İhmal edilebilir buhar basıncı - Soğutucu akışkanı kolay absorbe etmesi 	<ul style="list-style-type: none"> - Ek bir sisteme gerek duyulmaması. (soğurucu akışkan soğutucu buharından ayrılmak için) - Sistemin temel özelliği
- Eriyik	<ul style="list-style-type: none"> - Düşük özgül ısı - Düşük özgül hacim 	<ul style="list-style-type: none"> - Eriyik ısı eşanjörünün görevini azaltmak. - Sirkülasyon pompasının işini azaltmak.
- Tüm Sıvılar	<ul style="list-style-type: none"> - Yüksek ısı iletimi - Düşük viskosite - Düşük yüzey gerilimi - Düşük toksitlenme özelliği - Kimyasal denge 	<ul style="list-style-type: none"> - Isı transferini artırmak - Basınç kayiplarını azaltmak - Soğurucu akışkan işlevini geliştirmek - Güvenlik - Sistem ömrünü artırma

2. KAYNAK ARAŞTIRMASI VE KURAMSAL BİLGİLER

2. 1 KONU İLE İLGİLİ ÖNCEKİ ÇALIŞMALAR

İlk defa Michael Faraday tarafından, amonyağı yoğunleştirme denemeleri esnasında keşfedilen absorbsiyon prensibi, daha sonraki yıllarda geliştirilerek ilk kez 1859 yılında Ferdinand Carre tarafından Absorbsiyonlu Soğutma Sistemine dönüştürülmüştür.

Absorbsiyonlu Soğutma Sistemlerinde kullanılan ikili karışımlar üzerine detaylı bir araştırma 1913 yılında Edmund Altenkirch tarafından yapılmış, 1979 yılında Lowell A. Mcneely, LiBr-su akışkan çiftinin fiziksel ve termodinamik özelliklerini tablo ve diyagramlar halinde yayımlamıştır.

1954 yılında Keating, absorbsiyonlu soğutma sisteminin araçlara uygulanabilirliği keşfetmiş ve patentini almıştır. Keating'in çalışması, içten yanmalı motorlar kullanan taşıtlar, gemiler ve trenlerin atık egsoz gazı sıcaklığını kullanarak çalışan soğutma sistemi dizaynidır.

C. L. Keating'in buluşu sayesinde, içten yanmalı bir motor yada elektrik sistemi kullanmaksızın yalnızca aracın egsoz gazı sıcaklığından yararlanarak soğutma uygulamasının yapılabılırliği ispatlanmıştır. Şekil 2. 1'de Keating tarafından dizayn edilen absorbsiyonlu soğutma sistemi görülmektedir. Keating bu sistemde pek çok farklı çeşit soğutucu/soğurucu akışkan kombinasyonunun kullanılabileceğini ispatlamıştır. Keating çalışmasında soğurucu olarak gümüş-klörür, soğutucu olarak amonyak kullanmıştır. Ayrıca Keating sisteminin her türlü taşıyıcı yada araca monte edilebileceğini belirtmiş ve sistemin verimliliğini araştırmuştur.

1971 yılında J. R. Akerman, otomobil klima sistemine, absorbsiyonlu soğutma sisteminin uygulanabilirliğini incelemiştir. J. R. Akerman ısı kaynağı olarak motor soğutma suyu sıcaklığını kullanmıştır. Akermanın çalışması, absorbsiyonlu soğutma

sisteminin temel prensipleri ve sistemin otomobil klima sistemine adaptasyonu üzerine idi.

Akerman iki farklı absorbсион sisteminde, farklı soğurucu/soğutucu akışkan çifti kullanmış ve sistemleri birbiri ile karşılaştırmıştır. Akışkan çiftleri olarak amonyaksu ve R22-dimetil eter tetra etilen glikol kullanmıştır. Ayrıca bu iki sistemi R-12 kullanan buhar sıkıştırmalı klasik bir soğutma sistemi ile de kıyaslamıştır.

Akermanın bulguları Tablo 2. 1'de görülebilir. Bu tabloda üç sistemin performansları da karşılaştırılmıştır.

Akerman sistemindeki, kaynatıcı ısı transfer yüzeyini artırmak için ilave parçalara ihtiyaç duymuş ve bu sebepten kendi sisteminin otomobil klima sisteminde kullanılamayacağı sonucuna varmıştır.

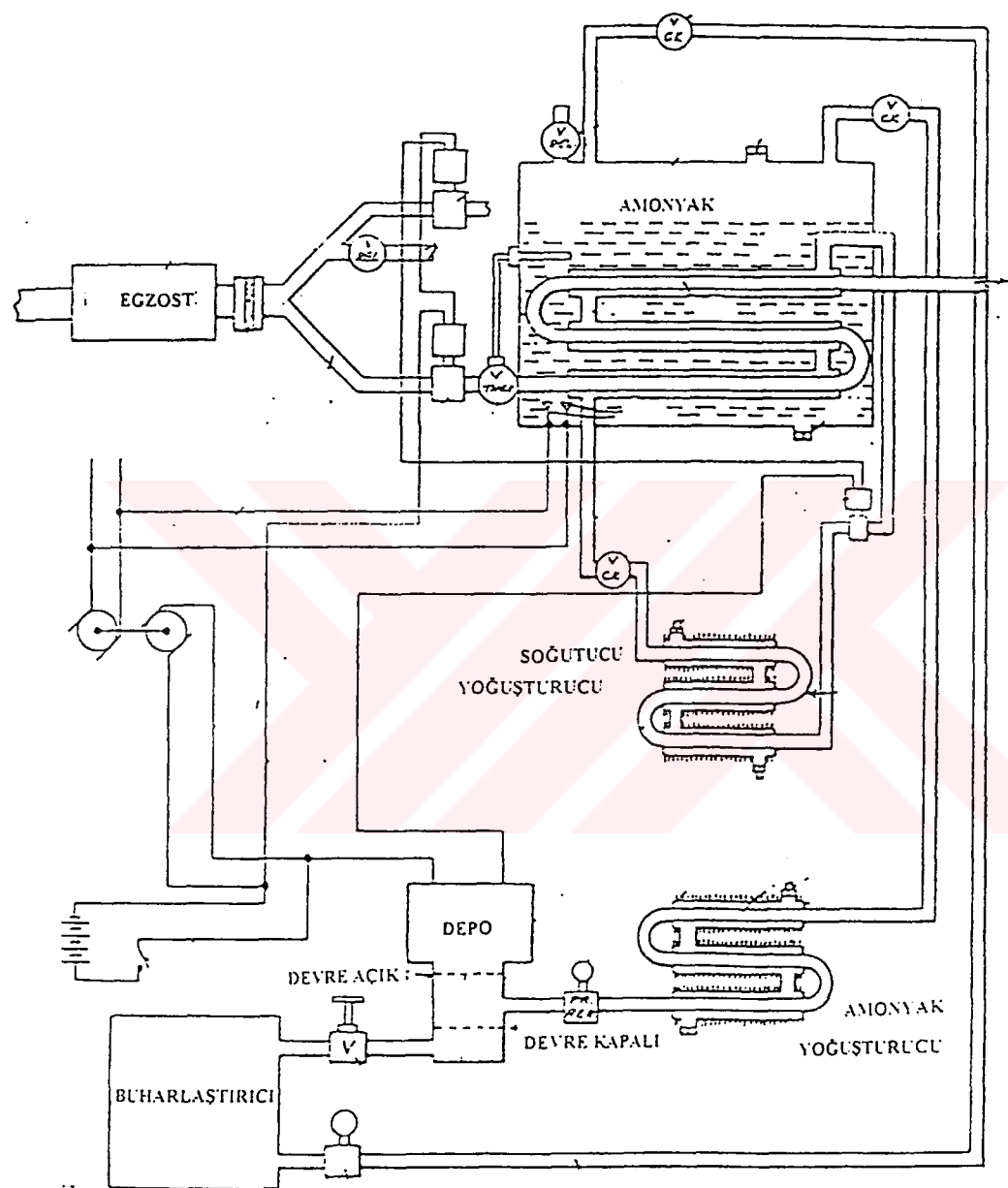
TABLO 2. 1 Akerman absorbсионlu buhar sıkıştırmalı sistemlerin karşılaştırılması.

(Kaynak : Akerman J.R. - Automobile Air Conditionning System With Absorbsion Refrigeration)

	<i>SİSTEM 1</i>	<i>SİSTEM 2</i>	<i>SİSTEM 3</i>
Sistem tipi	Absorbсионlu	Absorbсионlu	Buhar Sıkıştırmalı
Soğutucu Akışkan	Amonyak	R - 22	R - 12
Soğurucu Akışkan	Su	DME-TEG	Yok
Sisteme giren enerji			
Kaynatıcı W	14.653	13.187	Yok
Kompresör * W	Yok	Yok	1.758 -3.517
Sistemden atılan enerji			
Düzenleyici W	6.447	Yok	Yok
Yoğunstırıcı * W	4.103	5.861	5.275 - 7.033
Absorber W	7.619	12.601	Yok
Toplam * W	18.169	18.462	5.275 - 7.033
COP	0.23	0.26	2 : 1
Buharlaştırıcı sic. °C	1.7	1.7	4.4
Buharlaştırıcı bas. kPa	4.55	5.24	2.76
Yoğunlaşma sıcaklığı °C	50.5	50.5	60.5
Yoğunlaşma basıncı kPa	13.8	19.6	15.4
Kaynatıcı sıcaklığı °C	148.9	148.9	Yok

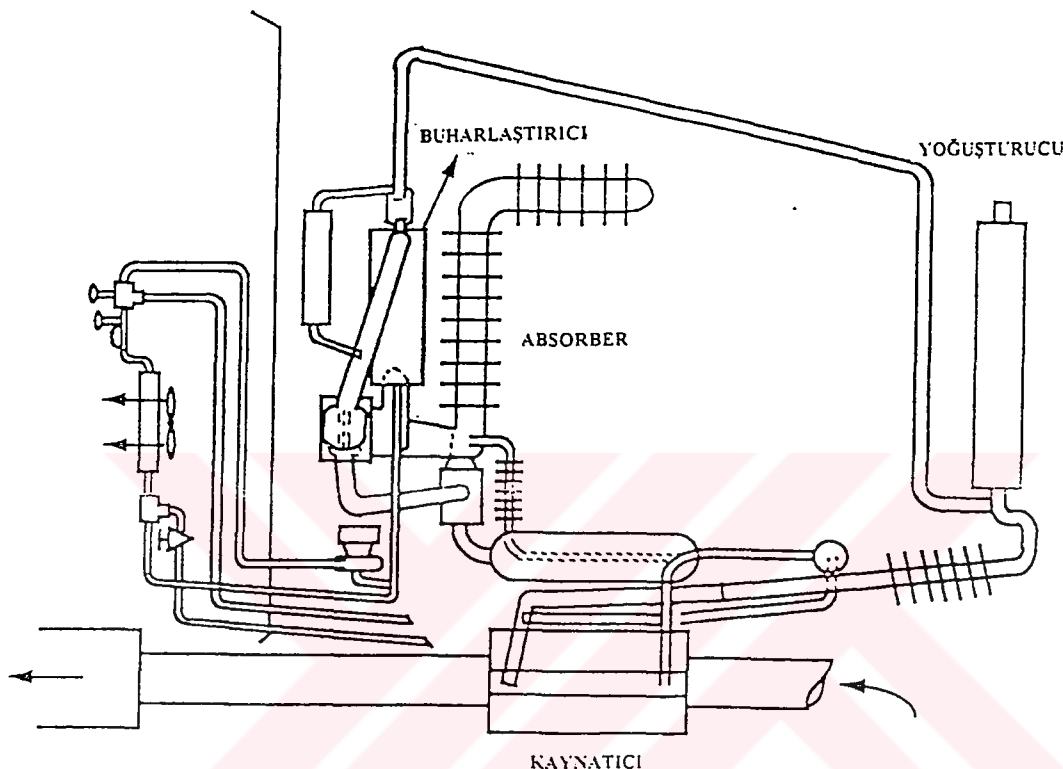
Tablodaki enerji değerleri W birimindedir

* değerler motor devrime göre alınan minimum ve maksimum değerlerdir.



ŞEKİL 2. 1 C. L. Keating dizaynının şematik gösterimi
 (Kaynak : Keating C.L. - Absorption Refrigeration System For Mobile Applications)

1972 yılında McNamara, otomobil egzoz gaz sıcaklığını kullanarak Absorbsiyonlu Soğutma Sistemi dizaynı yapmış ve patentini almıştır. McNamara'nın dizaynında kaynاتıcı, direkt olarak egzoz borusunun etrafına monte edilmiştir. Bu şekilde egzoz sisteminin verimini etkilememiştir. McNamara'nın dizaynı Şekil 2. 2'de görülmektedir.



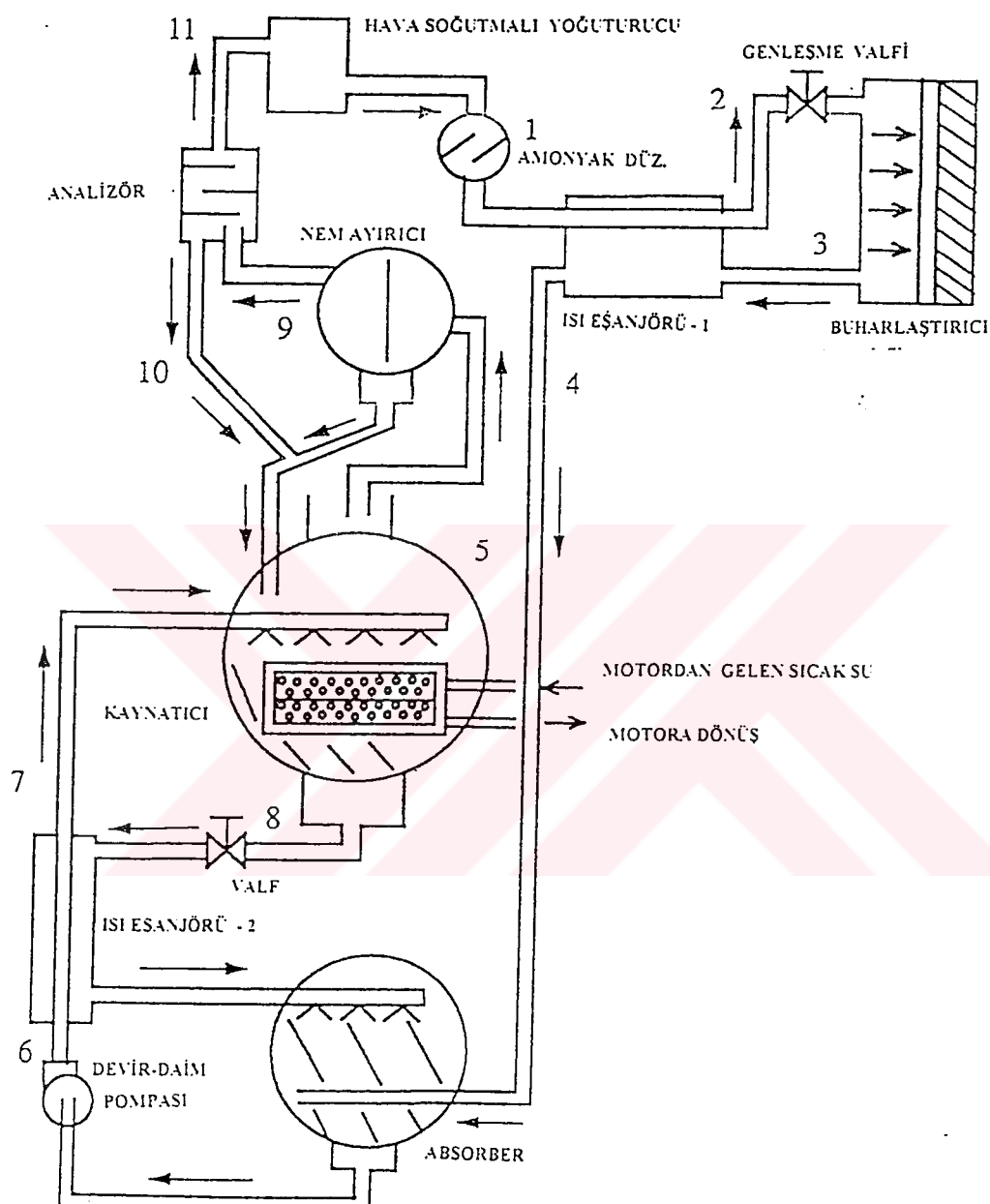
ŞEKİL 2. 2 McNamara dizaynının şematik gösterimi

(Kaynak : McNamara T.J. - Absorption Refrigeration And Air Contionig System)

McNamara bu çalışmada, basit, düşük maliyetli ve kolaylıkla monte edilebilen ayrıca aracın atık ısısını kullanan, aynı zamanda sistemin performansını etkilemeyen bir tesisat üzerinde durmuştur. Fakat kaynaticı ısı transfer yüzeyinin küçük olmasından yeterli ısı transferini sağlayamamıştır.

1987 yılında Ghassemi, teorik olarak Absorbsiyonlu Soğutma Sisteminin araçlara uygulanmasını incelemiştir. Ghassemi araç radyatöründen çevreye atılan ısısını kullanarak amonyak-su ile çalışan sistem üzerinde durmuştur. Radyatörden atılan enerji, araç motorundan elde edilen enerjinin yaklaşık 1/3'ü kadardır ve su sıcaklığı 80° C ulaşmaktadır.

Ghassemi'nin dizaynı Şekil 2. 3'de görülmektedir.



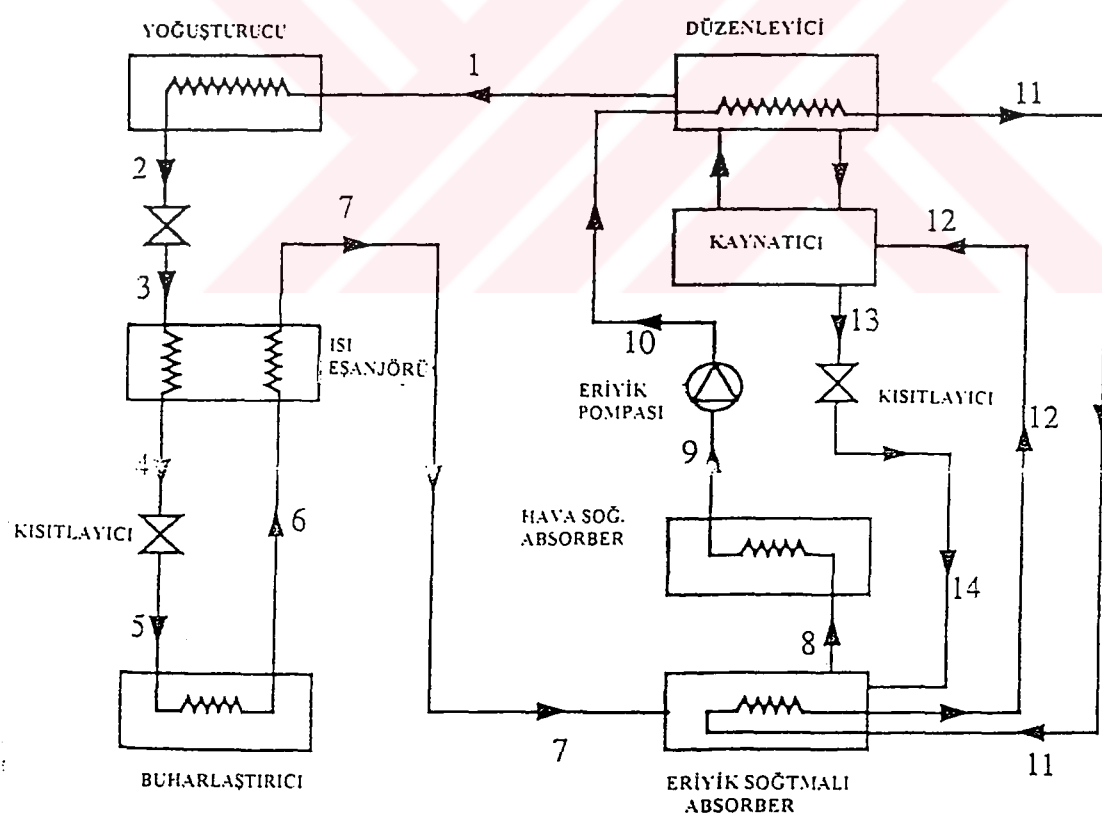
ŞEKİL 2. 3 Ghassemi dizaynının şematik gösterimi

(Kaynak : Ghassemi B. - Teoritical Study Of Absorption Refrigeration For Vehicle Application)

Ghassemi'nin dizaynında, motordan gelen sıcak su devir daim pompası vasıtası ile kaynatıcı içersinde yalıtılan ısı eşanjörüne gelerek amonyağı buharlaştırır. Çalışmada $422 \times 233 \times 247$ cm boyutlarındaki kamyon kabininin soğutulması üzerinde çalışılmıştır. Sistemde üç yollu termostatik vana kullanılarak kabin sıcaklığı kontrol altına alınmıştır. Sistemdeki eriyik pompasının gücü ise yalnızca 0,2 kW olarak hesaplanmıştır.

Sonuçta Ghassemi araç kabinlerinin daha düşük yatırım ile soğutulabileceğini ispatlamıştır.

1994 yılında İ. Horuz frigorifik nakliye araçlarında Absorbsiyonlu Soğutma Sistemi kullanımı üzerine deneyel bir çalışma yapmıştır. Horuz çalışmasında ısı kaynağı olarak egzos gazı sıcaklığını kullanarak mevcut, içten yanmalı motor tarafından sürülen buhar sıkıştırmalı, sisteme alternatif yaratmıştır.



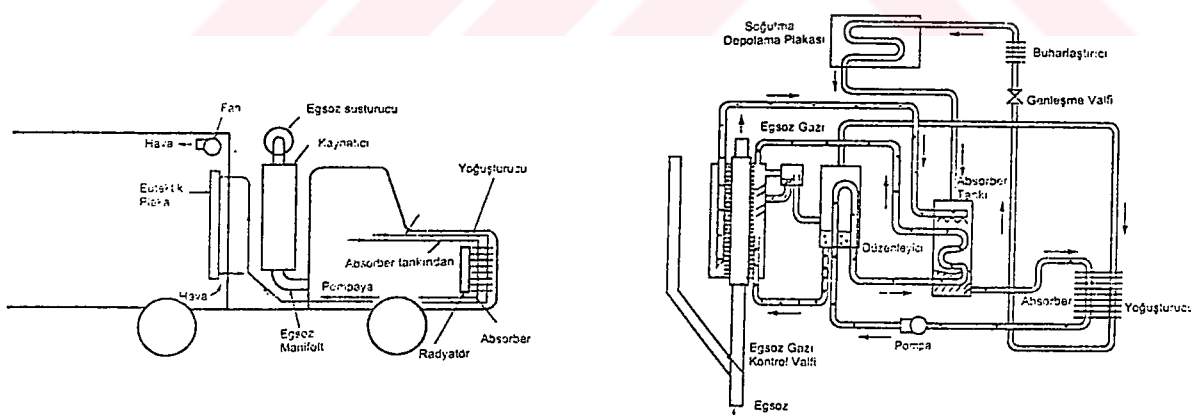
ŞEKİL 2. 4 İ. Horuz deneyel çalışmasının şematik gösterimi
(Kaynak : Horuz İ. - An Experimental Study Of The Use Of Vapour Absorption Refrigeration In Road Transport Vehicles)

İ. Horuz oluşturduğu düzenekte belli noktalardaki sıcaklık ve basınç değerlerini ölçerek sistemin performansını incelemiştir. İncelemeleri sonucunda Absorbsiyonlu Soğutma Sistemi ile içten yanmalı motor tarafından sürülen buhar sıkıştırma sistemin performanslarının aynı olduğunu ispatlamıştır.

İ. Horuz kendi sisteminin maliyet ve bakım masraflarını da mevcut sistemle kıyaslayıp, Absorbsiyonlu Soğutma Sisteminin nakliye araçlarında kullanabilirliğini her yönden incelemiştir. Bakınız Şekil 2. 4

İlk kez Vincent ve arkadaşları, amonyaklı sistem kullanarak, egsoz gazı sıcaklığı ile çalışan Absorbsiyonlu Soğutma Sisteminin otomobil ve kamyonlar üzerinde uygulanması hakkında deneysel çalışma yapmışlar ve sonuçta otomobillerde gerekli soğutma yüküne ulaşılamayacağı, yer ve ağırlık problemleri doğacağı, kamyonlarda ise bu problemlerin oluşmayacağı sonucuna ulaşmışlardır.

Vincent ve arkadaşlarının yaptığı deneysel çalışmanın tesisat şeması ve araç üzeri yerleşim planı Şekil 2. 5'de sunulmuştur.



ŞEKİL 2. 5 Vincent ve arkadaşlarının çalışmalarının şematik gösterimi

(Kaynak : Horuz İ. - An Experimental Study Of The Use Of Vapour Absorption Refrigeration In Road Transport Vehicles)

2.2 OTOMOBİL KLİMA SİSTEMLERİ

Otomobil klimaları birbirinden farklı olmayan temel çalışma prensipleri içermelerine rağmen, pratikte pek çok değişik uygulamaları mevcuttur. Hareket halindeki otomobilin iklimlendirilmesinde karşılaşılan problemlerin hiçbir, soğutma yada iklimlendirme sistemleri tesisatlarından kaynaklanmamaktadır.

Otomobil klimaları, ısıtma, soğutma ve nem alma ünitelerini içerir. Yolcu kabininde ısıtma ihtiyacı olduğunda; genellikle bu ısı, ısıtma kanalları kullanılarak motordan sağlanır. Soğutma arzu edildiğinde ise, soğutma sistemi devreye girer. Sistemin özelliğinden dolayı buharlaştırıcıdan elde edilen soğuk hava yolcu kabinine gönderilir.

Ayrıca otomobil klimalarında sıcaklık, basınç ve vakum değerlerini referans alan otomatik kontrol sistemleri kullanılır. Yolcu kabinine gönderilen hava, motor soğutma suyu debisi ve soğutucu akışkan debisi bu sistemler sayesinde kontrol edilir. Kamyon, taksi, traktör vb pek çok aracın yolcu kabinleri aynı sistem ve kontrol mekanizmasıyla iklimlendirilmektedir.

2.2.1 OTOMOBİL KLİMASI KULLANIMI

Otomobillerde klima kullanımı hızla artmaktadır. Otomobil kabinleri oldukça küçük bir alan kaplamalarına rağmen, sıcak bir yaz günü araç seyir halindeyken kabin sıcaklığını belli bir konfor seviyesinde tutmak için gerekli olan soğutma kapasitesi hayli büyktür. Aynı biçimde, soğuk bir kış günü araç seyir halindeyken kabini ılık tutmak için de hatırlı sayılır miktarda ısıtma kapasitesine ihtiyaç vardır.

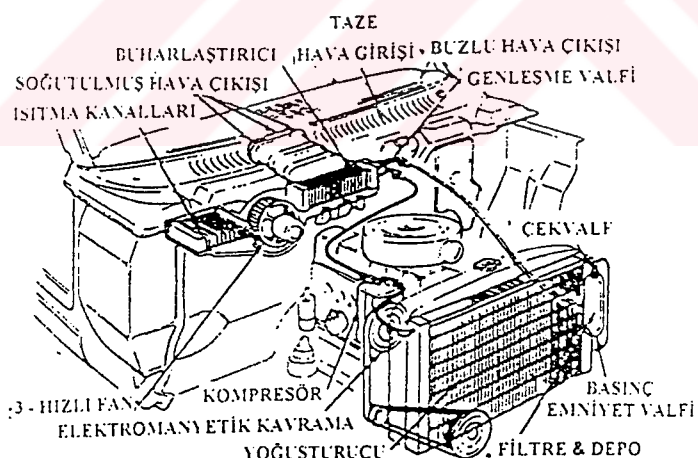
Otomobil kliması üreticileri; arzu edilen soğutma miktarını, otomobil motoru tarafından tahrik edilen soğutma sistemleri kullanarak elde etmektedirler. Coğunluklada motor soğutma suyu ısıtma amaçlı kullanılmaktadır.

Klima sistemlerinin kontrol mekanizması, araç iç sıcaklığının kontrolü ve istenilen sıcaklığın seçimini mümkün kılacak şekilde düzenlenmiştir.

Yaz aylarında klimanın çalışmasıyla araç içi nem oranı da azalır. Ayrıca buharlaştırıcı yüzeyinde oluşan nem, havadaki toz ve polenleri toplar. Buharlaştırıcı tarafından toplanan partiküler yoğunluktu tarafından taşınarak aracın altına atılır. Bu yolla yaz aylarında klimalar, kullanıcıya mümkün olduğu kadar temiz hava sunarken, sıcaklığı da kontrol ederler. Kış aylarında ise bu tip bir filtre sistemi kullanılmaz.

2. 2. 2 OTOMOBİL KLİMASI ÇALIŞMA PRENSİBLERİ

Şekil 2.6'da otomobil klima ünitesi görülmektedir. Bu tesisatta kompresör, motor üzerine monte edilmiş ve kayış-kasnak sistemiyle tahrik edilmektedir. Yoğunluktu ise, araç radyatörünün önüne yerleştirilmiştir.



ŞEKİL 2. 6 Soğutma, ısıtma ve havalandırma üniteleri içeren otomobil klima ünitesi (American Motors Corp.)

(Kaynak : ASHRE Equipment Handbook - 1994)

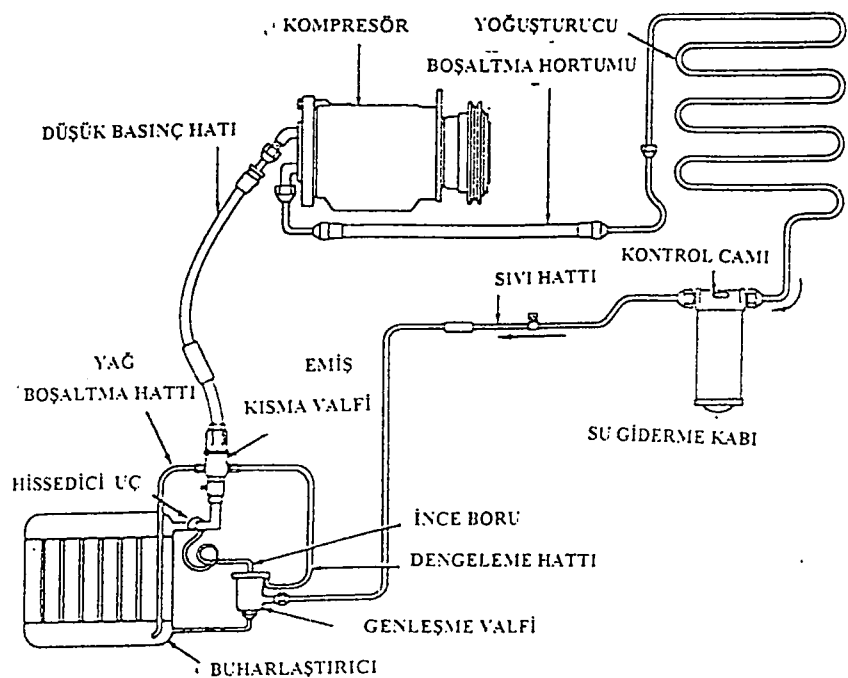
Operasyon esnasında, soğutucu akışkan, yoğunşturucudan nem tutucu filtre ve kışılma vanasına gelerek basıncı düşürülür ve filtre edilir. Soğutucu akışkan sıcaklık kontrolünün yaptığı buharlaştırıcıya doğru ilerler ve burada buharlaşarak, ısı çeker. Buharlaşan soğutucu akışkan emiş hatlarından kompresöre gelerek basıncı yükseltilir.

Bu esnada blower (fan) vasıtıyla hava, aracın içinden buharlaştırıcıya doğru çekilir. Üretilen soğuk havanın (araç içindeki), kanallar ve panel sonlarındaki ızgaralar sayesinde araç içersindeki sirkülasyonu sağlanır. Otomobil kliması soğutma sistemi temel elemanları Şekil 2. 7'de gösterilmiştir.

Düşük basıncındaki soğutucu akışkan buharı, emiş servis vanasından geçerek kompresöre gelir. Buhar kompresör silindirlerine gelerek, piston sayesinde sıkıştırılır. Tahliye servis vanası yardımıyla, tahliye edilen buhar yoğunşturucuya gelir. Sıkışmadan dolayı oluşan ısıyı ve buharlaşma gizli ısısını emen soğutucu akışkan, yoğunşturucudan geçerken bu ısıyı havaya ileter. Soğutucu akışkan artık sıvı halde dir ve kışılma vanasına gelerek çevrimi tamamlar. Şekil 2. 8'de soğutma devresindeki, soğutucu akışkanın bulunduğu termodinamik yapılar görülmektedir.

Eğer klima sürekli çalışırsa, araç içindeki sıcaklık yolculara rahatsızlık verecek düzeye düşer ve buharlaştırıcı yüzeyi buz tutar. Bu durumu ortadan kaldırmak için, pek çok sistemde manyetik kavrama mekanizması kullanılır. Kompresör üzerine yerleştirilen elektromanyetik kavrama, termostat tarafından açılan elektrik devresi vasıtıyla çalışır. Bu sistem sayesinde soğutma istenmediği durumlarda; kompresör kasnağı dönerken, kompresör krank mili sabit kalır.

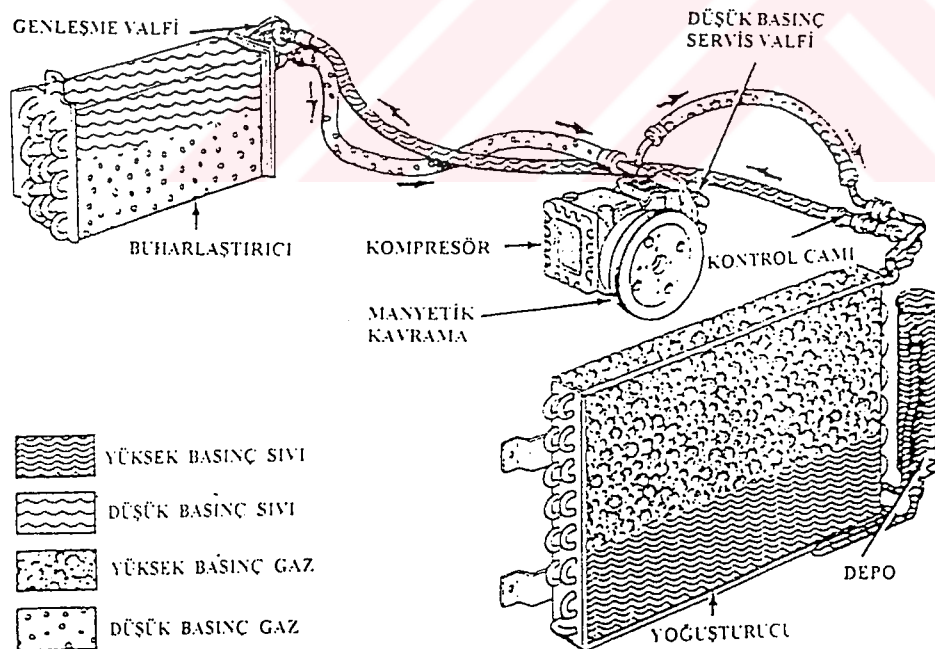
Klima sistemi çalıştırılmadığı zaman (kış aylarında) soğutma mekanizması da çalışmaz. Dolayısıyla elektromanyetik kavramaya enerji gelmez. Sıcak su ısıtma kanallarında sirkülasyon yaparken, soğutmada kullanılan fan ve kanal sistemi çoğu zaman ısıtmada da kullanılır. Bazı hava-soğutma motorlu otomobillerde, yoğunşturucuya hava akışı sağlamak için elektrik motoru ile çalışan fan kullanılır Şekil 2. 9.



ŞEKİL 2. 7 Otomobil kliması soğutma sistemi temel elemanları

(General Motors Comp.)

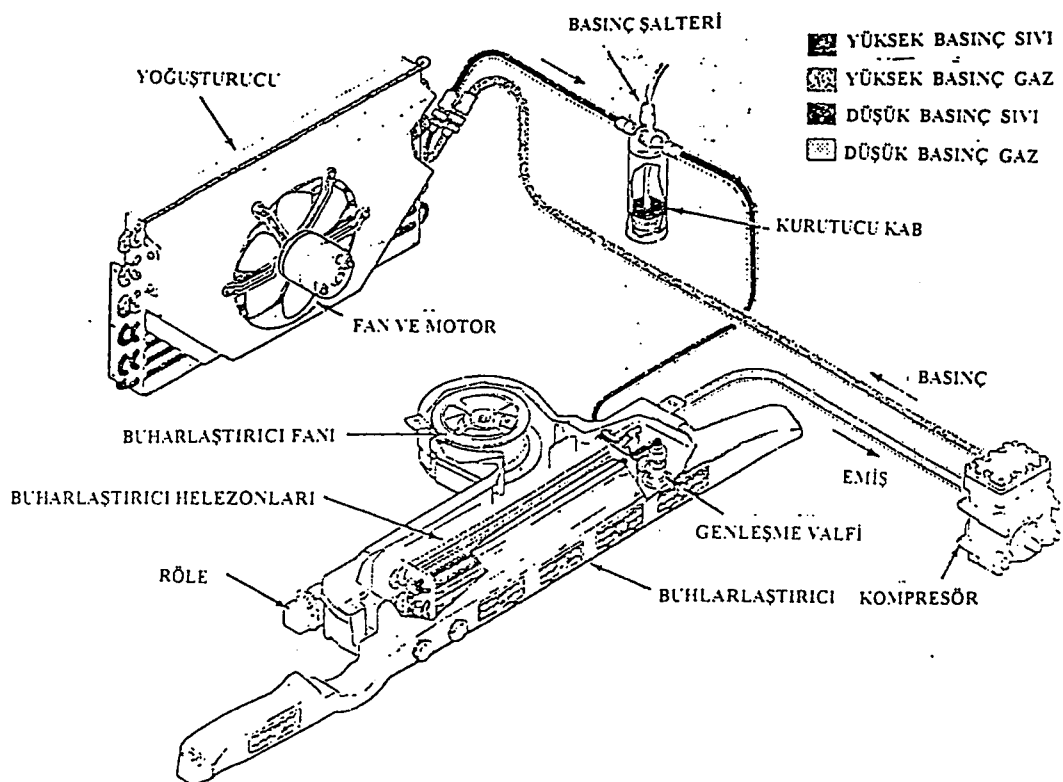
(Kaynak : ASHRE Equipment Handbook - 1994)



ŞEKİL 2. 8 Otomobil klima sisteminde soğutucu akışkanın termodinamik

yapıları (Ford Motor Comp.)

(Kaynak : ASHRE Equipment Handbook - 1994)



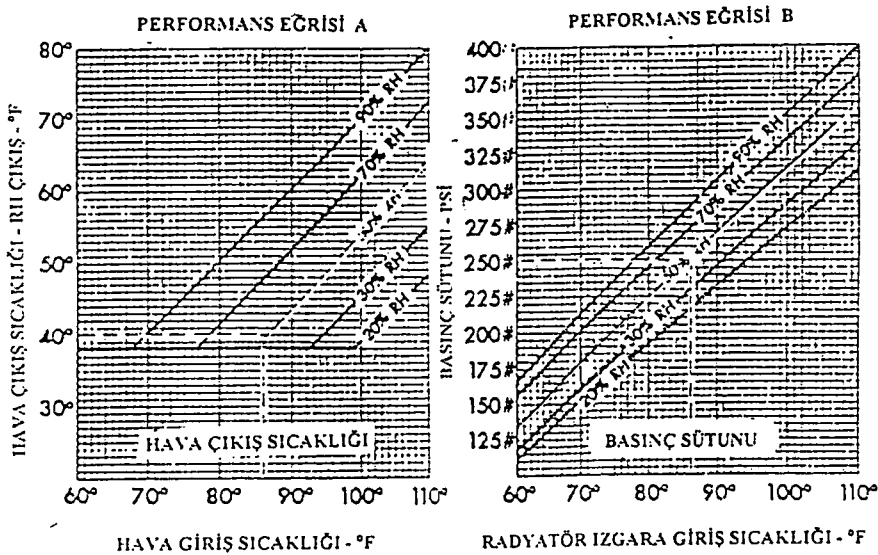
ŞEKİL 2. 9 Elektrik motoru ile çalışan fan sayesinde yoğuneturucunun soğutulması (Volkswagen Pro. Co.)

(Kaynak : ASHRE Equipment Handbook - 1994)

2. 2. 3 OTOMOBİL KLİMASI ÇALIŞMA KOŞULLARI

Otomobil klima üreticileri; soğuk, yumuşak ve sıcak havalarda araç içerisindeki havanın, kontrol ve konfor sınırları içerisinde olmasını sağlamalıdır. Daha basit bir ifade ile ısıtma, soğutma ve nemlendirme yaparken aynı zamanda ortam içerisindeki toz, duman ve kokuyu uzaklaştırılan sistemleri kullanmalıdır.

Kompresör motor tarafından kayışlar vasıtasıyla çalıştırıldıktan, kompresörün devri motorun devrine göre değişmektedir. Dolayısıyla soğutma sisteminin; sıcak, güneşli ve rüzgarlı bir günde motor relantide çalışıyorken yeterli miktarda soğutma kapasitesi sağlama gerekmektedir. Bu ayar sayesinde özellikle sıcak günlerde, normal seyir esnasında soğutma kapasitesinde artış sağlanır. Şekil 2. 10'da otomobil klima sistemlerindeki performans eğrisi görülebilir.



ŞEKİL 2.10 Otomobil klima sistemlerindeki performans eğrisi

(Kaynak : ASHRE Equipment Handbook - 1994)

Dış hava şartlarındaki değişimlerde; sistemdeki soğutucu akışkanın sıcaklığı ve debisinin kontrolünde sorunlar yaşanabilir. Eğer soğutma ihtiyacı olmadığı halde kompresör çalışmaya devam ederse alçak basınç (kompresör giriş basıncı) daha da düşebilir.

Alçak basıncın düşmesi, buharlaştırıcı sıcaklığının da düşmesine sebep olur. Buharlaştırıcı yüzey sıcaklığının 5°C den aşağıya düşmesine izin verilmemelidir. Eğer buharlaştırıcı 0°C veya daha alt sıcaklık seviyelerinde çalışırsa, yüzeyde karlanma olabileceği gibi tamamıyla buzlanma görülebilir. Bu durumda da buharlaştırıcı yüzeyindeki hava sirkülasyonu engellenmiş olur.

Ayrıca sistemin düşük alçak-basınçta çalıştırılmasıyla kompresörde yağ kaçakları oluşur. Bu olay kompresör supaplarına zarar verir hatta bu şartlarda çalışmaya devam edilirse kompresör yanabilir.

Birbirinden ayrı devreli ve mekanik sistemlerde bu probleme çözüm bulunmuştur. Hatırlanacağı gibi bu sistemlerde; azami soğutma kapasitesine ulaşmak için, taze hava kanalları kapatıldığında buzlanma önlenir.

Tipik otomobil klima sistemleri, otomobil içindeki hava sıcaklığını 43°C dan 29°C 'a on dakika içinde düşürebilirler. Eğer araç park halinde ve camları kapalı ise; araç iç sıcaklığı 66°C 'a kadar ulaşabilir. Otomobil ısısı yükü yada ısısı kazancının yüksek seviyelere çıkmasındaki başlıca etkenler güneş ışınları ve camlarda oluşan ısısı iletimidir.

Otomobil klima sistemleri, tamamıyla taze havanın kullanarak veya hiç taze hava kullanmadan da kullanılabilir. Taze hava fanları yaklaşık 200 W enerji ile 250 ila 275 cfm. hava sağlayacak kapasitededir.

Ayrıca otomobil klimaları çalışma esnasında yakıt sarfiyatının da % 10 kadar artmasına sebep olur.

2. 2. 4 SOĞUTMA KAPASİTESİ

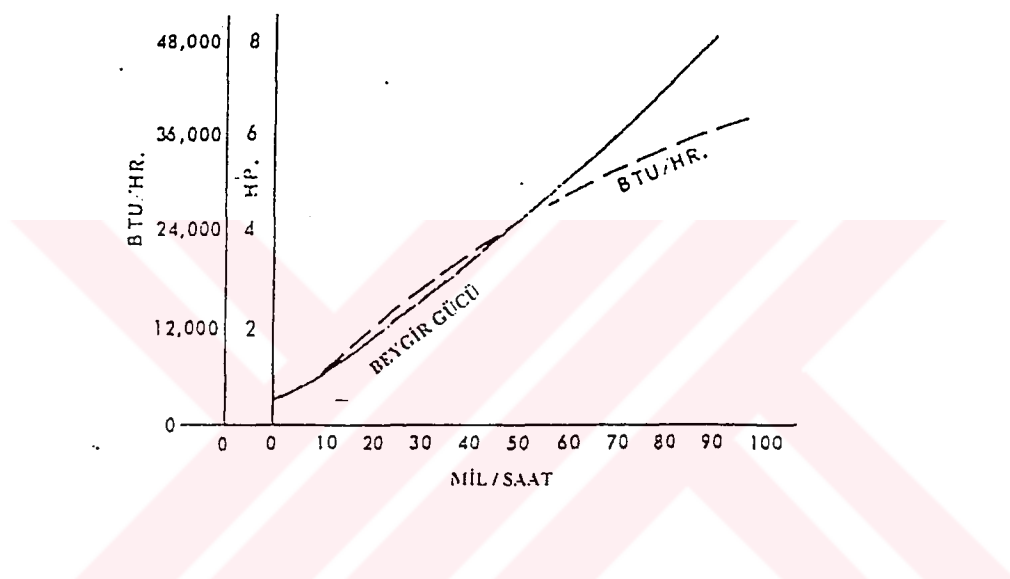
Otomobil klimalarında, soğutma kapasitesi 3500 W (12000 Btu/hr) ila 14050 W (48000 Btu/hr) aralığındadır.

Otomobil klima kapasiteleri, otomobilin ebatıyla orantılıdır. Sistemin düşük kapasitede çalışması halinde soğutma sağlanamaz. Aynı şekilde yüksek kapasitede çalışma ise ekonomik değildir. Genellikle soğutma sistemleri, araç 45 km/hr. (30 mph.) hızla giderken araç iç sıcaklığını, ortam sıcaklığından 8 veya 11°C (15 veya 20°F) daha alt seviyede muhafaza edecek şekilde dizayn edilmelidir. Şekil 2. 11'de değişik hızlarda araç için ihtiyaç duyulan soğutma kapasiteleri görülebilir.

Araç hızının artması ve eksilmesi, kompresör kapasitesinin çoğalması ve azalmasına sebep olur. Otomobilin park ettiği yada düşük hızla seyrettiği durumlar dışında bu değişim sonucu, ısısı kapasitesinde de paralel bir değişim görülür. Bu kritik

durumlarda kompresör kapasitesi normalin altına düşebilir. Kompresör kapasitesini artırmak için ya motorun relantisi yükseltilir yada ara dişli vasıtasiyla kompresör devri artırılır.

Klasik su soğutmalı motorlarda, sıcak su boruları üzerinden kanallarla geçirilen hava ısıtma amaçlı kullanılır. Soğutma ve ısıtma devrelerinde aynı fan kullanılabilir.



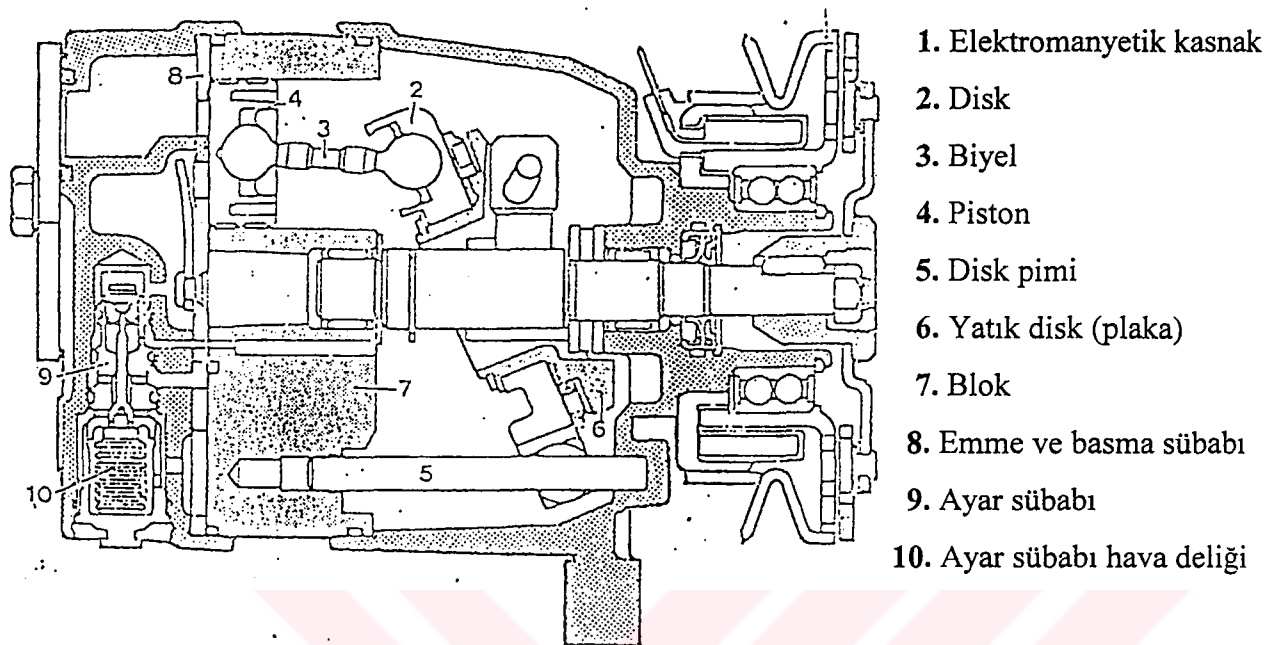
ŞEKİL 2.11 Soğutma kapasite eğrisi
(Kaynak : Marsh K. - Automotive Engineering April 1994)

2.2.5 KOMPRESÖR

Otomobillerdeki motor gruplarına göre iki farklı tip kompresör kullanılmıştır, bunlardan biri değişken silindirli V5, diğer ise normal kompresör olarak adlandırılır.

V5 tip kompresörün, normal kompresöre göre avantajı herhangi bir çalışma durumunda kasnağın devreye girip çıkmaması halinde dahi istenilen düzeyde soğutma yapmasıdır. Şekil 2. 12'de V5 kompresör kesiti görülmektedir.

Kompresör genel olarak;



ŞEKİL 2. 12 V5 Kompresör kesiti
(Kaynak : Tofaş AŞ. - Aksesuar Techizat 1996)

İçerisinde pistonların çalıştığı silindirlerin bulunduğu bir gövde grubu, bir mil ve milin üzerinde monte edilmiş olan yatık bir plaka (disk) grubu olmak üzere iki kısımdır. Plaka üzerinde ayrıca bir disk vardır, bu disk pistonlara bağlı olan biyel kollarına yataklık yapar. Silindir kapakları üzerinde emme ve basma kanalları ve ayar sübabının yuvası bulunmaktadır. Kapak üzerinde ayrıca conta, emme ve basma sübaplarının bulunduğu plaka ve emme diyaframı bulunmaktadır.

Pistonların silindirleri içindeki çalışmaları, rotatif olarak yatık plaka (disk)ının tahrikiyle oluşmaktadır. Bu yatık plaka, biyel ve pistonlarla bağlantılı olduğundan dönme ve pistonların çalışma işlemini yapısı itibariyle yapamaz işte bu sebepten yatık çalışan mil, pim ile kumanda edilir. Pim yatık diskin pozisyonlamasını ayarlar ve dolayısıyla pistonların çalışma işlemi meydana gelir.

Biyellerin bağlı olduğu diskin pozisyonunu ayarlayan, bu ayar pimine kumanda eden sübap üzerinde bir hava deliği vardır. Bu delik kompresörün emme basıncını arttırmır ve kompresörün içindeki basınç ve hava deliğinden giren basınç değişkenliği itibariyle bu ayar sübabı yatkı diskin pozisyonunu değiştirerek diskin ve dolayısıyla pistonların çalışmasını sağlar.

Eğer fazla soğutma yükü isteniyor ise ayar sübabı açılır ve bu suretle kompresörün içi emme kanalı ile iştiraklaşır. Bu durumda bir basınç değişkenliği olmayacağından kompresör maksimum çalışma hızına ulaşır.

Eğer az soğutma yükü ihtiyacı varsa, ayar sübabı gönderme kanalı ile iştiraklaşır ve yukarıdaki olayın tersi bir durum meydana gelerek hava geçisi ortadan kalkar.

Biyel taşıyıcı yatkı diskin açısı, iki ayrı basıncın değişikliği ile sağlanır. Kompresörün içindeki hava ile emme kanalından giren basınç arasındaki hafif bir değişkenlik pistonlar üzerinde büyük bir güç yaratarak tahrik pimini çalıştırır ve bu da diskin pozisyonunu ayarlar.

Kompresör içerisinde piston, silindir kapağından uzaklaştığı anda bir basınç meydana gelir. Basınç değişikliği emme sübabını açarak, gaz durumunda olan soğutucu akışkanın silindir içine dolması sağlanır. Piston tekrar kompresörün içindeki silindirin kapağına çakmaya başladığında emme sübabı kapanır ve dolayısıyla soğutucu akışkan gazı sıkışmış olur. Bu sıkışma olayı basma sübabını açılması için gerekli olan basınç değeri meydana gelene kadar devam eder ve daha sonra soğutucu akışkan hortum vasıtasiyla yoğunlukluyu geçer.

Klima sistemi devrede değilken kompresörün kasnağı boşta döner ve dönme işlemi daima krank kasnağından hareket alan kayışla oluşur. Sistem devreye sokulunca mıknatıs disk çeker ve kompresörün çalışma işlemi başlamış olur.

2. 2. 6 YOĞUŞTURUCU (KONDENSER)

Yoğuşturucu, termik ısı-değişkenliği yaratan alüminyum veya bakır borulardan ve alüminyum peteklerden oluşan bir ünitedir. Soğutucu akışkan gazı, yoğuşturucu serpantinlerinden geçerken gaz halinden sıvı hale dönüşür.

Yoğuşturucu genellikle araç radyatörünün önüne monte edilir. Kompresörden kondersere gelen tahliye hatlarına titreşim giderici üniteler konulur veya bu hatlarda esnek borular kullanılır. Pek çok sistemde ise bu hat üzerine susturucu konulur.

Yoğuşturucu genelde bakır veya alüminyumdan yapılır ve bir iki yada üç boru geçişli tipleri mevcuttur. Yoğuşturucu kasasının bağlantılarını sağlamlaştırmak için plastik perçin, rondela ve civata kullanılır.

Yoğuşturucu, radyatörün önüne monte edildiği zaman, havayla direkt teması olacağından, yoğuşturucu üzerinde sistemin çalışmasını etkileyebilecek miktarda yaprak, böcek ve pislik oluşabilir. Sistemin randımanlı çalışması için yoğuşturucu yüzeyi temiz tutulmalıdır.

Yoğuşturucuda oluşan yetersiz bir ısı değişikliği, sistemde basıncın yükselmesine neden olacağı gibi, soğutucu akışkanın kondense (yoğuşma) olmamasına ve genleşme valfine hala gaz konumunda ulaşacağından sistemin soğutma kapasitesini düşürecektir.

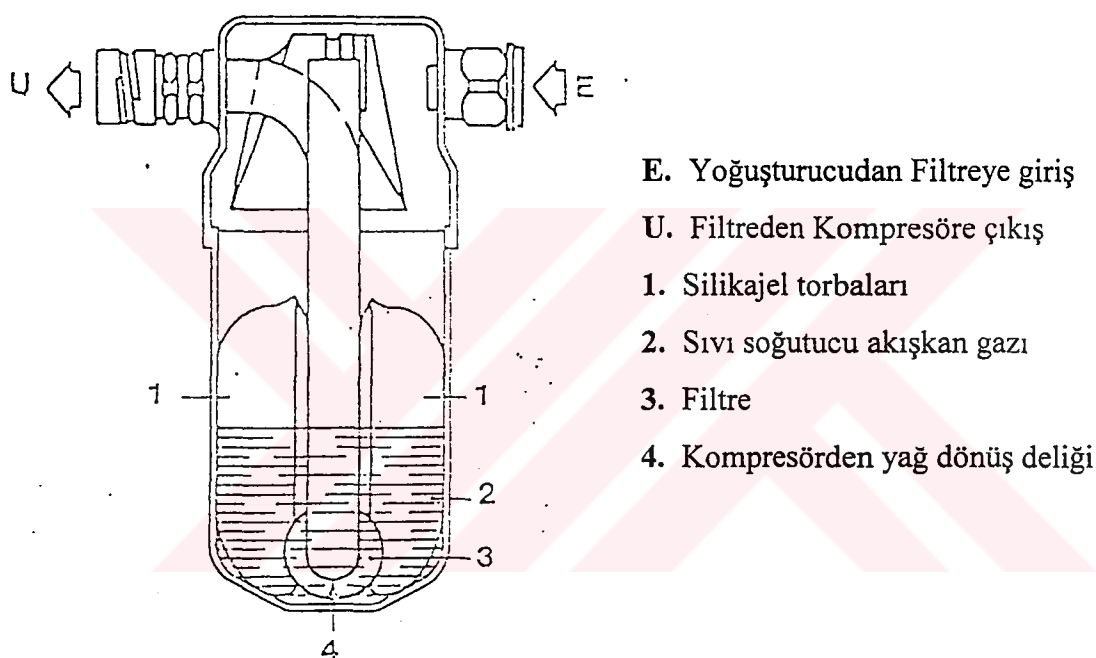
Yoğuşturucu, araç seyir halindeyken normal dış hava ile, araç park halinde iken ve sıkışık trafikte elektro fan vasıtası ile soğutulmaktadır.

2. 2. 7 NEM TUTUCU FİLTRE

Nem tutucu filtrenin değişik fonksiyonları vardır. Başlıca görevi sistemin sıvı ve gaz hallerini birbirinden ayırmaktır. Ayrıca sistemin çalışması esnasında devrede sıvı

halinde büyük bir miktar soğutucu akışkan rezervi yapılır. Filtrenin bir başka görevi de iki adet Silikajel torbası ile sistemde kalan muhtemel nem taneciklerini tutmaktadır.

Bundan dolayıdır ki; bu filtrenin sisteme monte edilmeden evvel çok titiz bir şekilde imal edilip hazırlanması ve nemsiz yerlerde muhafa edilmesi gerekmektedir. Filtrenin içersindeki profil borunun alt kısmında kompresöre buzlanmayı önleyici yağ gönderen bir delik vardır. Bu deliğe karşılık olarak ta profil boruda metalik bir filtre bulunmaktadır. Şekil 2.13



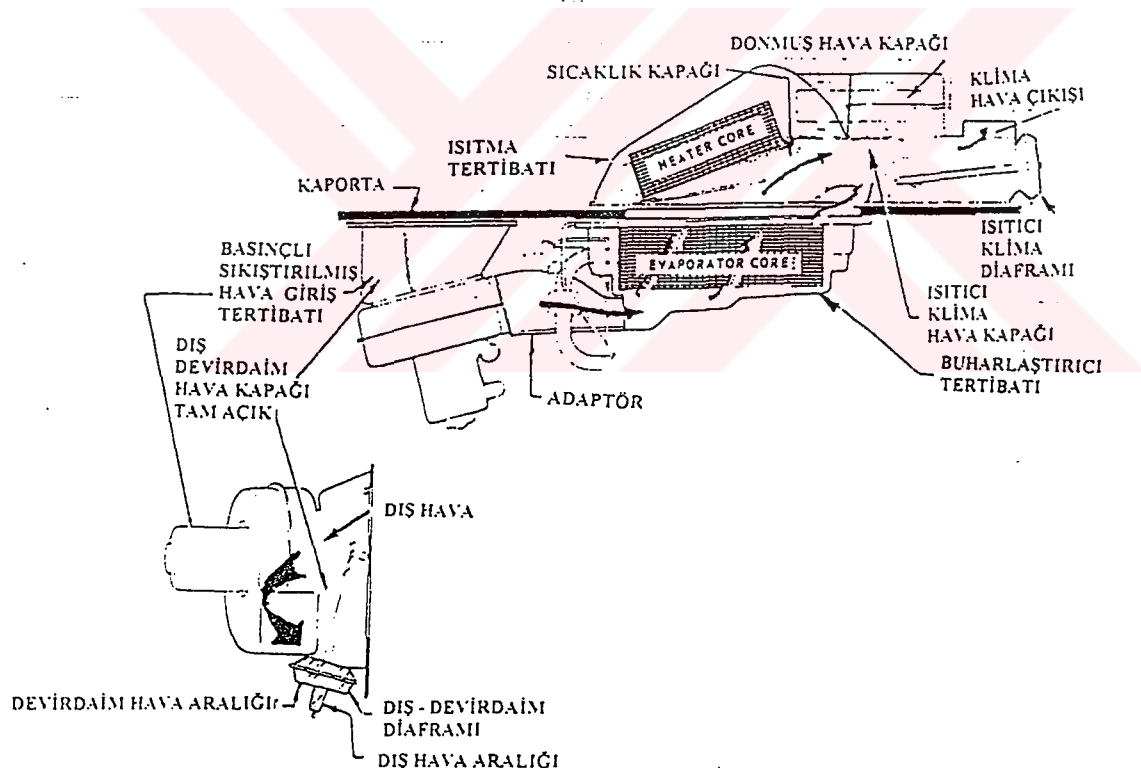
ŞEKİL 2. 13 Nem tutucu filtrenin kesiti
(Kaynak : Tofaş AŞ. - Aksesuar Techizat 1996)

2. 2. 8 BUHARLAŞTIRICI (EVAPARATÖR)

Buharlaştırıcı genellikle kontrol panelinin her iki yanına (motor ya da yolcuların bulunduğu kısmı) monte edilebilir. Buharlaştırıcı, fan ve kanal sistemi kaputun altına, Şekil 2. 14'de olduğu gibi yerleştirilir. Isıtma helezonları da aynı kanal sistemine monte edilerek buharlaştırıcıyla yalıtılmıştır.

Buharlaştırıcı, alüminyum boru ve peteklerden müteşekkil klima sisteminin ikinci ısı değişkenliğini sağlayan termik ünitesidir. Giriş ve çıkış boruları kendi üzerine kaynak edilmiştir. Buharlaştırıcı yapısı itibariyle korozyondan korunacak şekilde imal edilmiştir. Buharlaştırıcının sistemdeki rolü iki şekilde oluşmaktadır. Bunlardan biri araç içersindeki dahili hava ile olur, bu durumda buharlaştırıcıdan daima daha soğuk ve nemsiz hava sağlanır. Bir diğeri ise otomobil içersindeki havanın, dış hava ile şartlandırılmasıdır, bu durumda dış hava buharlaştırıcıdan geçerken daha az soğur fakat ortama daha temiz hava sağlar.

Dış hava buharlaştırıcıdan geçerken, düşük basınçtaki soğutucu akışkanın buharlaşmasını sağlar. Gaz durumuna geçen soğutucu akışkan kompresöre gönderilir.



ŞEKİL 2. 14 Fan, buharlaştırıcı, ısıtma helezonları ve kanalların tesisat şeması

(Kaynak : ASHRE Equipment Handbook - 1994)

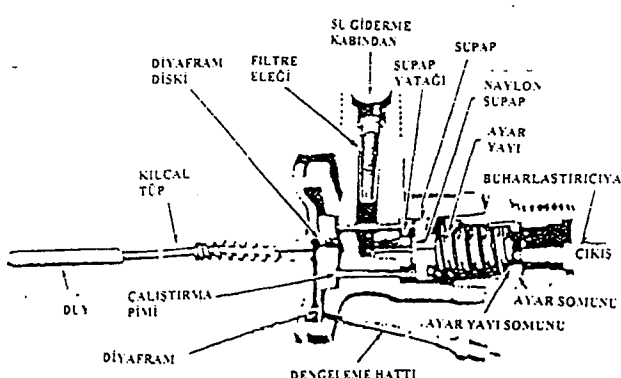
2.2.9 GENLEŞME VALFİ (EXPANSION VALVE)

Klima sistemlerinde, yüksek basınçtaki soğutucu akışkanının, buharlaştırıcı girişinde düşük basınç ulaşımasını sağlayan bir elemana ihtiyaç vardır. Otomobil klima üreticileri, bu elemanı "termostatik genleşme valf" olarak adlandırmışlardır. Genleşme valfi, buharlaştırıcı çıkış sıcaklığı kadar klima sisteminin düşük basınç değerini de kontrol eder.

Genleşme valfinin kapasitesi, yani orifis çapı; klima ünitesinin kapasitesine uygun olmalıdır. Küçük orifis çaplı valf, kapasiteyi düşüreceği gibi büyük orifis çapı ise sistemde taşmaya neden olabilir.

Pek çok otomobil klimasında - buharlaştırıcı çıkışı ile valf gövdesi irtibatlı - basınç kontrol çubuğu bulunur. Basınç kontrol çubugu, buharlaştırıcıda oluşacak herhangi bir basınç kaybını eşitleyeceği için ihtiyaç duyulur.

Genleşme valfi, buharlaştırıcı girişine monte edilir. Kıskaçlarla sıkıca sabitlenmiş çıkış tüpü ve hissetici hassas uç (sensitive bulb) kesinlikle temiz olmalıdır. Bu uç monte edildikten sonra, mutlaka izole edilmelidir. Bu yolla genleşme valfinin, buharlaştırıcı çıkış sıcaklığını direk olarak kontrol etmesi sağlanır. Şekil 2.15



ŞEKİL 2.15 Termostatik genleşme valfi

(Kaynak : ASHRE Equipment Handbook - 1994)

2. 2. 10 ÜÇ FAZLI PRESOSTAT

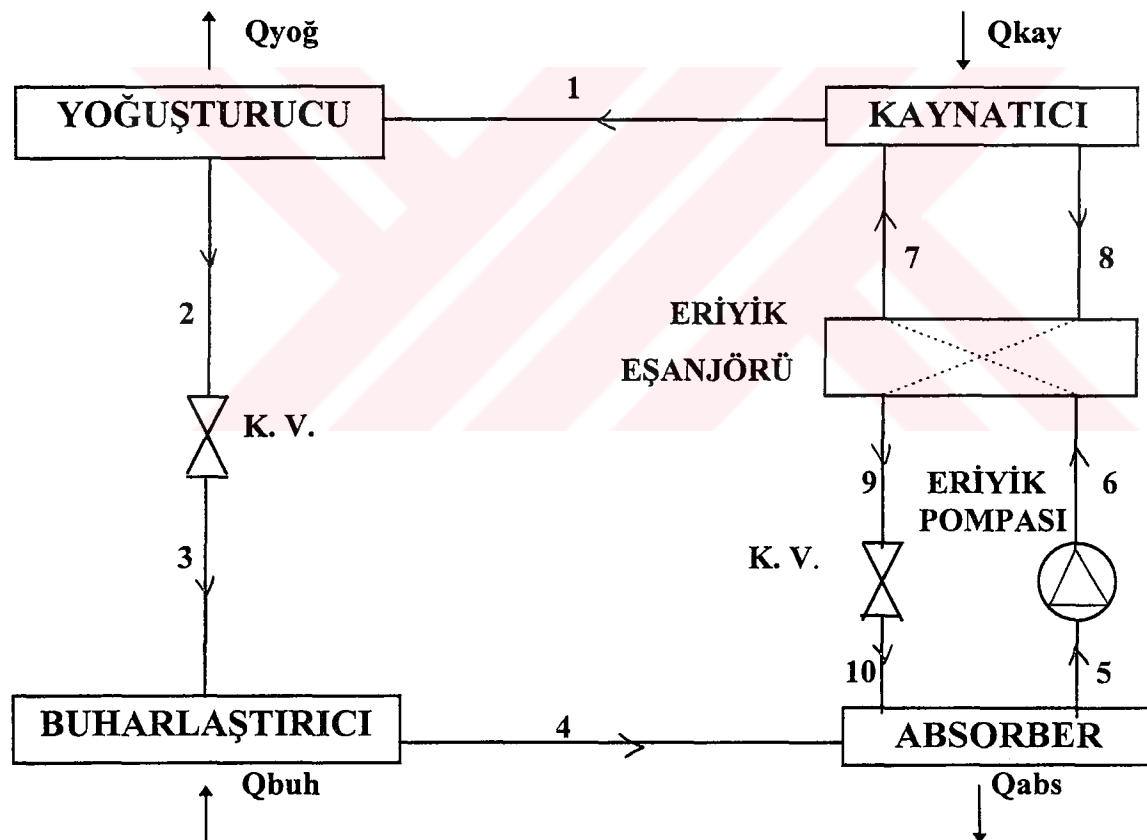
Üç fazlı presostatın görevi araç park halinde veya sıkışık trafikte iken, soğutucu akışkan gazının kondense (yoğuşma) olabilmesi için yoğunışturucunun ve radyatörün, elektro fanını devreye sokup, havalandırma yapmaktadır.

Ayrıca bu presostat, radyatör ve yoğunışturucu fanlarının herhangi bir sebepten devreye girmeyip tehlikeli limitler içerisinde girildiğinde veya sistemde kaçak olduğunda, dış ortam 10°C 'in altına düştüğünde soğutucu akışkan gazının termik olarak buharlaşmasının engellendiği durumlarda kompresörü devreden çıkarır.

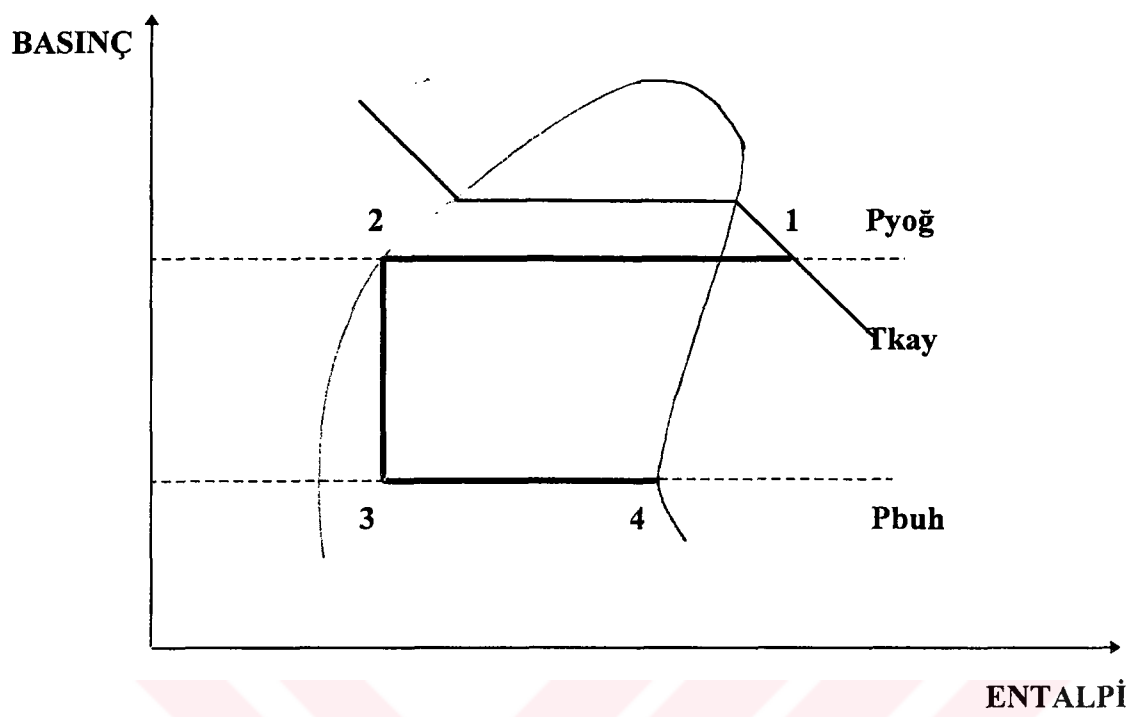
2.3 TERMODİNAMİK ANALİZ

2.3.1 TERMODİNAMİK ÇEVİRİM ANALİZİ

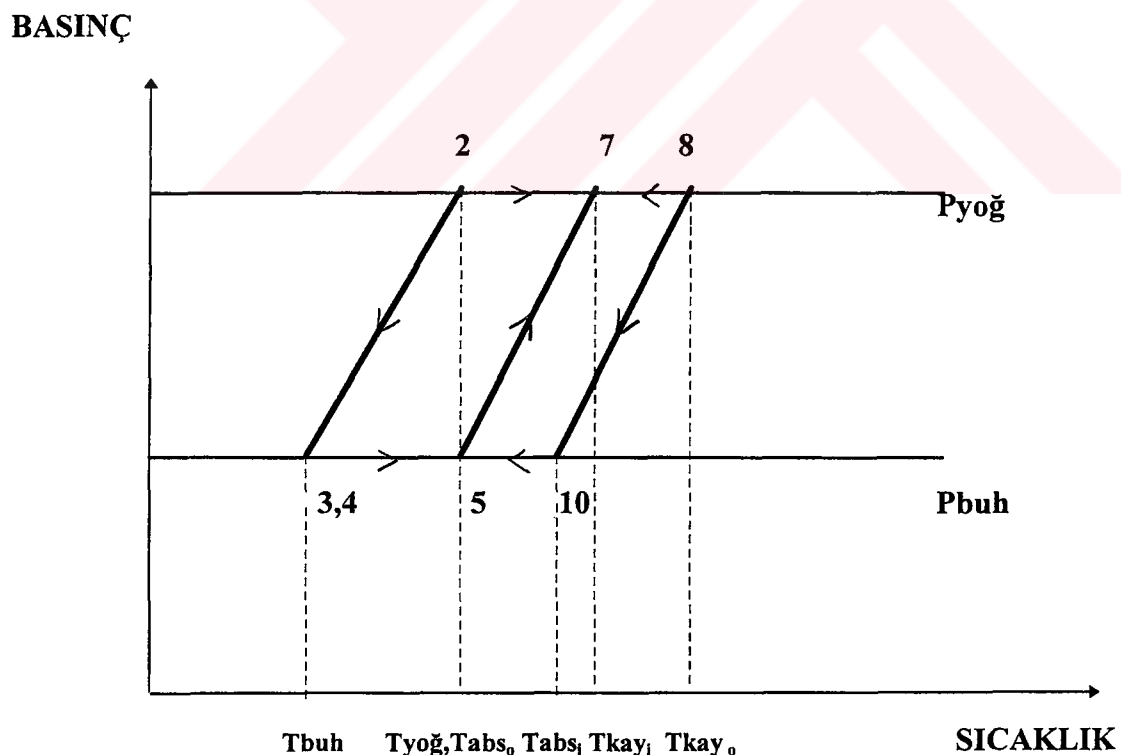
Şekil 2. 16'da Absorbsiyonlu Soğutma Sisteminin termodinamik analizi şematik olarak gösterilmiştir. Lityum bromür-su eriyiği kullanan bir sistemde; su buharının basınç-entalpi diyagramı Şekil 2. 17'de, LiBr-su eriyiğinin basınç-sıcaklık diyagramı Şekil 2. 18'de gösterilmiştir.



ŞEKİL 2. 16 Absorbsiyonlu soğutma sisteminin termodinamik analizi



ŞEKİL 2.17 Su buharının basınç - entalpi diyagramı



ŞEKİL 2.18 LiBr eriyığının basınç - sıcaklık diyagramı

Dolaşım Oranı WZ, zengin eriyik ve soğutucu akışkan debilerinin oranı olarak tanımlanır,

$$WZ = m_z / m_a \quad (2.1)$$

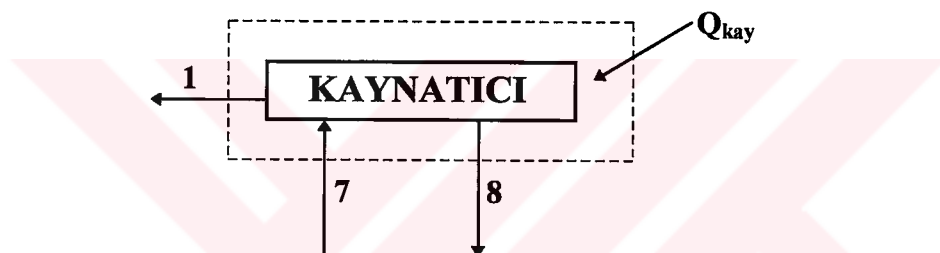
burada ;

WZ ; Dolaşım oranı

m_z ; zengin eriyik akış debisi (kg/s)

m_f ; fakir eriyik akış debisi (kg/s)

m_a ; su buharı akış debisi (kg/s)



ŞEKİL 2.19 Kaynاتıcı

Şekil 2. 19'daki kaynaticı açık bir sistemdir. (SASA)

$$m_z = m_7 \text{ ve } m_a = m_1$$

Dolayısıyla;

$$WZ = m_8 / m_1 \quad (2.2)$$

Süreklik denkleminden ;

$$m_8 + m_1 = m_7 \quad (2.3)$$

Sistemdeki Lityum - Bromür dengesinden ;

$$m_7 X_z = m_8 X_f \quad (2.4)$$

X_z ; Zengin eriyik konsantrasyonu

X_f ; Fakir eriyik konsantrasyonu

Denklem (2. 3) ve (2. 4) kullanılarak,

$$WZ = m_8 / m_1 = X_f / (X_z - X_f) \quad (2.5)$$

$$m_7 / m_1 = X_z / (X_z - X_f) = WZ + 1 \quad (2.6)$$

Kaynاتıcı açık bir sistemdir, dolayısıyla $P = \text{sabit}$ ve $W = 0$ dır.

Kaynاتıcıda oluşan kinetik ve potansiyel enerjinin ihmali edildiği kabul edilirse, Termodynamığın I. kuralına göre ;

$$\sum Q_{sys} - \sum W_{sys} = \sum H_o - \sum H_i \quad (2.7)$$

$\sum Q_{sys}$; Toplam ısı transferi (Kw)

$\sum W_{sys}$; Toplam iş (Kw)

$\sum H_o$; Entalpi çıkanlar.

$\sum H_i$; Entalpi girenler.

Kaynاتıcı için Denklem (2. 7) nin aldığı form ;

$$Q_{kay} = H_1 + H_8 - H_7 \quad (2.8)$$

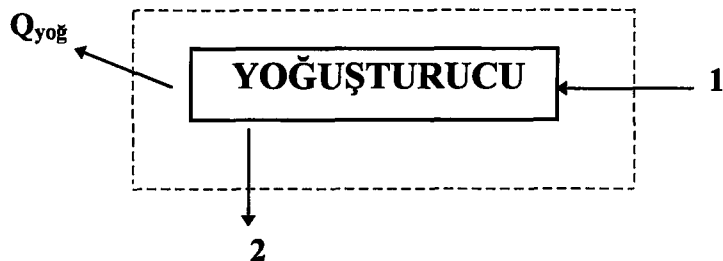
Ayrıca Denklem (2. 8) in bir diğer yazılımı da,

$$Q_{kay} = m_1 h_1 + m_8 h_8 - m_7 h_7 \quad (2.9)$$

Denklem (2. 9) in sisteme uyarlanması ise;

$$Q_{\text{kay}} = m_a h_1 + m_z h_8 - m_f h_7 \quad (2.10)$$

$$Q_{\text{kay}} / m_1 = q_{\text{kay}} = h_1 + WZ h_8 - (WZ + 1) h_7 \quad (2.11)$$



ŞEKİL 2.20 Yoğuşturucu

Hava soğutmalı yoğuşturucu açık sistemdir, Şekil 2.20 den yararlanarak,

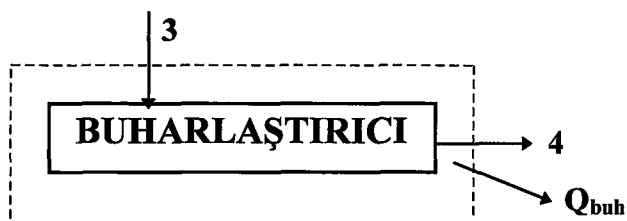
$$P_{\text{yog}} = \text{sabit}, W_{\text{yog}} = 0$$

Denklem (2.7)'yi kullanarak, yoğuşturucu ısı transferi;

$$Q_{\text{yog}} = H_2 - H_1 = m_2 h_2 - m_1 h_1 \quad (2.12)$$

Denklem (2.12)'nin sisteme uyarlanması ise;

$$Q_{\text{yog}} = m_1 (h_2 - h_1) \Rightarrow Q_{\text{yog}} / m_1 = q_{\text{yog}} = (h_2 - h_1) \quad (2.13)$$



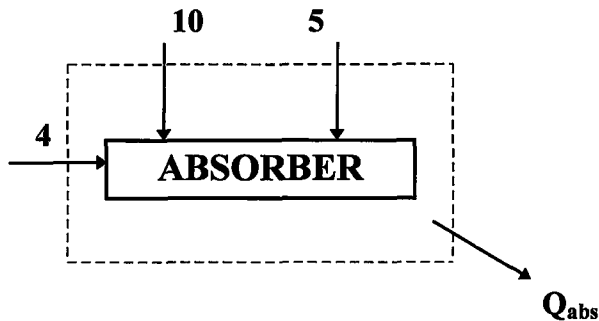
ŞEKİL 2.21 Buharlaştırıcı

Buharlaştırıcı açık bir sistemdir, dolayısıyla $P_{\text{yog}} = \text{sabit}$ ve $W_{\text{yog}} = 0$ olmak üzere Şekil 2.21'i kullanarak, buharlaştırıcı ısı transferi ;

$$Q_{buh} = H_4 - H_3 = m_4 h_4 - m_3 h_3 \quad (2.14)$$

Denklem (2. 14)'in sisteme uyarlanması ise ;

$$Q_{buh} = m_1 (h_4 - h_3) \Rightarrow Q_{buh} / m_1 = q_{buh} = h_4 - h_3 \quad (2.15)$$



ŞEKİL 2.22 Absorber

Hava soğutmalı absorber açık sistemdir ve $P_{abs} = \text{sabit}$, $W_{abs} = 0$ olmak üzere denklem (2. 7) absorbere uygulanırısa ;

$$Q_{abs} = m_5 h_5 - m_4 h_4 - m_{10} h_{10} \quad (2.16)$$

Denklem (2. 16)'nın sisteme uyarlanması ise,

$$Q_{abs} = m_t h_5 - m_a h_4 - m_z h_{10} \quad (2.17)$$

$$Q_{abs} / m_1 = q_{abs} = (WZ + 1) h_5 - h_4 - WZ h_{10} \quad (2.18)$$

Absorbsiyonlu Soğutma Sisteminin enerji dengesi ise ;

$$Q_{abs} + Q_{yog} = Q_{kay} + Q_{buh} + W_{pompa} \quad (2.19)$$

Genellikle W_{pompa} , diğer değerlere kıyasla ihmäl edilebilecek miktarlarda olduğundan, Denklem (2. 16) nın son hali,

$$Q_{abs} + Q_{yoğ} = Q_{kay} + Q_{buh} \quad (2.19)$$

2.3.2 SOĞUTMA TESİR KATSAYISININ DEĞERLENDİRİLMESİ (COP)

Soğutma tesir katsayısi, birim iş başına yapılan soğutma olarak tarif edilir. Tesir katsayısi, sistemin farklı sıcaklık değerleri arasındaki ısı transfer kapasitesidir. Absorbsiyonlu Soğutma Sisteminde ilk amaç soğutma olmuştur ve dolayısıyla sistem geleneksel olarak soğutma tesir katsayısi ile tanımlanır.

$$COP = \frac{\text{Soğutma Yükü (Buharlaştırıcıdan)}}{\text{Verilen Enerji Girdisi (Kaynacı + Pompa)}} \quad (2.20)$$

Isıtma amaçlı sistemlerde ise; Isıtma tesir katsayısından bahsedilir. Isıtma tesir katsayısi birim iş başına yapılan ısıtmadır ve $(COP)_h$ şeklinde ifade edilir.

$$(COP)_h = \frac{\text{Isıtma Yükü (Yoğuşturucu ve Absorber)}}{\text{Verilen Enerji Girdisi (Kaynacı + Pompa)}} \quad (2.21)$$

Sistemin ısıtma dengesinin son hali ise;

$$(COP)_h = 1 + COP \quad (2.22)$$

Bu ilişki teoride olduğu kadar pratikte de kolaylıkla görülür. Absorbsiyonlu Soğutma Sisteminde alınan ısının tümü, yoğunşturucu ve absorber tarafından ortama verilir. Buradan da anlaşılacağı gibi $(COP)_h$ değerini COP değeri ile kıyaslarsak, ısıtma tesir katsayısunın daha fazla olması gerektiği anlaşılır.

Belirli sıcaklık değerleri arasında, Carnot Sisteminin transfer edebileceği ısı enerjisi, sistemin üst limit değerleriyle ilişkilidir. Sistem sıcaklıklarını buharlaştırıcı ve yoğunşturucu sıcaklıklarıdır ve Carnot sistemi ile çalışan Buhar Sıkıştırmalı Mekanik Soğutma Sisteminin COP değeri ise;

$$COP = \frac{\text{Sistemin Alt Sıcaklık Değeri}}{\text{Sisteme Verilen İş}} = \frac{T_{yoğ}}{T_{buh} - T_{yoğ}} \quad (2.23)$$

Absorbsiyonlu Soğutma Sisteminde, ısı enerjisi kaynatıcı sıcaklığından, absorber sıcaklığına düşürülür ve bu sayede buharlaştırıcı - yoğunıştırıcı sıcaklıklar arasında ısıyı çekenek bir kuvvet sağlanır. Bu sıcaklıklar arasında çalışan Carnot sistemin COP değeri ise ;

$$COP = \frac{(T_{kay} - T_{abs})}{T_{kay}} \frac{T_{buh}}{(T_{yoğ} - T_{buh})} \quad (2.24)$$

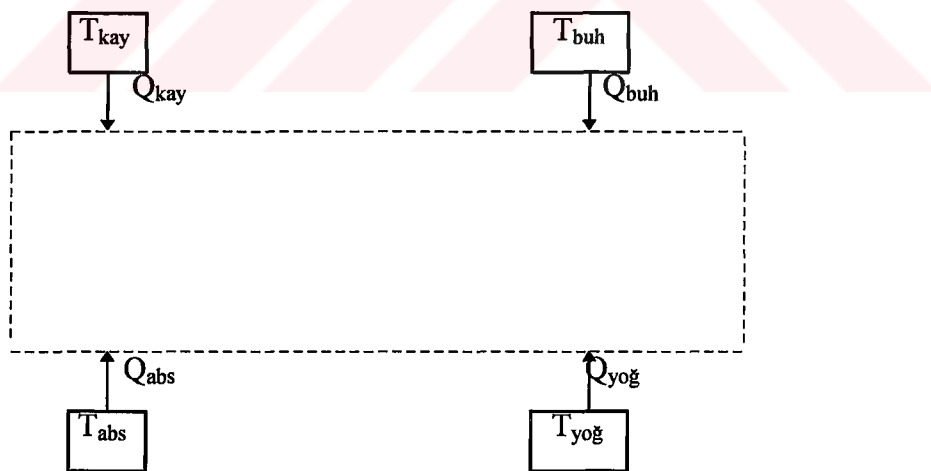
T_{buh} ; Buharlaştırıcı Sıcaklığı (K)

$T_{yoğ}$; Yoğunıştırıcı Sıcaklığı (K)

T_{kay} ; Kaynatıcı Sıcaklığı (K)

T_{abs} ; Absorber Sıcaklığı (K)

Absorbsiyonlu Soğutma Sisteminin ideal COP değeri, Denklem (2. 24) kullanılarak bulunabilir.



ŞEKİL 2.23 Absorbsiyonlu soğutma sisteminin Carnot sistemi şeklinde gösterimi

Termodinamiğin II. kanununu Absorbsiyonlu Soğutma Sistemine uygularsak ;

$$\sum \Delta S = \frac{Q_{kay}}{T_{kay}} + \frac{Q_{buh}}{T_{buh}} - \frac{Q_{yoğ}}{T_{yoğ}} - \frac{Q_{abs}}{T_{abs}} = 0 \quad (2.25)$$

Aynı zamanda, yoğuşturucu ve absorber aynı kaynak tarafından soğutulduğundan
 $T_{yoğ} = T_{abs} = T$

Eğer Denklem (2. 19) ve Denklem (2. 25) birleştirilse,

$$\frac{Q_{kay}}{T_{kay}} + \frac{Q_{buh}}{T_{buh}} = \frac{Q_{yoğ} + Q_{abs}}{T} = \frac{Q_{kay} + Q_{buh}}{T} \quad (2.26)$$

Eşitliğin her iki tarafını Tkay / Qkay ile çarparsaq Denklem (2. 26) şu hali alır ;

$$1 + \frac{Q_{buh}}{Q_{kay}} \cdot \frac{T_{kay}}{T_{buh}} = \frac{T_{kay}}{T} + \frac{Q_{buh}}{Q_{kay}} \cdot \frac{T_{kay}}{T} \quad (2.27)$$

Denklem (2. 27) tekrar organize edilirse;

$$\frac{Q_{buh}}{Q_{kay}} \cdot \left(\frac{T_{kay}}{T_{buh}} - \frac{T_{kay}}{T} \right) = \frac{T_{kay}}{T} - 1 \quad (2.28)$$

Daha önce $COP = Q_{buh} / Q_{kay}$ olarak tanımlanmıştı, bu tanımı Denklem (2. 28)
uygularsak COP ;

$$COP = \frac{T_{kay} - T_{yoğ}}{T_{kay}} \cdot \frac{T_{buh}}{T_{yoğ} - T_{buh}} \quad (2.29)$$

$$COP = \eta_c \cdot (COP)_{BSS} \quad (2.30)$$

$(COP)_{BSS}$; Buhar Sıkıştırmalı Mekanik Soğutma Sistemi soğutma tesir katsayısı

Sonuçta Absorbsiyonlu Soğutma Sisteminin soğutma tesir katsayısı, Buhar Sıkıştırmalı Mekanik Sisteme göre daima daha azdır. Denklem (2. 29) incelendiğinde görülür ki; Absorbsiyonlu Soğutma Sistemi soğutma tesir katsayısı dört temel sıcaklığı bağlıdır: T_{abs} , T_{yog} , T_{kay} , T_{buh} .

Gerçek soğutma tesir ve ısıtma tesir katsayısı ise ;

$$COP = \frac{Q_{buh}}{Q_{kay}} = \frac{m_1 (h_4 - h_3)}{m_1 h_1 + m_z h_8 + m_f h_7} \quad (2. 31)$$

$$COP = \frac{q_{buh}}{q_{kay}} = \frac{(h_4 - h_3)}{h_1 + WZ h_8 + (WZ + 1) h_7} \quad (2. 32)$$

$$(COP)_h = \frac{Q_{yog} + Q_{abs}}{Q_{kay}} = \frac{m_1 (h_2 - h_1) + m_f h_5 - m_a h_4 - m_s h_{10}}{m_1 h_1 + m_z h_8 - m_f h_7} \quad (2. 33)$$

$$(COP)_h = \frac{q_{yog} + q_{abs}}{q_{kay}} = \frac{(h_2 - h_1) + (WZ + 1)h_5 - h_4 - WZ h_{10}}{h_1 + WZ h_8 + (WZ + 1) h_7} \quad (2. 34)$$

$$(COP)_h = COP + 1 \quad (2. 35)$$

3. MATERİYAL ve YÖNTEM

3.1 MATERİYAL

Araştırmada, TOFAŞ AŞ. tarafından üretilen UNO S modeli esas alınmış ve Absorbsiyonlu Soğutma Sistemi kullanarak araç kabininin teorik olarak ısıtma ve soğutulması üzerinde çalışılmıştır.

Absorbsiyonlu Soğutma Sistemindeki kaynatıcı görevi; araç egzosuna yerleştirilecek ve egsoz gazı sıcaklığını emecek bir ısı eşanjörü, absorber görevi; araç radyatörünün arkasına yerleştirilecek ve ısısını fan yardımıyla havaya verecek bir ısı eşanjörü tarafından sağlanacaktır. Mevcut klima sistemindeki buharlaştırıcı ve yoğunıştırıcı aynen kullanılarak, kompresör devre dışı bırakılacaktır.

Mevcut otomobil klima tertibatının soğutma kapasitesi 3500 ila 14050 W arasındadır. Bu da gösterir ki Absorbsiyonlu Soğutma Sisteminin de soğutma kapasitesi bu değerler arasında olmalıdır. Absorbsiyonlu Soğutma Sistemlerinde COP değeri genellikle 0,7 - 0,8 arasındadır, dolayısıyla sistemimizin egsoz gazından alacağı ısı miktarı yani, kaynatıcı kapasitesi 17000 - 200000 W olmalıdır. Bu değer teorik bir değerdir, kayıplar göz önüne alındığında kaynatıcı kapasitesini daha yüksek değerlerde tutmak gereklidir.

Araştırmada kullanılan veri ve bilgiler; TOFAŞ AŞ Araştırma ve Geliştirme Departmanı tarafından hazırlanan UNO S MOTOR ÖMÜR DENEYİ esas alınarak hazırlanmıştır.

Öncelikle araştırmamızda UNO S modelinin egsoz gazı ısıl kapasitesinin, kaynatıcı kapasitesine yeterliliği incelenmiştir. Uygun kaynatıcı seçiminde, pek çok kaynatıcı tipi üzerinde hesaplamalar yapılmış ve uygun kapasitede kaynatıcı dizayn edilmiştir.

Ayrıca mevcut sisteme ilave edilen absorber ve kaynatıcı kapasitesi ve dizaynı sistemin yükünü kaldıracak şekilde yapılmıştır. Her iki dizayn hesapları **Ek B** ve **Ek D** kısmında sunulmuştur.

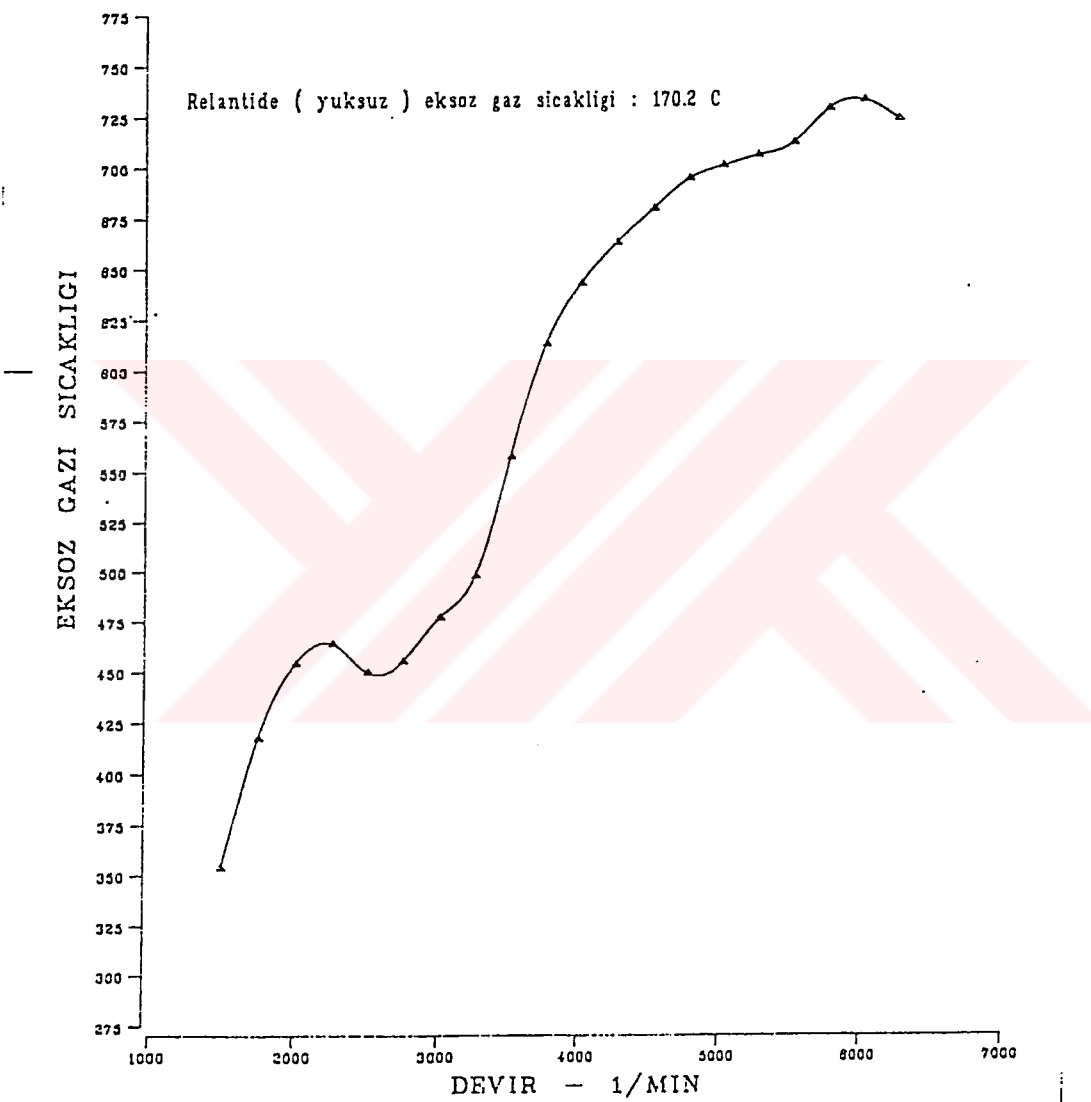
UNO S Motor Ömür Deneyinde; farklı devirlerdeki egsoz gazı sıcaklıklarının yanında, tork değerleri ve yakıt sarfiyatı bilgileri verilmiştir. UNO S motor ömür deneyi orijinal verileri Şekil 3. 1 ve Tablo 3. 1'de sunulmuştur.

UNO S Motor Ömür Deneyi düzenlenerek ve Motor Hava - Yakıt oranı 15 alınarak hesaplanan egsoz gazı debisi Tablo 3. 2'de gösterilmiştir. Motor ömür deneyindeki her veri (tork ve devir) değeri **Konum** olarak adlandırılmıştır.

T O F A S
K.MEK.1

KABIN NO : 3
OMUR DENYEYI MOTORUNUN EKSÖZ GAZI SICAKLIĞI

TARIH : 27/03/1996
MOTOR NO : Y.P.P.32
TIP : UNO S
File : YPP32
Layout : SCK32.LAY



ŞEKİL 3.1 UNO S motor ömür deneyi eksöz gazi sıcaklığı
(Kaynak : Tofaş AŞ. - Arge Bölümü Motor Ömür Deneyi)

TABLO 3.1 UNO S motor ömür deneyi kapasite bilgileri
 (Kaynak : Tofaş AŞ - Arge Bölümü Motor Ömür Deneyi)

MOTOR OLÇÜM SONUC RAPORU

MOTOR MODELİ	UNO-S	OPERATOR	0.00000
MOTOR NUMARASI	Y.F.P.32	DENETLEYEN	0.00000
DENEY ADI	GUCYAK	SİLINDİR SAYISI	4.0000
OLCME DOSYASI ISMI :		TOPL.SİLIND.HACMI CC	1400.00
GUCYAK.....		TARIH	27-MAR-96 13:46:24

13:46:24 NUMERO DI CICLO: 1

Cnum	ZAMAN	DEVIR	KG	P.CV CON.SPE.	BH	LITRI P.CV.COR	MT YAG SCK, SU GIRIS SU CIKIS HAVA SCK YAG EAS.									
	S:DK	1/MIN	KG	CV	G/CVH	KG/H	L/H	CV	KGM	DERECE	DERECE	DERECE	DERECE	BAR		
13:46:28 SEMIAUTOMATICO																
13:46:28 AUTOMATICO																
10	721.5	13.47	EKS02 GAZ SICAKLIĞI	6310	11.2	70.7	237	16.77	22.4	71.2	8.0	97	74	85	21	4.5
9	730.5	13.49	6060	11.8	71.7	227	16.29	21.8	72.3	8.5	103	68	87	21	4.4	
18	726.2	13.51	5806	12.0	69.8	227	15.84	21.2	70.4	8.6	102	80	89	21	4.5	
17	709.5	13.52	5556	12.4	69.0	226	15.59	20.9	69.5	8.9	101	65	87	21	4.7	
16	703.3	13.54	5301	13.0	68.8	220	15.11	20.2	69.4	9.3	99	72	88	21	4.7	
15	698.2	13.56	5050	13.5	68.2	217	14.86	19.8	68.7	9.7	100	76	87	21	4.7	
4	692	13.57	4800	14.1	67.5	212	14.32	19.2	68.1	10.1	102	66	87	21	4.6	
13	677.5	13.59	4545	14.5	65.0	208	13.72	18.4	66.6	10.4	98	83	90	21	4.8	
2	660.9	14.01	4293	14.9	64.1	205	13.15	17.5	64.7	10.7	99	65	86	21	4.6	
11	640.9	14.02	4041	15.2	61.3	205	12.55	16.8	61.9	10.9	101	78	91	21	4.6	
0	611.2	14.04	3787	15.3	58.0	205	11.89	15.9	58.5	11.0	102	69	86	21	4.6	
9	595.7	14.06	3537	15.1	53.3	212	11.30	15.1	53.8	10.8	103	71	89	21	4.4	
8	496.4	14.07	3285	14.9	49.0	215	10.53	14.1	49.4	10.7	102	66	85	21	4.2	
7	475.6	14.09	3033	14.6	44.2	223	9.85	13.2	44.6	10.4	101	82	89	21	4.0	
6	454.1	14.11	2782	14.3	39.9	226	8.99	12.0	40.2	10.3	101	60	84	21	3.8	
5	448.8	14.12	2528	14.3	36.0	223	8.04	10.8	36.3	10.2	99	72	85	21	3.7	
4	462.9	14.14	2277	14.4	32.7	206	6.74	9.0	33.0	10.3	98	81	90	21	3.4	
3	452.9	14.16	2027	14.3	29.0	196	5.69	7.6	29.2	10.2	96	56	85	21	3.2	
2	416.6	14.17	1775	13.8	24.5	211	5.18	6.9	24.7	9.9	94	64	85	21	3.0	
1	353.1	14.19	1523	12.6	19.6	229	4.48	6.0	19.7	9.2	93	73	86	21	3.0	

14:19:48 FINE PROVA

PROVA ZAMANI SAAT:DK.: 0:33

TABLO 3. 2 A/F oranı 15 alınarak oluşturulan kapasite bilgileri.

KONUM	<i>Tork</i>	<i>Texh</i>	<i>mfuel</i>	<i>mhava</i>	<i>mexh</i>
	<i>yük</i> <i>N/m</i>	<i>egzost gazi</i> <i>sıcaklığı (C)</i>	<i>yakıt debisi</i> <i>kg/s (exp -3)</i>	<i>hava debisi</i> <i>kg/s (exp -3)</i>	<i>egzost debisi</i> <i>kg/s (exp -3)</i>
20	78,48	721,5	4,66	69,9	74,56
19	83,4	730,5	4,53	67,9	72,43
18	84,3	726,2	4,4	66	70,4
17	87,3	709,5	4,33	64,9	69,23
16	91,2	703,3	4,19	62,8	66,99
15	95,2	698,2	4,11	61,6	65,71
14	99,1	692	3,98	59,7	63,68
13	102	677,5	3,81	57,1	60,91
12	105	660,9	3,65	54,7	58,35
11	106,9	640,9	3,49	52,3	55,79
10	107,9	611,2	3,3	49,5	52,8
9	105,9	555,7	3,14	41,7	50,24
8	105	496,4	2,93	43,9	46,83
7	102	475,6	2,74	41,1	43,84
6	101	454,1	2,5	37,5	40
5	100	448,8	2,23	34,9	37,13
4	101	462,9	1,87	28	29,87
3	100	452,9	1,58	23,7	25,28
2	97,1	416,6	1,44	21,6	23,04
1	90,3	353,1	1,24	18,6	19,84

Tablo 3. 1'de yakıt debisi kg/h biriminde verilmiştir. Yakıt debisinin kg/s birimine çevirerek ve hava yakıt oranı 15 alınarak bulunan değerler Tablo 3. 2' de sunulmuştur. Ayrıca yakıt debisi ve hava debisinin toplamda egzoz debisini vermektedir.

3.2 YÖNTEM

Absorbsiyonlu Soğutma Sisteminin termodinamik analizi Bölüm 2. 3'de açıklanmıştır. Kaynاتıcı dizaynı ve soğutma kapasitesi hesaplarına geçmeden önce egsoz gazının farklı sıcaklıklardaki termofiziksel özelliklerinin saptanması gerekmektedir.

Araç motorunda yakıt olarak normal benzin kullanılmaktadır. Normal benzinin kimyasal özelliklerinden ve yanma denkleminden yararlanarak elde edilen egsoz gazının termo-fiziksel özellikleri Tablo 3. 3'de, kullanılan yöntem ise Ek A'da sunulmuştur.

TABLO 3.3 Egsoz gazının termofiziksel özellikleri

KONUM	C _p Özgül Isı Kj/kg.K	ρ Yoğunluk kg/m ³	μ Dinamik Vizkozite N.s/m ² (exp -5)	k Isıl İletkenlik W/m.K (exp -3)	v Kinematik Vizkozite m ² /s (exp -6)
1	1,1649	0,5859	2,87343	45,191	51,714
2	1,1791	0,5358	3,0552	48,63	59,864
3	1,1967	0,50425	3,1854	51,079	66,445
4	1,1998	0,49758	3,2185	51,6483	68,0078
5	1,1955	0,50746	3,17715	50,851	65,8184
6	1,2	0,50358	3,1919	51,136	66,6
7	1,2041	0,48823	3,25946	52,4454	70,197
8	1,2101	0,47583	3,31723	53,5305	73,304
9	1,2284	0,44083	3,4889	56,859	83,047
10	1,2456	0,41095	3,6457	60	92,446
11	1,2545	0,39588	3,728	61,03	97,57
12	1,2603	0,38645	3,7822	62,805	101,107
13	1,2648	0,3789	3,826	63,72	103,95
14	1,269	0,3779	3,8665	64,578	106,6
15	1,271	0,3691	3,883	64,92	107,65
16	1,2724	0,3664	3,897	65,22	108,6
17	1,2741	0,3634	3,914	65,58	109,69
18	1,2792	0,3547	3,96	66,57	112,77
19	1,2801	0,354	3,972	66,78	113,43
20	1,2773	0,358	3,947	66,23	111,8

3. 2. 1 KAYNATICI DİZAYNI

Kaynaticı dizaynı ve hesaplamaları Ek B'de sunulmuştur. Egsoz borusunun ölçülerine göre, tek geçişli ve kanatlı borulu ısı eşanjörü şeklinde düşünülen kaynaticının farklı egsoz sıcaklıklarına göre düzenlenen kapasite bilgileri Tablo 3. 4'de gösterilmiştir. Egsoz gazı ideal ısı transfer kapasitesi, egsoz gazı sıcaklığının kaynaticı tarafından ortam sıcaklığına kadar düşürülebileceği varsayılarak hesaplanmıştır.

$T_{exh,i}$; Kaynaticı giriş egsoz gazı sıcaklığı (K)

$T_{exh,o}$; Kaynaticı çıkış egsoz gazı sıcaklığı (K)

ΔT ; Kaynaticı giriş -çıkış egsoz gazı sıcaklık farkı (K)

Q_{kay} ; Kaynaticı ısı transfer kapasitesi (W)

$Q_{exh,ideal}$; Egzos gazı ideal ısı transfer kapasitesi (W)

TABLO 3. 4 Kaynaticı ısı transfer kapasiteleri

KONUM	$T_{exh,i}$ K	$T_{exh,o}$ K	ΔT K	Q_{kay} W	$Q_{exh,ideal}$ W
1	626,1	455,77	170,33	3934,3	7536
2	689,6	487	202,6	5508,3	10584
3	725,9	508,6	217,3	6575,8	12884
4	735,9	533,8	202,1	7244,5	15621
5	721,8	539,72	182,08	8091,2	18723
6	727,1	532,4	194,7	9340,6	20500
7	748,5	537,8	210,7	11447	23675
8	769,4	529,5	239,9	13494	26600
9	828,7	562,8	265,9	16409	32628
10	884,2	587,48	296,72	19514	38421
11	913,9	598	315,9	22106	42966
12	933,9	600	333,9	24507	46616
13	950,5	607	343,5	26451	50114
14	965	610,9	354,1	28607	53738
15	971,2	611	360,2	30005	56057
16	976,3	612	364,3	31026	57646
17	982,5	614	368,5	32495	60200
18	999,2	622	377,2	33861	62967
19	1003,5	626,4	377,1	34954	65227
20	994,5	615	379,5	36084	66141

3. 2. 2 SOĞUTMA KAPASİTESİNİN HESAPLANMASI

Absorbsiyonlu Soğutma Sisteminin, soğutma kapasitesini hesaplarken öncelikle sistemde geçerli olan bir takım kabul değerlerinden söz etmemiz gereklidir.

Bilindiği gibi klima sistemlerinde dikkat edilecek ilk husus, iklimlendirilecek mahaldeki konfor şartlarıdır. Yapılan araştırmalar göstermiştir ki; insan için geçerli olan konfor sıcaklık değerleri 18 ila 22° C arasındadır. Araştırmada araç içi sıcaklığının 20° C olması öngörülümüştür. Dolayısıyla buharlaştırıcı giriş ve çıkış sıcaklıklarını ortam sıcaklığının 5° C altında, yani $T_{buh} = 15^{\circ}\text{C}$ olacağı düşünülmüştür.

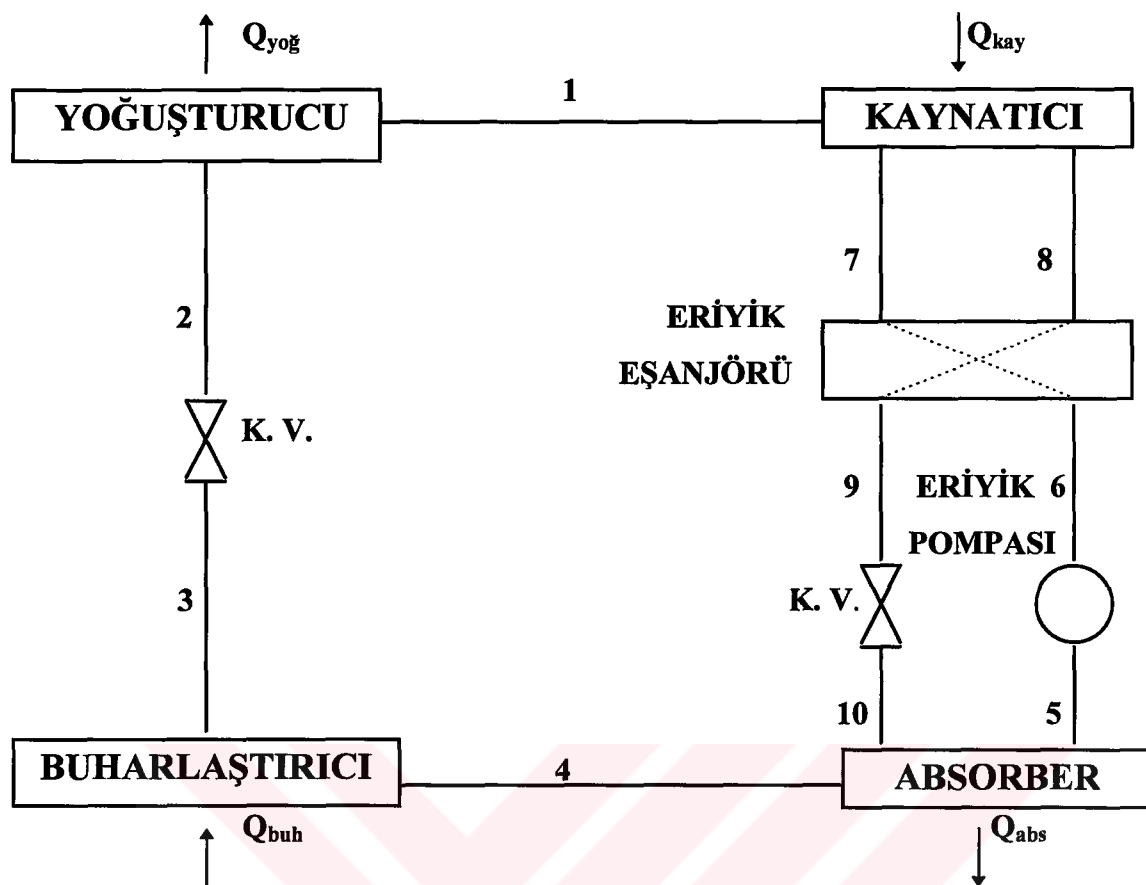
Kaynاتıcı ısı transfer kapasitesi hesaplanırken de, sistemin özelliğinden dolayı soğutucu akışkan kaynاتıcı çıkış sıcaklığı, 90° C alınmıştır. $T_{kay} = 90^{\circ}\text{C}$

Sistemdeki absorber ve yoğunturucu hava soğutmalı olduğundan ve buradan geçen soğutucu akışkanın en fazla ortam sıcaklığına kadar soğutulabileceği düşünülürse soğutucu akışkan buharlaştırıcı ve absorber çıkış sıcaklıklarını ise $T_{abs} = T_{yog} = 35^{\circ}\text{C}$ alınabilir.

Tüm bu kabul değerleri ve Bölüm 2. 3' de açıklanan Absorbsiyonlu Soğutma Sisteminin termodinamik analizi doğrultusunda sistemin soğutma kapasitesinin hesaplanması mümkündür.

Bölüm 2. 3'de açıklanan sistemin termodinamik analizinde, sistemdeki ısı eşanjörlerini kapasite hesaplarında kullanılan entalpi değerleri, sistemin o noktadaki konsantrasyon bilgileri ile bulunur. Sistemdeki konsantrasyon bilgilerinin ve entalpi değerlerinin bulunmasında kullanılan Tablo ve Diyagramlar Ek F' de sunulmuştur.

Soğutma kapasitesi örnek hesabında, Konum 7'deki kaynataıcı ısı transfer kapasite bilgileri kullanılmıştır.



NOKTA 1 : $T_1 = T_{kay} = 90^\circ\text{C}$

$$P_1 = P_{\max}, T=35^\circ\text{C} \text{ DOYMA BASINCI} = 5,622 \text{ kPa} \Leftrightarrow h_1 = 2669 \text{ kJ/kg}$$

Kızgın Buhar

NOKTA 2 : $T_2 = T_{yoğ} = 35^\circ\text{C}$

$$P_2 = P_1 = P_{\max} = 5,622 \text{ kPa} \Leftrightarrow h_2 = 146,6 \text{ kJ/kg}$$

Doymuş Sıvı ($x = 0$)

NOKTA 3 : $T_3 = T_{buh} = 15^\circ\text{C}$

$$P_3 = P_{\min}, T=15^\circ\text{C} \text{ DOYMA BASINCI} = 1,704 \text{ kPa} \Leftrightarrow h_3 = 146,6 \text{ kJ/kg}$$

$h_3 = h_2$ (KV , $h = \text{sabit}$)

NOKTA 4 : $T_4 = T_{buh} = 15^\circ\text{C}$

$$P_4 = P_{\min} = 1,704 \text{ kPa} \Leftrightarrow h_4 = 2528 \text{ kJ/kg}$$

Doymuş Buhar ($x = 1$)

NOKTA 5 ; $T_5 = T_{abs} = 35^\circ C$

$$P_5 = P_{min} = 1,704 \text{ kPa} = 12,78 \text{ mmHg} \Leftrightarrow X_f = 48,75\%, h_5 = 70 \text{ kJ/kg}$$

LiBr - Su

NOKTA 8 ; $T_8 = T_{kay} = 90^\circ C$

$$P_8 = P_{max} = 5,622 \text{ kPa} = 42,16 \text{ mmHg} \Leftrightarrow X_z = 64,5\%, h_8 = 232 \text{ kJ/kg}$$

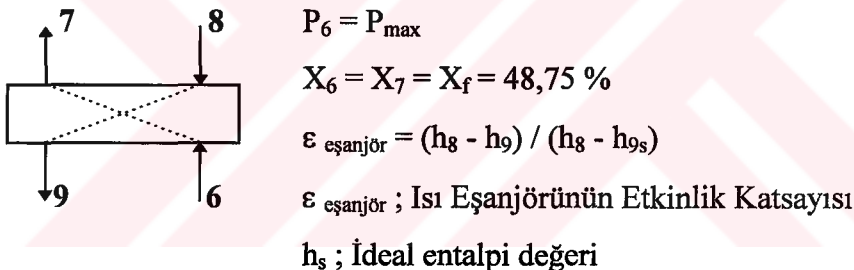
LiBr - Su

Dolaşım oranları $WZ = m_8 / m_1$ ve $WF = m_7 / m_1$ olmak üzere ve $X_7 = X_5 = X_f$ ve $X_9 = X_8 = X_z$ eşitliğinden;

$$WZ = X_7 / (X_8 - X_7) = X_f / (X_z - X_f) = 48,75 / (64,5 - 48,75) \Rightarrow WZ = 3,095$$

$$WF = X_8 / (X_8 - X_7) = X_z / (X_z - X_f) = 64,5 / (64,5 - 48,75) \Rightarrow WF = 4,095$$

NOKTA 9 ;



9 Noktasından ısı eşanjörünü terkeden soğutucu akışkanın sıcaklığı en fazla 6 noktasındaki sıcaklık değerine kadar düşeceği öngörlerek $T_9 = T_6$ ve $T_9 = 35^\circ C$ olarak kabul edilir ve 9 noktasının gerçek değerleri hesaplanabilir. Ayrıca ısı eşanjörünün etkinlik katsayıısı da 0,8 olarak kabul edilmiştir.

$T_9 = 35^\circ C$ Şekil 4. 3'den bulunur.

$$X_9 = X_z = 64,5\%$$

$$h_{9s} = 150 \text{ kJ/kg}$$

$$\epsilon_{eşanjör} = 0,8$$

$$\epsilon_{eşanjör} = (h_8 - h_9) / (h_8 - h_{9s}) \Rightarrow 0,8 = (232 - h_9) / (232 - 150)$$

$$h_9 = 166,4 \text{ kJ/kg}$$

$X_9 = X_z = 64,5\%$ ve $T_9 = 54^\circ C$ bulunur.

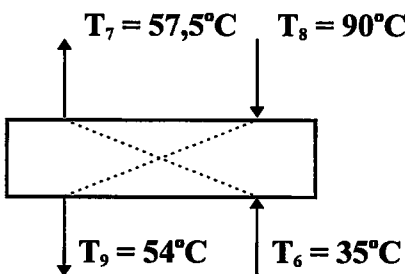
NOKTA 7 ; Isı Eşanjörü LiBr - Su Dolaşım Oranları dengesi ;

$$WF \cdot (h_7 - h_6) = WZ \cdot (h_8 - h_9)$$

$$4,095 \cdot (h_7 - 70) = 3,095 \cdot (232 - 166,4) \Rightarrow h_7 = 119,58 \text{ kJ/kg}$$

ve $X_7 = X_f = 48,75\%$ olduğundan $T_7 = 57,5^\circ\text{C}$ bulunur.

Sonuçta ısı eşanjörü giriş ve çıkış sıcaklıklarını şu şekildedir;



Ayrıca Sistemin özelliğinden dolayı;

$$h_6 = h_5 = 70 \text{ kJ/Kg} \text{ ve } h_{10} = h_9 = 166,4 \text{ kJ/kg} \text{ dır.}$$

SOĞUTUCU AKIŞKAN VE ERİYİK DEBİLERİNİN HESAPLANMASI

Soğutucu akışkan debisinin hesaplanması termodinamiğin I. kuralının kaynاتıcıya uygulanmasından yararlanacağız. Denklem (2. 8) hatırlandığında,

$$Q_{\text{kay}} = m_1 h_1 + m_8 h_8 - m_7 h_7$$

ve denklemin her iki tarafı m_1 'e bölündüğünde eşitlik şu hali alır;

$$q_{\text{kay}} = h_1 + WZ h_8 - WF h_7 \quad \text{değerler yerlerine konulduğunda,}$$

$$q_{\text{kay}} = 2669 + (3,095) (232) - (4,095) (119,58)$$

$$q_{\text{kay}} = 2897,36 \text{ kJ/kg} \text{ bulunur.}$$

Aynı zamanda $q_{\text{kay}} = Q_{\text{kay}}/m_1$ Q_{kay} değeri bilindiğinde, m_1 hesaplanabilir.

$m_1 = Q_{\text{kay}} / q_{\text{kay}}$ ise ve $WZ=m_8/m_1$ ve $WF=m_7/m_1$ denklemelerinden;

$$m_1 = 3,9508 \times 10^{-3} \text{ kg/s.}$$

$$m_8 = 12,228 \times 10^{-3} \text{ kg/s.}$$

$$m_7 = 16,178 \times 10^{-3} \text{ kg/s. bulunur.}$$

3. 2. 3 SOĞUTMA YÜKÜ

Sistemin soğutma yükü, buharlaştırıcıda meydana gelen ısı transferi ile eşdeğerdir.

$$Q_{buh} = m_1 (h_4 - h_3)$$

$$Q_{buh} = 3,9508 \times 10^{-3} (2528 - 146,6) \Rightarrow Q_{buh} = 9,4084 \text{ kW.}$$

YOĞUŞTURUCU ISI TRANSFERİ

Hava soğutmalı yoğuşturucudan atılan ısı miktarı şu şekilde hesaplanabilir;

$$Q_{yog} = m_1 (h_2 - h_1) = 3,9508 \times 10^{-3} (146,6 - 2669) \Rightarrow Q_{yog} = 9,9647 \text{ kW.}$$

ABSORBER ISI TRANFERİ

Hava soğutmalı absorberden atılan ısı miktarı şu şekilde hesaplanabilir;

$$Q_{abs} = m_5 h_5 - m_4 h_4 - m_{10} h_{10} \text{ ve } m_{10} = m_8, m_5 = m_7 \text{ ve } m_4 = m_1 \text{ olmak üzere,}$$

$$Q_{abs} = (16,178 \times 10^{-3})(70) - (3,9508 \times 10^{-3})(2528) - (12,228 \times 10^{-3})(166,4)$$

$$Q_{abs} = 10,8899 \text{ kW.}$$

Isı transfer değerlerinin kontrolü enerji korunumu yardımıyla yapılabilir.

$$Q_{kay} + Q_{buh} = Q_{abs} + Q_{yog}$$

$$11,447 \text{ kW} + 9,4084 \text{ kW} = 10,8899 \text{ kW} + 9,9647 \text{ kW}$$

$$20,8554 \text{ kW} \approx 20,8546 \text{ kW}$$

SOĞUTMA TESİR KATSAYISI

Soğutma Tesir Katsayı Denklem (2. 29)'da belirtildiği üzere;

$$\text{COP} = \frac{Q_{\text{buh}}}{Q_{\text{kay}}} \quad \text{şeklinde ifade edilir.}$$

$$\text{COP} = \frac{Q_{\text{buh}}}{Q_{\text{kay}}} = \frac{9,4084 \text{ kW}}{11,447 \text{ kW}} \Rightarrow \text{COP} = 0,8219$$

Yukarıda açıklanan soğutma kapasitesi hesaplarının, diğer konum bilgileri kullanılarak tekrarlanması halinde elde edilecek bilgiler Tablo 3 .5 ve Tablo 3. 6'da sunulmuştur.

TABLO 3. 5 Konumlara göre akışkan debileri

KONUM	m_1 Soğutucu Akışkan Debisi kg/s (exp-3)	m_7 Fakir Eriyik Debisi kg/s (exp-3)	m_8 Zengin Eriyik Debisi kg/s (exp-3)
1	1,3579	5,5605	4,2026
2	1,9011	7,7852	5,8841
3	2,2696	9,294	7,0244
4	2,5	10,2375	7,7375
5	2,7677	11,334	8,5663
6	3,2238	13,201	9,9772
7	3,9508	16,178	12,2272
8	4,657	19,07	14,413
9	5,6634	23,191	17,5276
10	6,735	27,58	20,845
11	7,63	31,24	23,61
12	8,4584	34,637	26,1786
13	9,129	37,384	28,255
14	9,8738	40,432	30,5582
15	10,356	42,4	32,044
16	10,708	43,85	33,142
17	11,215	45,927	34,712
18	11,687	47,857	36,17
19	12,064	49,4	37,336
20	12,454	51	38,546

TABLO 3.6 Konumlara göre kapasite ve soğutma tesir katsayıları

KONUM	$Q_{yoğ}$ kW.	Q_{buh} kW.	Q_{abs} kW.	Q_{kay} kW.	COP
1	3,4252	3,2337	3,7429	3,9343	0,8219
2	4,7953	4,5273	5,2401	5,5083	0,8219
3	5,7248	5,4048	6,2557	6,5758	0,8219
4	6,306	5,9535	6,8911	7,2445	0,8217
5	6,9812	6,591	7,6287	8,0192	0,8219
6	8,1317	7,6771	8,886	9,3406	0,8219
7	9,9647	9,4084	10,8899	11,447	0,8219
8	11,7468	10,8758	12,8363	13,494	0,806
9	14,2854	13,4868	15,6103	16,409	0,8219
10	16,9883	16,0387	18,564	19,514	0,8219
11	19,2459	18,17	21,031	22,106	0,8219
12	21,3355	20,1428	23,3142	24,507	0,8219
13	23,027	21,74	25,163	26,451	0,82189
14	24,905	23,513	27,215	28,607	0,8219
15	26,123	24,662	28,545	30,005	0,8219
16	27,01	25,5	29,515	31,026	0,8219
17	28,289	26,707	30,912	32,495	0,8218
18	29,479	26,707	32,213	33,816	0,789
19	30,43	28,729	33,258	34,954	0,8219
20	31,414	29,658	34,327	36,084	0,8219

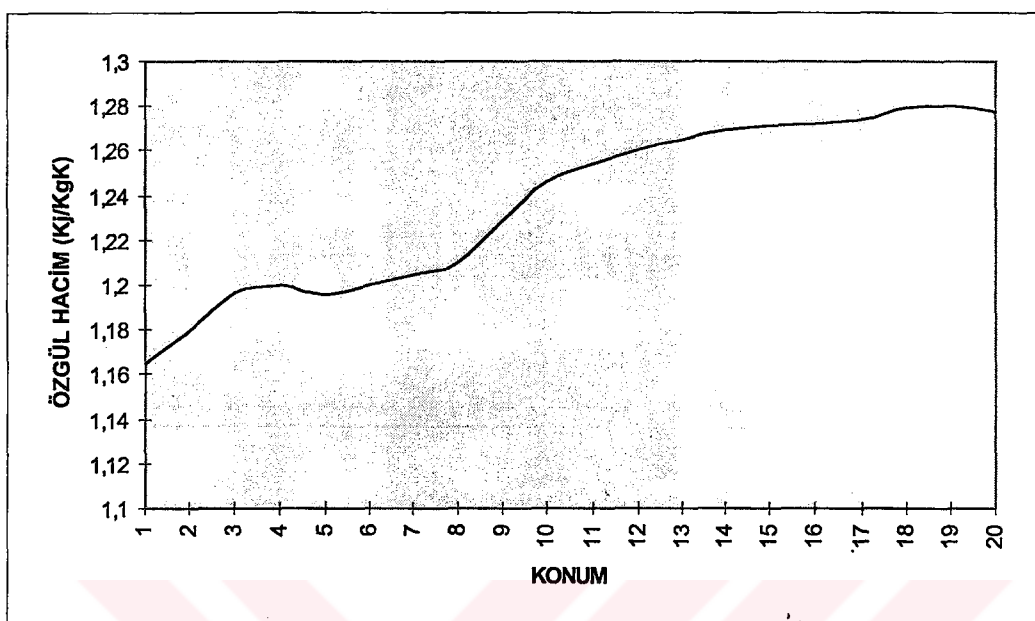
3.3 YÖNTEM SONUÇLARI

Absorbsiyonlu Soğutma Sisteminin analizi için gerekli olan bilgiler Konu 3. 2'de açıklanan yöntemlerle bulunur. Bu yöntemler sonucunda hazırlanan tablolardaki değerler sistemin kapasitesi hakkında bilgi verir.

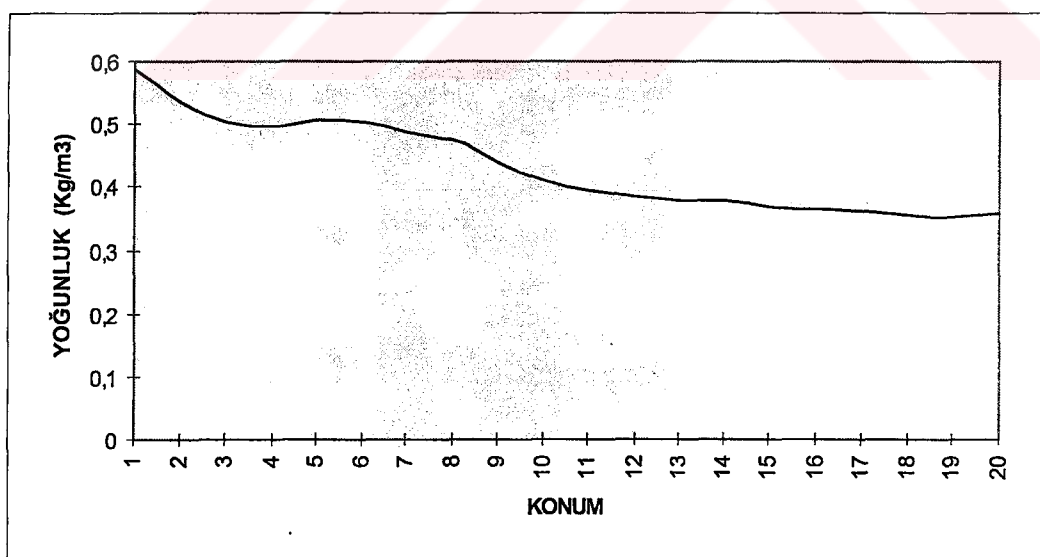
Sistem kapasitesinin daha net incelenmesi için farklı egsoz gazı sıcaklık ve motor devirlerinde ulaşılan değerler grafikler halinde sunulmuştur.

Bu grafiklerden elde edilecek sonuçlara göre, egsoz gazı sıcaklığı kullanılacak Absorbsiyonlu Soğutma Sisteminin araçlara uygulanabilirliği hakkında bilgi sahibi olabileceğiz.

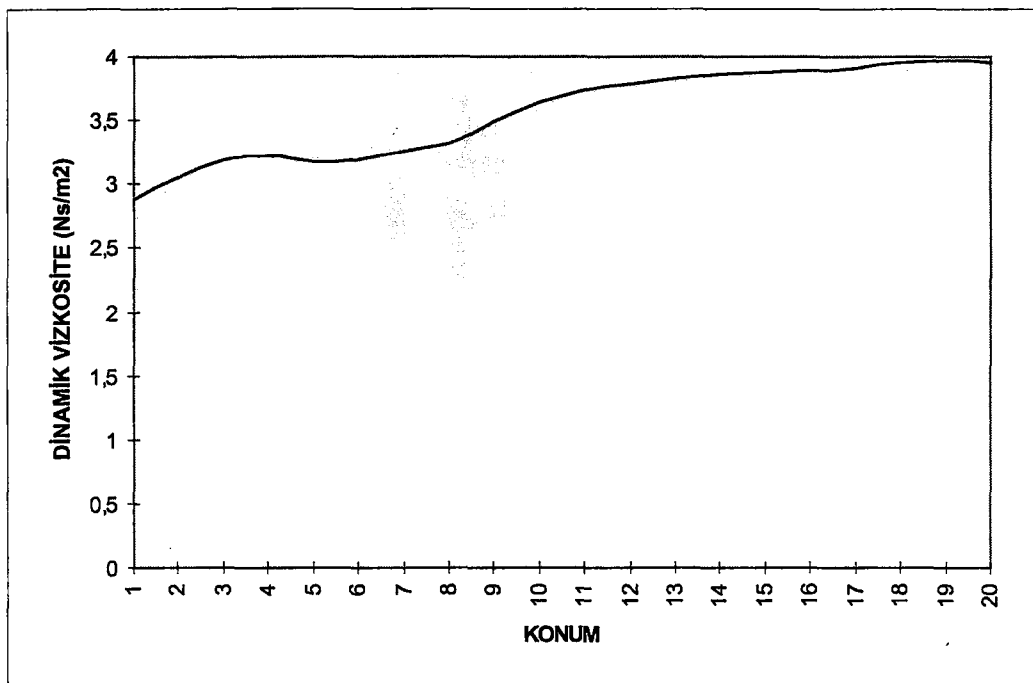
EGSOZ GAZI TERMO-FİZİKSEL ÖZELLİKLERİ;



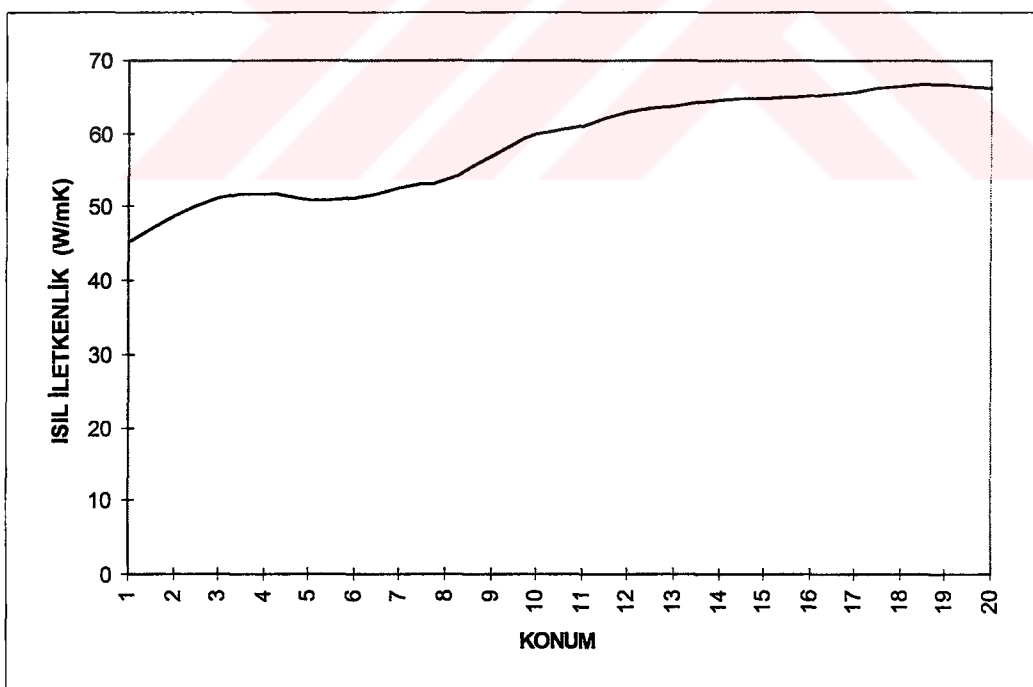
ŞEKİL 3.2 Özgül hacim (c_p) - Konum grafiği



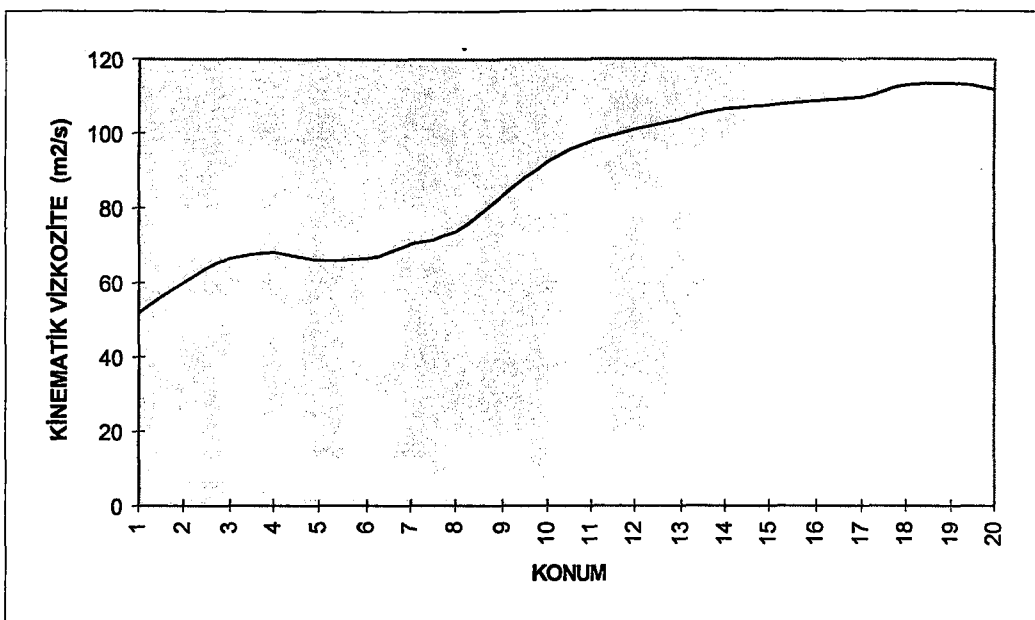
ŞEKİL 3.3 Yoğunluk (ρ) - Konum grafiği



ŞEKİL 3. 4 Dinamik vizkozite (μ) - Konum grafiği

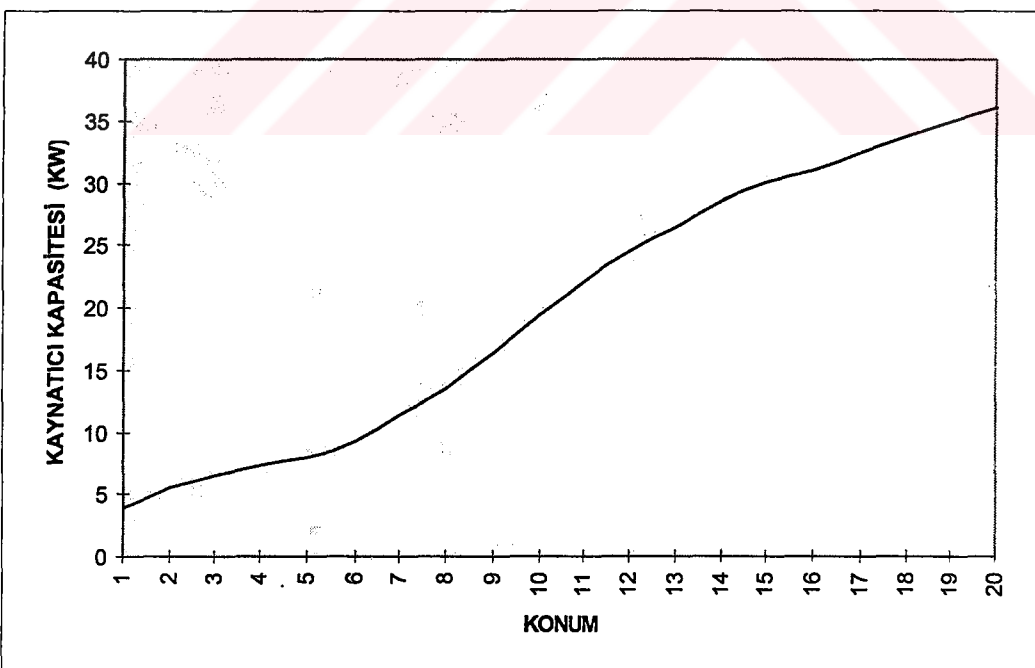


ŞEKİL 3. 5 Isıl iletkenlik (k) - Konum grafiği

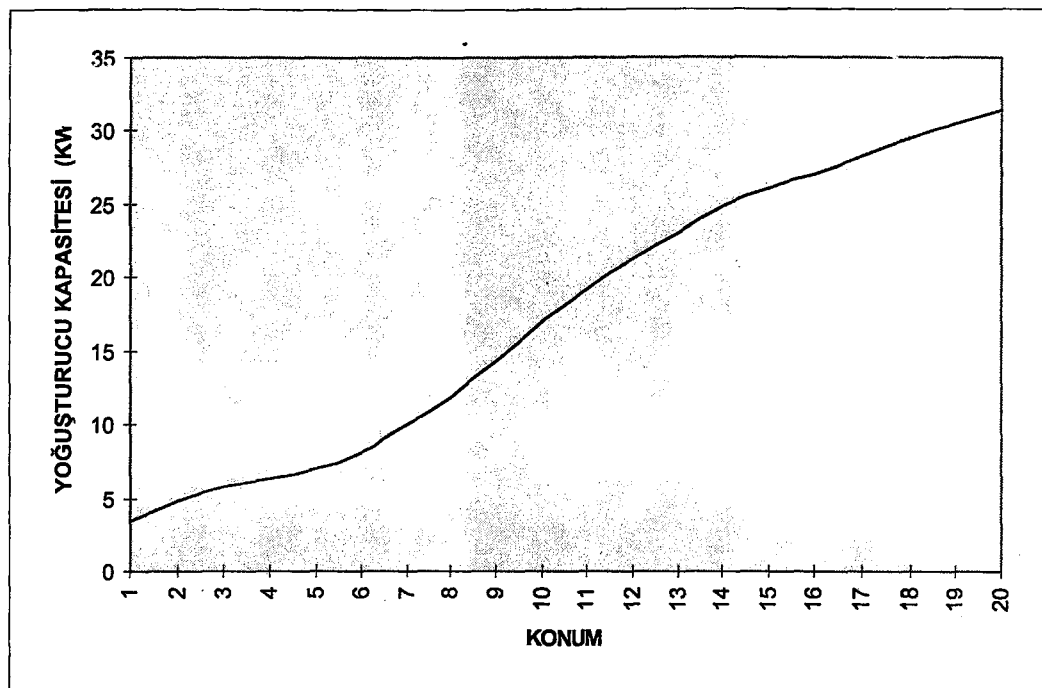


ŞEKİL 3.6 Kinematik vizkozite (v) - Konum grafiği

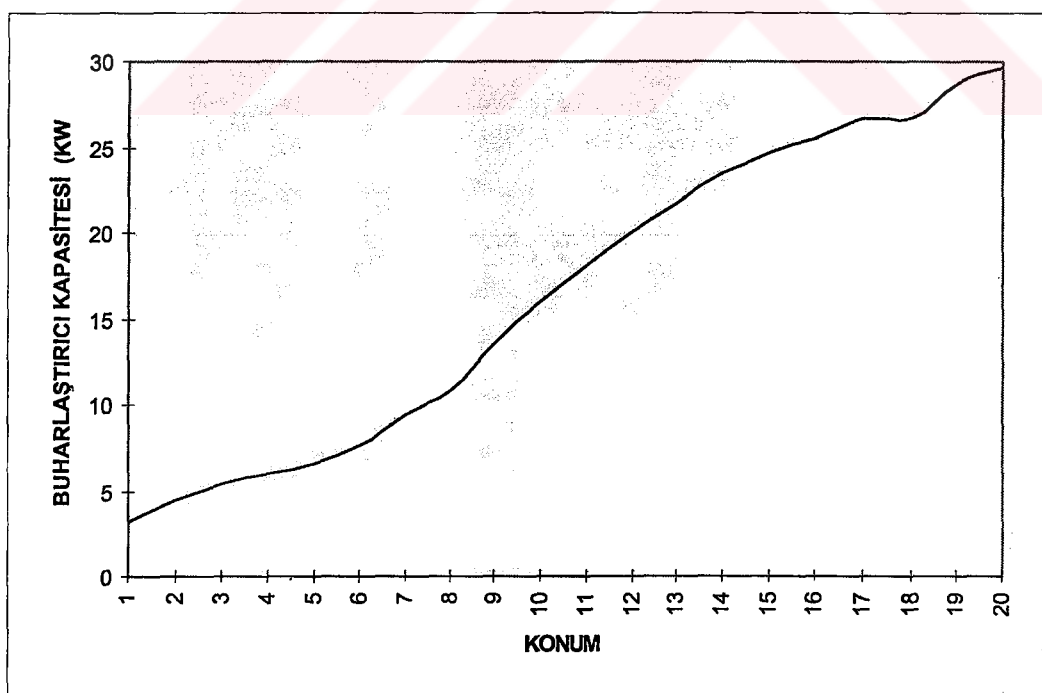
SİSTEM KAPASİTE BİLGİLERİ



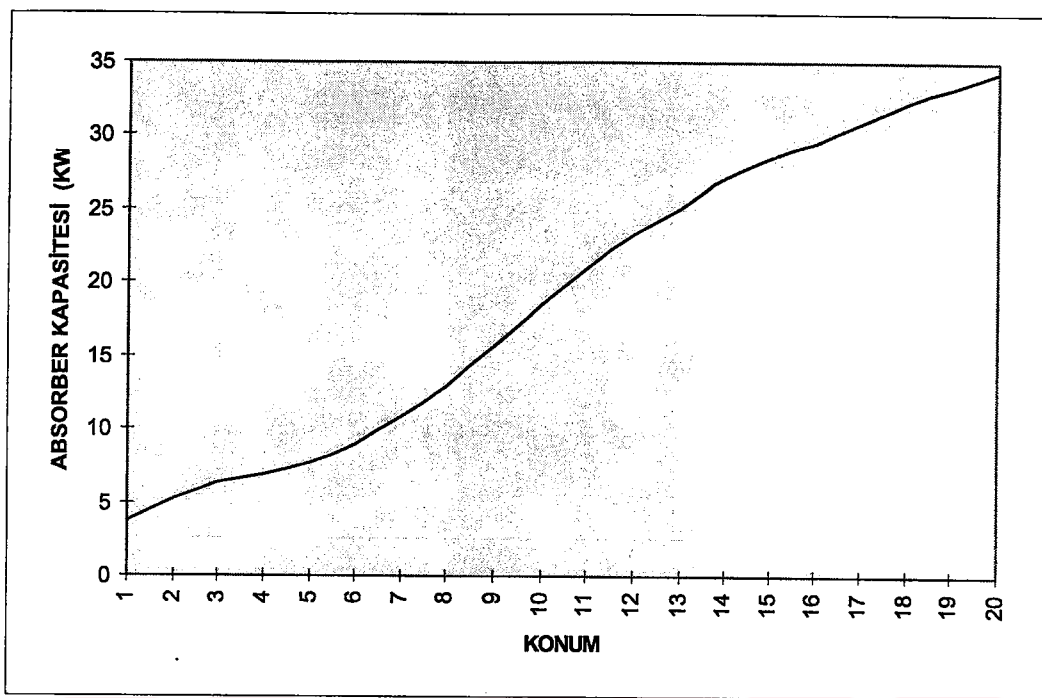
ŞEKİL 3.7 Kaynaticı kapasitesi (Q_{kay}) - Konum grafiği



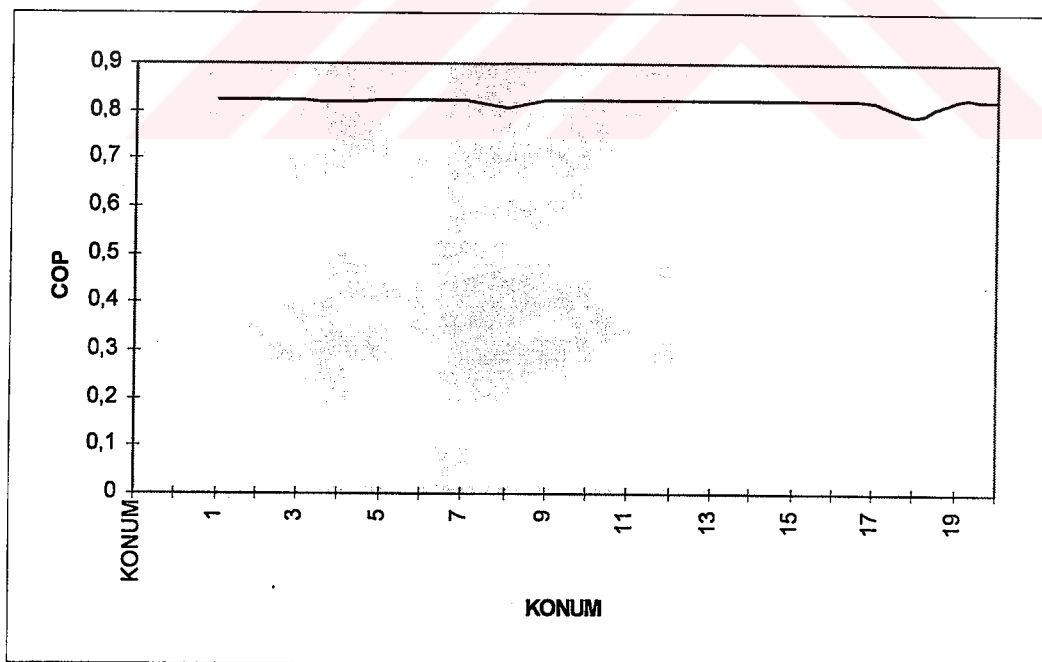
ŞEKİL 3. 8 Yoğunurucu kapasitesi (Q_{yog}) - Konum grafiği



ŞEKİL 3. 9 Buharlaştırıcı kapasitesi (Q_{buh}) - Konum grafiği

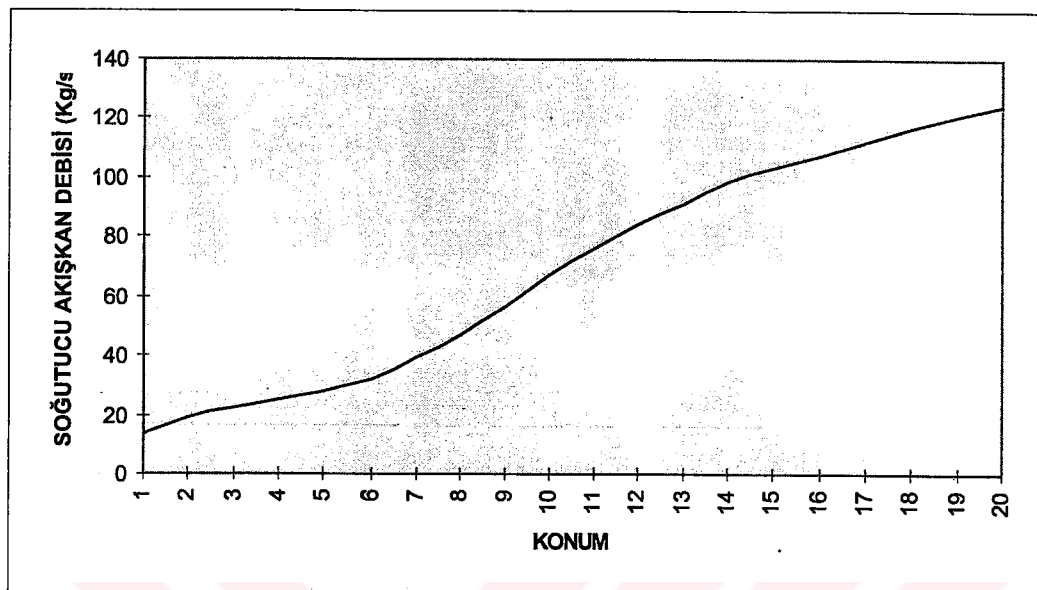


ŞEKİL 3.10 Absorber kapasitesi (Q_{abs}) - Konum grafiği

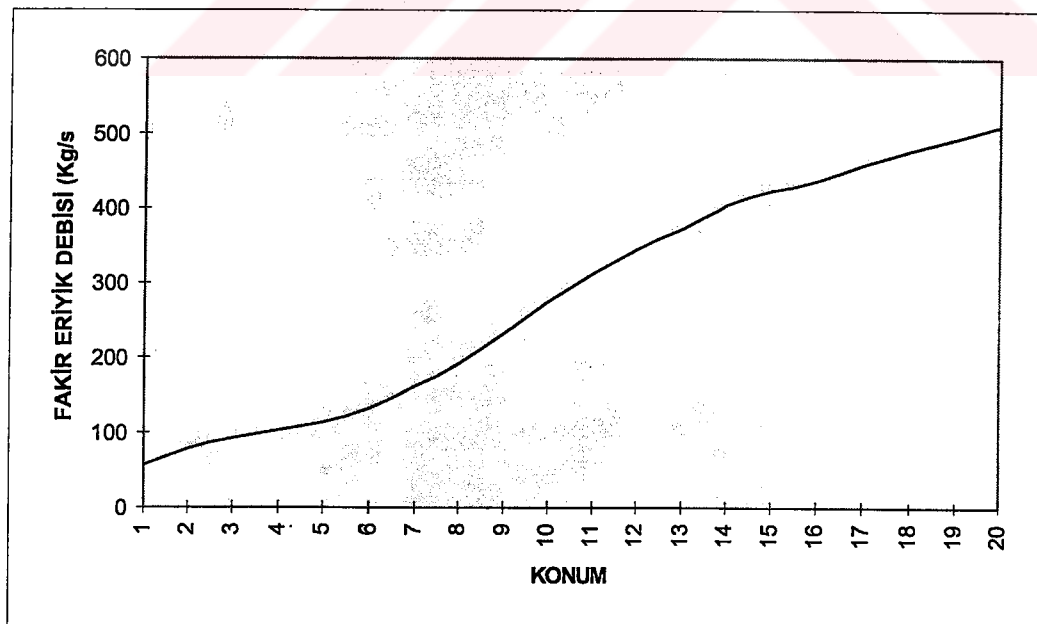


ŞEKİL 3.11 Soğutma tesir katsayısı (COP) - Konum grafiği

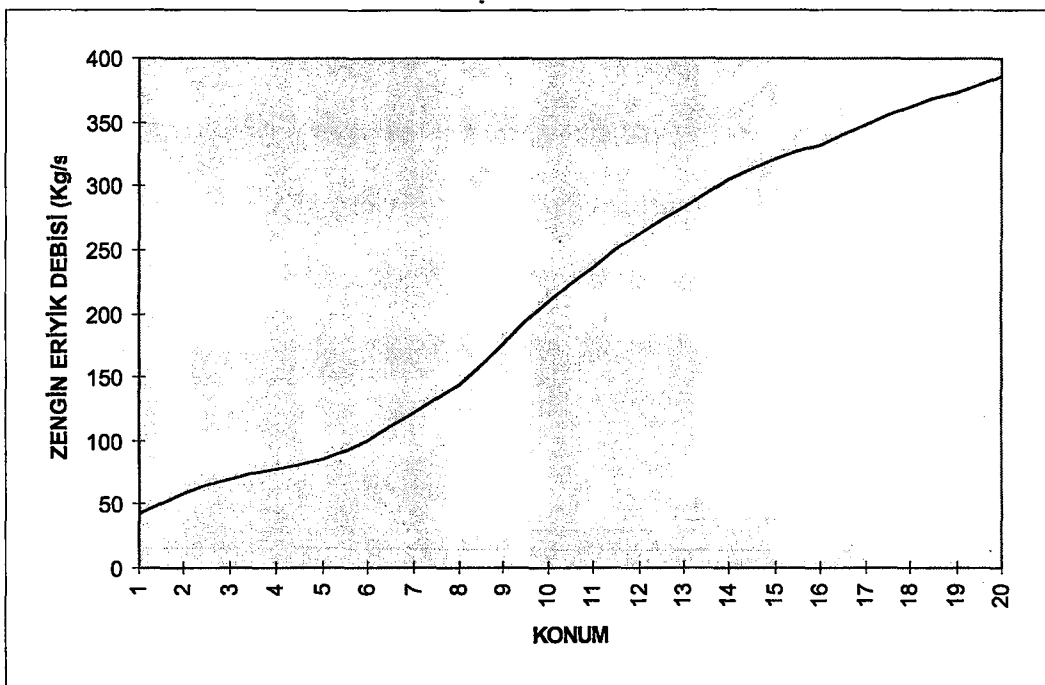
SOĞUTUCU AKIŞKAN - ERİYİK DEBİ BİLGİLERİ



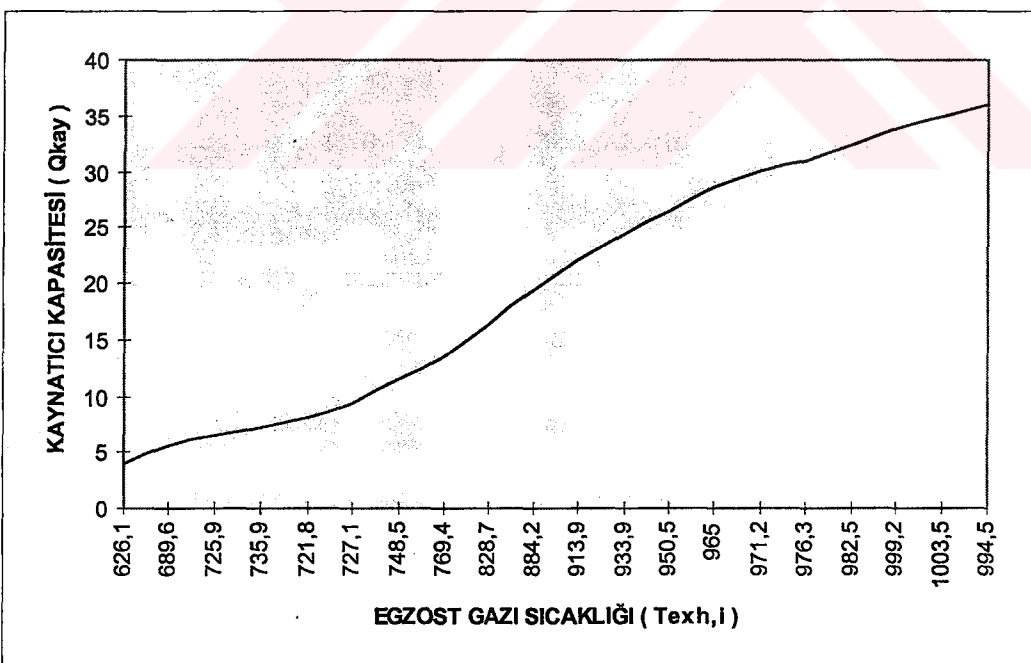
ŞEKİL 3. 12 Soğutucu akışkan debisi (m_1) - Konum grafiği



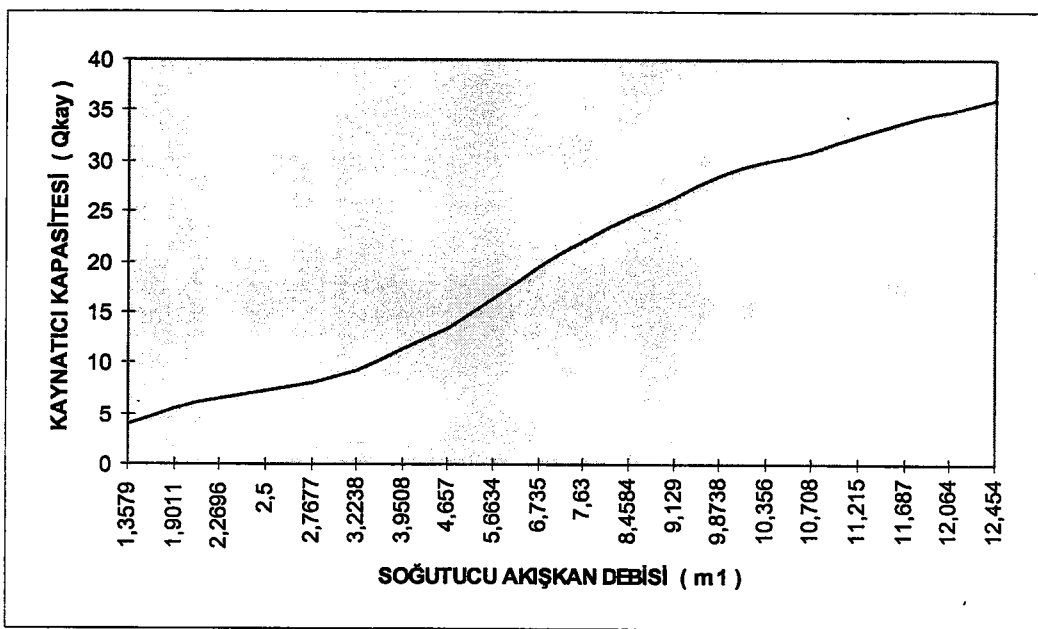
ŞEKİL 3. 13 Fakir eriyik debisi (m_7) - Konum grafiği



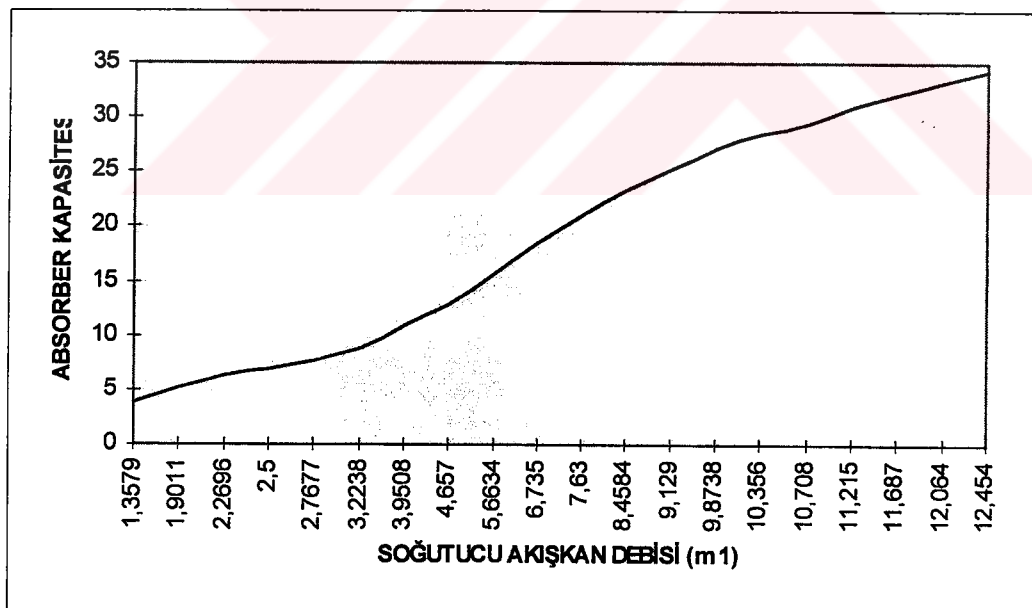
ŞEKİL 3.14 Zengin eriyik debisi (m_8) - Konum grafiği



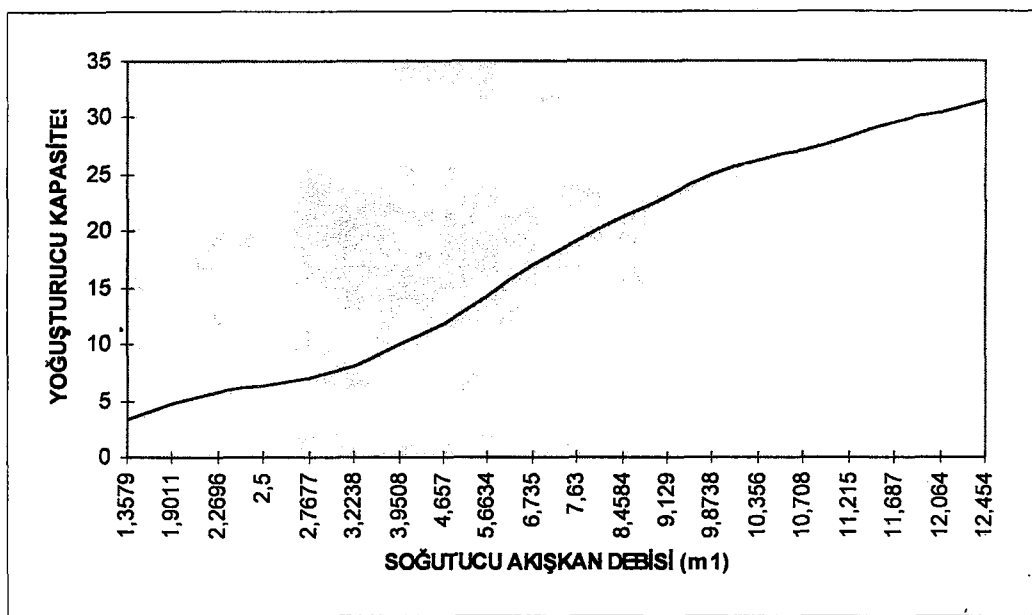
ŞEKİL 3.15 Kaynaticı kapasitesi (kW) - Egzoz gazı sıcaklığı (K)



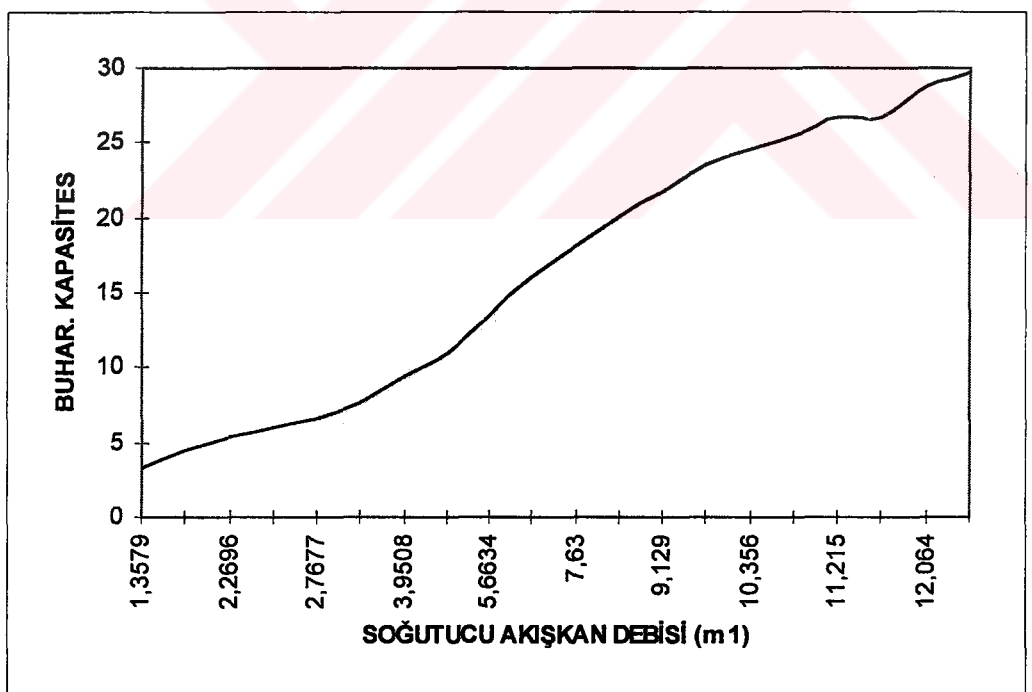
ŞEKİL 3. 16 Kaynaticı kapasitesi (kW) - Soğutucu akışkan debisi (kg/s)



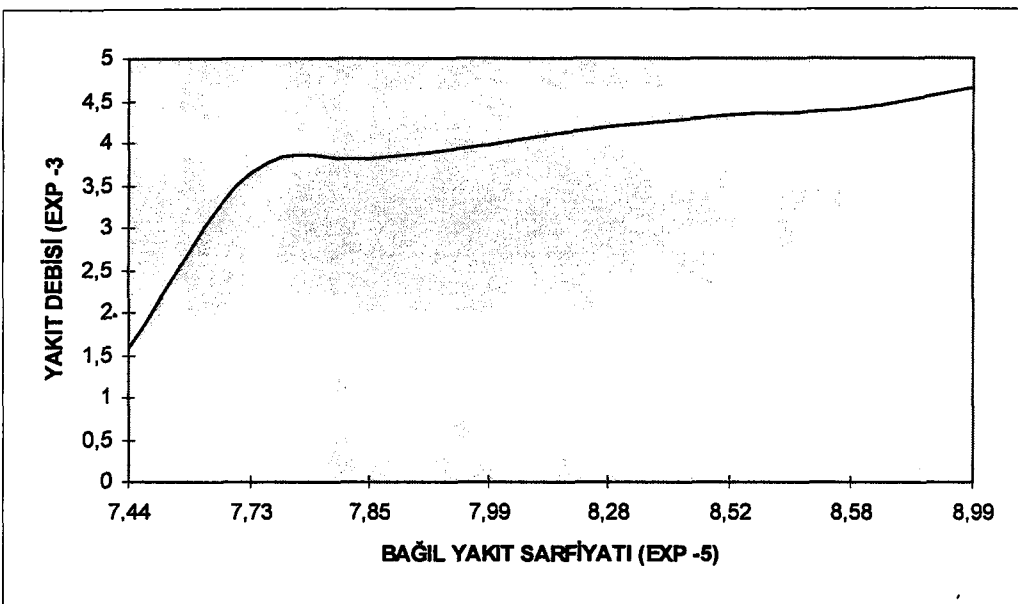
ŞEKİL 3. 17 Absorber kapasitesi (kW) - Soğutucu akışkan debisi (kg/s)



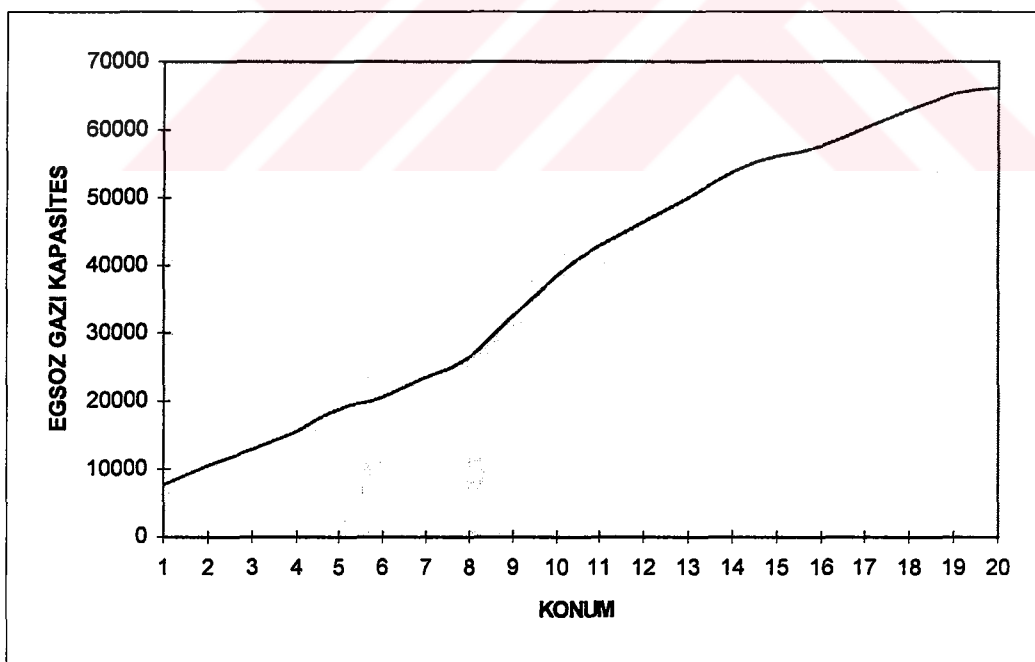
ŞEKİL 3. 18 Yoğunlaşırıcı kapasitesi (kW) - Soğutucu akışkan debisi (kg/s)



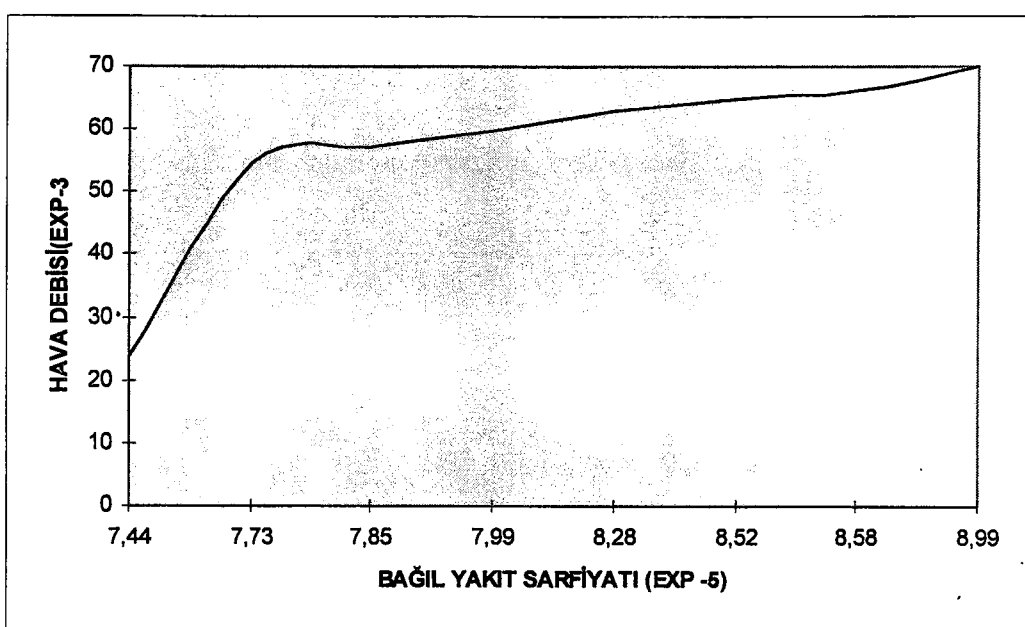
ŞEKİL 3. 19 Buharlaştırıcı kapasitesi (kW) - Soğutucu akışkan debisi (kg/s)



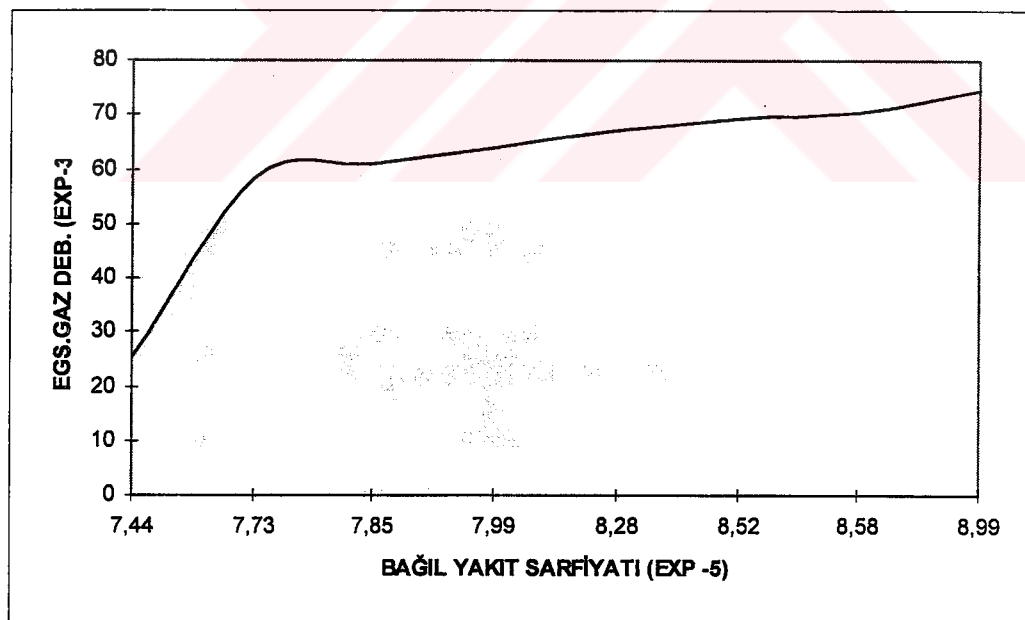
ŞEKİL 3.20 Yakıt debisi (kg/s) - Bağıl yakıt sarfiyatı (kg/kWs) grafiği



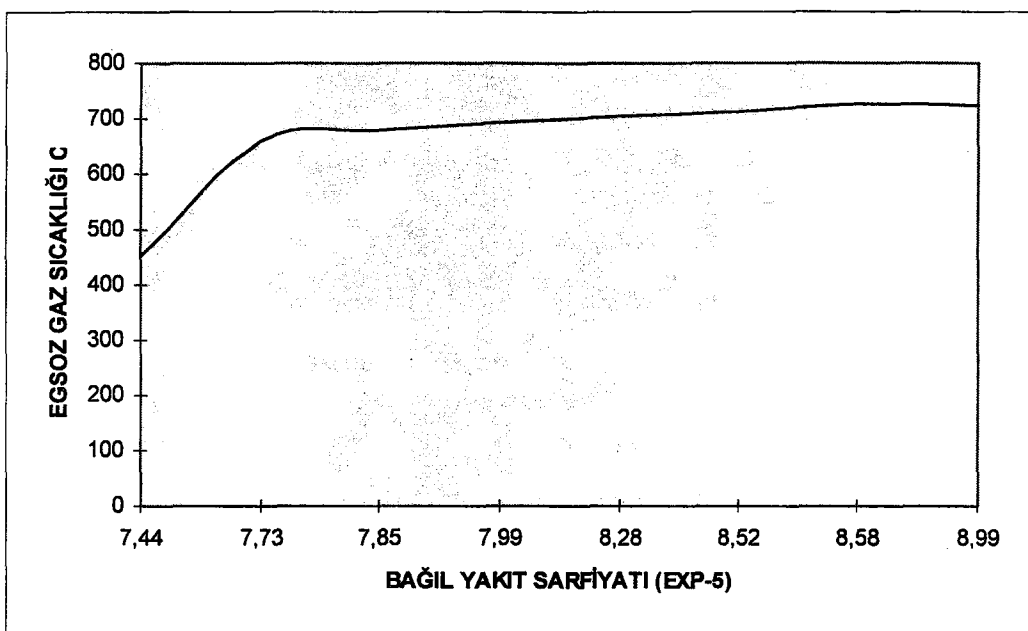
ŞEKİL 3.21 Egsoz gazi ideal ısı transfer kapasitesi - Konum grafiği



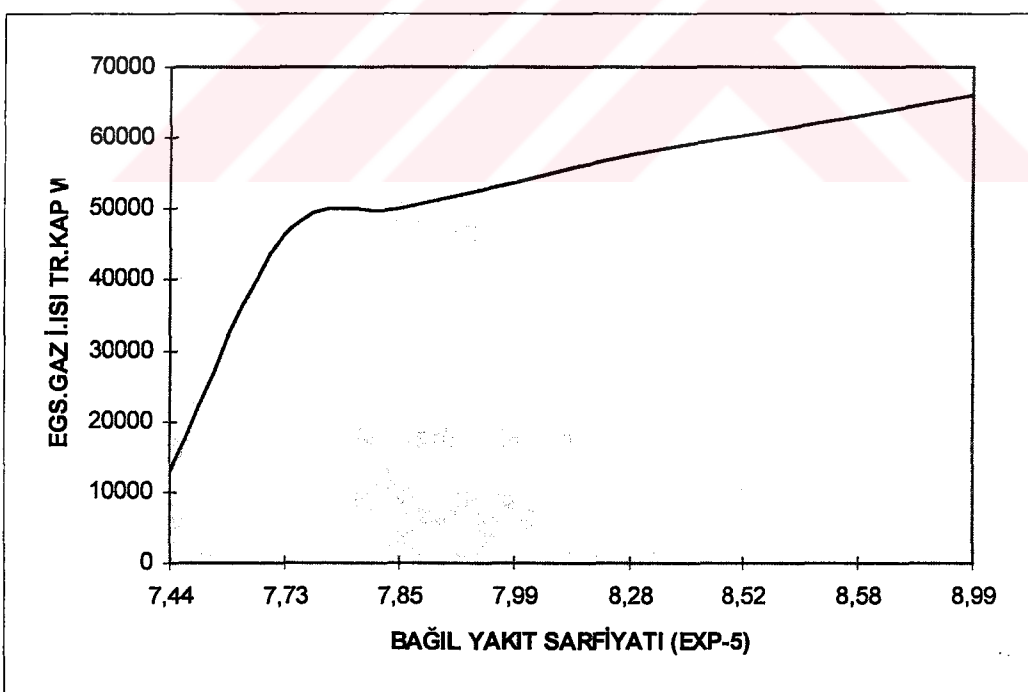
ŞEKİL 3.22 Hava debisi (kg/s) - Bağlı yakıt sarfiyatı (kg/kWs) grafiği



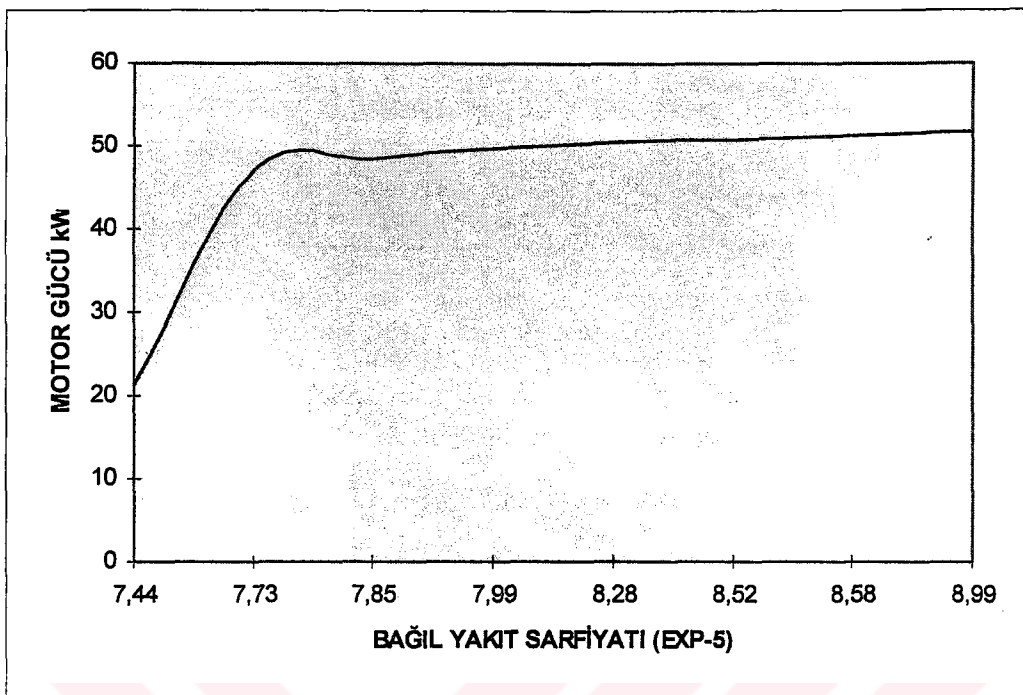
ŞEKİL 3.23 Egsoz gazi debisi (kg/s) - Bağlı yakıt sarfiyatı (kg/kWs) grafiği



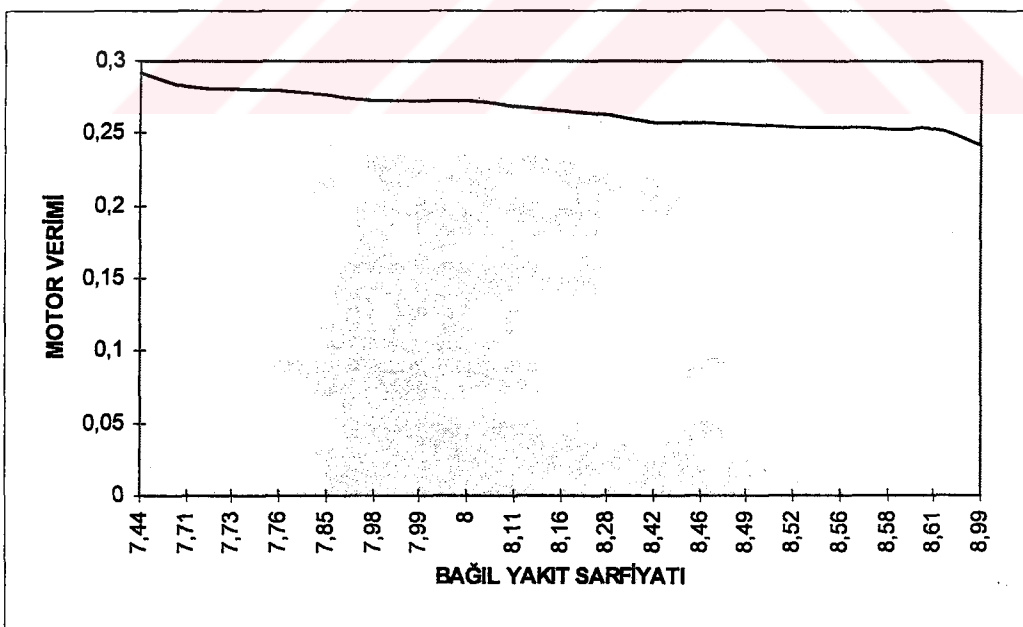
ŞEKİL 3. 24 Egsoz gazı sıcaklığı (C) - Bağlı yakıt sarfiyatı (kg/kWs) grafiği



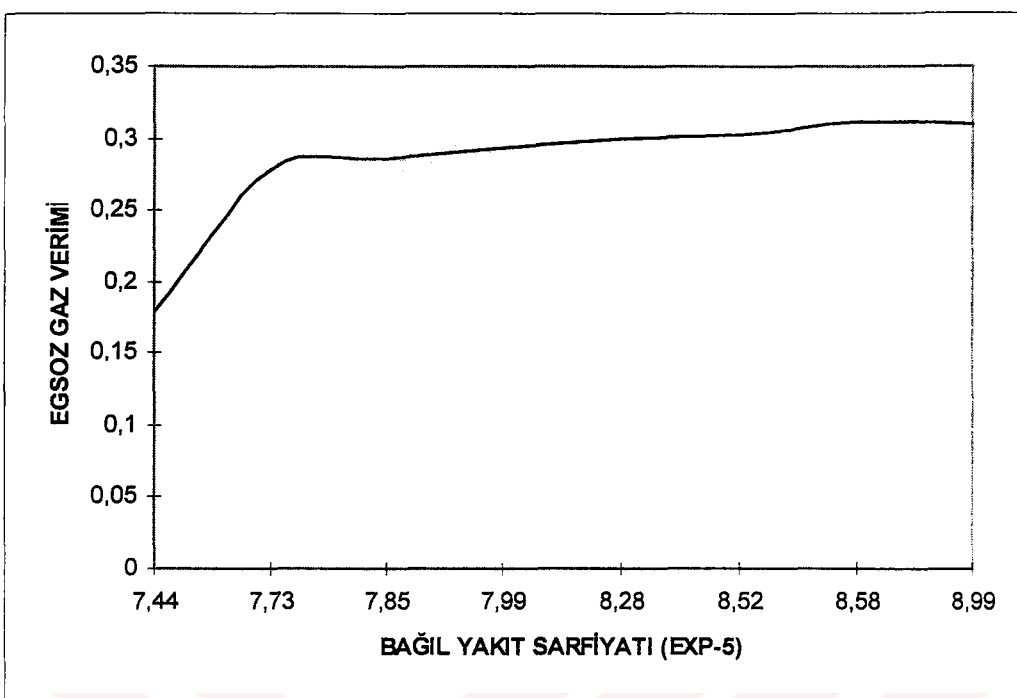
ŞEKİL 3. 25 Egsoz gazı ideal ısı transfer kapasitesi - Bağlı yakıt sarfiyatı grafiği



ŞEKİL 3. 26 Motor gücü (kW) - Bağlı yakıt sarfiyatı (kg/kWs) grafiği



ŞEKİL 3. 27 Motor verimi - Bağlı yakıt sarfiyatı (kg/kWs) grafiği



ŞEKİL 3. 28 Egsoz gazı verimi - Bağlı yakıt sarfiyatı (kg/kWs) grafiği

Şekil 3. 2, Şekil 3. 3, Şekil 3. 4, Şekil 3. 5 ve Şekil 3. 6'da egsoz gazının termofiziksel özelliklerinin konum değerlerine göre değişimi incelenmiştir. Ek A'da hesaplanan termo-fiziksel özelliklerde, egsoz gazındaki sıcaklık değişimine göre her konum değeri için ayrı değerler bulunmuştur. Tablo F. 5 deki atmosfer basıncındaki gazların termofiziksel özellikleri incelendiğinde, sıcaklık değişimlerine paralel olarak özgül hacim, dinamik viskozite, ısıl iletkenlik ve kinematik viskozite değerlerinde artış, yanızca yoğunluk değerinde düşüş görülür. Dolayısıyla söz konusu grafiklerde bu değerlerle paralellik gösterir.

Şekil 3. 7'de kaynاتıcı kapasitesinin konum değerlerine göre değişimi incelenmiştir. Konum değerleri ve egsoz gazı sıcaklığının orantılı olduğu düşünülsürse, kaynatacı kapasitesinin artışıda egsoz gazı sıcaklığının ve egsoz gazı debisinin artışı ile paralel olmuştur.

Şekil 3. 8, Şekil 3. 9 ve Şekil 3. 10'da sırasıyla yoğunsturucu, buharlaştırıcı ve absorber kapasitelerinin konum değerlerine göre değişimi incelenmiştir. Görüldüğü üzere tüm kapasite değerlerinin konum değerleri değişimi ile paralel olduğu görülür. Denklem 2. 19 daki Absorbsiyonlu Soğutma Sistemi enerji dengesi ve Denklem 2. 13 hatırlandığında, sistemin özelliğinden dolayı kaynacı kapasitesinin artışı, absorber, yoğunsturucu ve buharlaştırıcı kapasitelerinin artmasına sebep olduğu görülür. Bunun sebebide egzoz gazi sıcaklığının artmasıdır.

Şekil 3. 11'de sistemin soğutma tesir katsının konum değerlerine göre değişimi incelenmiştir. Grafikten görüldüğü üzere sistemin soğutma tesir katsayısı, egzoz gazi sıcaklığının artışına rağmen, sistemdeki enerji dengesinden dolayı sabit kalmıştır. Soğutma tesir katsayısı bilindiği üzere buharlaştırıcı ve kaynacı kapasitelerinin oranıdır. Her iki kapasite değeride egzoz gazi sıcaklığı değerindeki değişimle benzer oranda değiştiğinden COP değeri sabit kalmaktadır.

Şekil 3. 12, Şekil 3. 13 ve Şekil 3. 14'de soğutucu akışkan ve eriyik debilerinin konum değerlerine göre değişimi incelenmiştir. Görüldüğü üzere tüm debi değerleri, konum değerlerindeki değişim ile paralellik göstermiştir. Bunun nedeni ise sistem kapasite değerlerinin egzoz gazi sıcaklığına paralel olarak artışı ve ısı transferinin akışkan debisi ile doğru orantılı olmasıdır.

Şekil 3. 15'de kaynacı kapasitesinin, egzoz gazi sıcaklığına göre değişimi incelenmiştir. Şekil 3. 15 ve Şekil 3. 7 karşılaştırıldığında, grafikler arasında bir benzerlikten söz edilebilir. Bunun nedeni, konum değerlerindeki belirleyici faktörün egzoz gazi sıcaklığı olmasıdır. Ayrıca ısı transferinin sıcaklıkla doğru orantılı olduğu unutulmamalıdır.

Şekil 3. 16, Şekil 3.17, Şekil 3. 18 ve Şekil 3. 19'da sistem kapasite değerlerinin soğutucu akışkan debisine göre değişimi incelenmiştir. Kaynacı, absorber, yoğunsturucu ve buharlaştırıcı kapasiteleri, soğutucu akışkan debisinin artışına paralel olarak artmıştır.

Kapasite degrlerinin artması ısı transferinin artmasına sebep olmaktadır. İşı transferini artması ise sistemin daha çok soğutucu akışkan debisine ihtiyaç duyması demektir.

Şekil 3. 20, Şekil 3. 22 ve Şekil 3. 23'de yakıt, hava ve egsoz gazı debilerinin, baılı yakıt sarfiyatına göre değişimi incelenmiştir. Baılı yakıt sarfiyatı, yakıt debisinin motor gücüne oranıdır. Motor gücü ise motor devri ve tork değerlerine bağlıdır. Tablo 3. 1 Tofaş AŞ tarafından Uno S modeli için yapılan motor ömür deneyindeki devir ve tork değerlerinden birinin sabit olmaması, baılı yakıt sarfiyatının farklı konum değerleri için sıralanmasına sebep olmuştur. Söz konusu grafiklerde araçdaki farklı devir ve tork değerleri için kullanılacak olan yakıt, hava ve egsoz gazı debileri, baılı yakıt sarfiyatına göre bulunabilir.

Şekil 3. 24 ve Şekil 3. 25'de egsoz gazı sıcaklığının ve egsoz gazı ısı ideal ısı transfer kapasitesinin, baılı yakıt sarfiyatına göre değişimi incelenmiştir. Görüldüğü üzere, baılı yakıt sarfiyatı değeri hesaplanan, devri, torku, motor gücü hatta tipi farklı araçlarda absorbsiyonlu soğutma sisteminin çalışması için gerekli olan egsoz gazı sıcaklığı ve egsoz gazı ideal ısı transfer kapasitesi değerleri, söz konusu grafikler yardımı ile belirlenebilir.

Şekil 3. 26 da motor gücünün, baılı yakıt sarfiyatına göre değişimi incelenmiştir. Tablo B. 1 de görüleceği üzere, yakıt debisinin artışıyla motor gücü artmış fakat baılı yakıt sarfiyatı değişimler göstermiştir. Şekil 3. 26, farklı baılı yakıt debisi değerlerindeki motor gücü değeri konusunda fikir vermektedir.

Şekil 3. 27 ve Şekil 3. 28 de motor ve egsoz gazı veriminin, baılı yakıt sarfiyatına göre değişimi incelenmiştir. 1. Bölüm'deki giriş kısmında, içten yanmalı motorlarda motor veriminin %30 ila %35 arasında olduğu ve motor tarafından üretilen enerjinin büyük bir kısmının %30 - %32 egsoz gazı tarafından dışarıya atıldığından bahsetmiştik. Söz konusu grafiklerden görüldüğü üzere Uno - S moturu için bu değerler ispatlanmıştır. Ayrıca motor tarafından üretilen enerjinin büyük bir kısmının egsoz gazı ve motor soğutma suyu tarafından kullanıldığı ve bu enerjinin başka şekillerde kullanılabilecek düzeylerde olduğu şüpesizdir.

Ayrıca egsoz gazı kaynaticıdan geçerken kanatçıklara çarpacak ve bu suretle basıncı düşecektir. Mevcut egsoz gazı basıncı , egsoz gazı basınç düşümü hesapları ve oluşturulan grafikler **Ek. C**'de sunulmuştur.



4. ARAŞTIRMA BULGULARI ve TARTIŞMA

Araştırmada, mevcut otomobil klima sistemlerine alternatif olan, Buhar Sıkıştırmalı Mekanik Soğutma Sistemi yerine araç egsoz gazı sıcaklığı kullanarak çalışan Absorbsiyonlu Soğutma Sistemi ve bu sistemin kapasitesi ile performansı incelenmiştir.

Araştırmada, 1400 cc. motor hacimli Tofaş-Fiat Uno-SX modeli üzerinde çalışılmıştır. Deneysel veri olarak Tofaş AŞ. tarafından düzenlenen motor ömrü deneyi esas alınmıştır.

Absorbsiyonlu Soğutma Sisteminde Lityumbromür - Su soğurucu/soğutucu akışkan çifti kullanılmıştır. Yapılan hesaplamalar sonucunda zengin eriyik konsantrasyonu %64,5 fakir eriyik konsantrasyonu %48,75 bulunmuştur.

Teorik Hesaplama Sonuçları göstermiştir ki;

1. Egsoz gazı sıcaklığı arttıkça, sistemin soğutma kapasitesi de artmaktadır.
2. Soğutucu akışkan debisi arttıkça, buharlaştırıcı ve yoğunlaştırıcı kapasiteleri artmaktadır.
3. Düşük egsoz gazı sıcaklığı, düşük soğutucu akışkan debisine ve dolayısıyla daha az soğutma etkisine sebep olur.
4. Sistemin soğutma tesir katsayısı $COP = 0,82$ olarak hesaplanmıştır.
5. Egsoz gazı sıcaklığı yükselmesiyle Reynolds sayısının artmasından dolayı kaynاتıcıda oluşan basınç düşümü de artmaktadır. Fakat bu artış sistemi etkilememiştir. Bakınız Ek C.

Mevcut otomobil klima sistemlerinde kompresörler işlevlerini direk motordan aldığından motor performansını ve yakıt sarfiyatını negatif yönde etkilemektedirler. Araştırma sonuçları göstermiştir ki, uygun kaynاتıcı dizaynı sayesinde bu negatif etkilerden kurtulmak mümkündür.

Absorbsiyonlu Soğutma Sisteminin performansı incelendiğinde, yapılan hesaplamalar göstermiştir ki; egsoz gazından çekilen ısı miktarı arttıkça, kaynaticıda soğutucu akışkana ısı transferi de artar. Dolayısıyla, soğutucu akışkan debisi artar ve bu da sistemin soğutma kapasitesini arttırmır. Eğer düşük basınç düşümlü aynı zamanda yüksek ısı transfer etkili kaynaticı dizayn edilebilirse, düşük hız ve motor devirlerinde bile yeterli soğutma kapasitesine ulaşılabilir. Ek B ve Ek D deki hesaplamalar doğrultusunda, araştırmadaki kaynaticı ve absorber dizaynları mevcut sistemlerin soğutma kapasitesini karşılamaktadır.

Sekil 3. 9'da görülebileceği üzere, Absorbsiyonlu Soğutma Sisteminin sağlayabileceği azami soğutma yükü - araç 6310 devir/dakika da - 29 kW. dır. Fakat her zaman bu soğutma kapasitesi değerine ulaşmak mümkün değildir. Öncelikle aracın belli bir süreden fazla 6310 devir/dakika da kullanılamayacağı ve teorik hesaplamaların pratik hesaplarla farklılıklar göstereceği unutulmamalıdır.

Mevcut otomobil klimalarındaki en pahalı ekipman kompresördür öyle ki; Absorbsiyonlu Soğutma Sistemi kullanıldığından kompresör yerine iki tane ısı değiştiricisi eklendiğinde - absorber ve kaynaticı- bile ilk yatırım maliyeti düşmektedir. Ayrıca Absorbsiyonlu Soğutma Sisteminin yakıt sarfiyatını arttırmadığı, hafif ve sessiz çalıştığı unutulmamalıdır. Sistemde hareketli parçaları bulunan tek ekipman yalnızca çok düşük kapasitedeki eriyik pompasıdır. Dolayısıyla sistemin bakım ve onarım maliyeti de düşürecektir.

Kare veya dairesel kanatçıklı kaynaticı dizaynı ile egsoz gazının basınç düşümü azaltıldığında motordaki atık ısından daha fazla verim alınacaktır. Kaynaticı dizaynında

galvaniz yada paslanmaz çelik malzemeler kullanıldığında egsoz gazının korozif etkisi azaltılabilir fakat bu şekilde maliyette artacaktır.

Mevcut klima sisteminden kompresörü kaldırırmakla motor grubunda boş yer doğacaktır. Fakat kaynaticının egsoz manifoltu çıkışına yerleştirilmesinde egsoz gazı basınç düşümü ile ilgili problemler yaşanabilir. Ek C'de egsoz gazı basınç değeri ve kaynaticıda oluşan egsoz gazı basınç düşümü değerleri görülebilir. Ek C'de, dizayn edilen kaynaticının egsoz gazı basınç değerine olumsuz bir etkisi olmadığı görülüyor.

Absorber ise yoğunluklu ile birlikte araç radyatörünün arkasına yerleştirilerek araç relantide iken fan gücünün artırılmasıyla tam kapasite olarak çalışması sağlanabilir.

5. S O N U Ç

Teorik hesaplama sonuçları göstermiştir ki; egsoz gazındaki atık ısısı kullanılarak Absorbsiyonlu Soğutma Sistemi sayesinde araç mahallinin iklimlendirilmesi mümkündür. Ayrıca araştırma şu kışaslar dikkate alınarak geliştirilebilir.

1. Egsoz sisteminde aşırı basınç düşümü yaratmayacak ve egsoz gazı sıcaklığını çekerilecek kaynatıcı ve absorber dizaynı.
2. Egsoz gazının, kaynatıcı malzemesi üzerindeki korozif etkisi.
3. Motor performansını etkileyerek geri basıncın artması.
4. Ortam sıcaklıklarındaki değişikliklerin sistem performansına etkileri.
5. Araç park veya düşük hızlarda seyir halinde iken sistemi destekleyecek alternatif bir ısı enerjisi.
6. Sistemin araçta yerleştirileceği konum.
7. Aracın hızındaki değişikliklerden dolayı soğutma kapasitesi değerindeki dalgalanma.

Ayrıca araştırma sonucunda kesinlikle söyleyebilir ki; Absorbsiyonlu Soğutma Sisteminde, mevcut klima sistemine kıyasla enerji ve yakıt tasarrufu sağlanır. Araştırmamanın pratik boyutlarda incelenmesi sistemin uygulanabilirliğini destekleyecektir.

KAYNAKLAR

- AKERMAN J.R. January 1971. Automobile Air Conditioning System With Absorption Refrigeration. Automobile Engineering Congress. Society Of Automotive Engineers. Detroit. USA. 18 - 25 s.
- ANON. 1994 ASHREE Equipment Handbook. Automobile Air Conditioning. USA. Bölüm 26.
- ANON. 1983. Heat Exchanger Desing Handbook. Hemispere Publishing Co.
- ÇENGEL Y.A. & BOLES M.A. 1989. Thermodynamics An Engineering Approach. McGraw-Hill. USA - Nevada. 866 S.
- GHASSEMİ B. 1987. Teoratical Study Of Absorption Refrigeration For Vehicle Application. XVII th. İnternational Congress of Refrigeration. Paris. Vol D. 258 - 261 s.
- HORUZ İ. 1994. An Experimental Study Of The Use Of Vapour Absorption Refrigeration In Road Transport Vehicles. University Of Strathclyde. 1 - 407 S.
- INCROPERA F. P. & DE WITT D.P. 1990. Fundamentals Of Heat And Mass Transfer. John Wiley & Sons. USA. Purdue University. 250-520 s.
- KEATING C.L. January 1954. Absorption Refrigeration System For Mobile Applications. U.S. Patent No : 2.667.040. 1 - 25 s.
- MARSH K. 1994. Automotive Enginnering. Sae International USA. 45 - 53 s.
- McNAMARA T.J. May 1972. Absorption Refrigeration and Air Conditioning System. U.S. Patent No : 3.661.200. 1 - 37 s.

- McNEELY L. A. 1977. Thermodynamic Properties Of Aqueous Solutions Of Lithium Bromide. Ashree. USA. 1 - 20 s.
- ÖZTÜRK A. ve KILIÇ A. 1993. Termodinamik Tablolar ve Diyagramlar. Çağlayan Kitapevi. İstanbul. 94 s.
- SAUNDERS E. A. D. 1983. Heat Exchangers; Selection, Desing and Construction. Longman Group. U.K. 423 s.
- TOFAŞ AŞ. 1996. Aksesuar Techizat. Bursa. 50. Kısim. Klima.
- TOFAŞ AŞ. 1997. Arge Bölümü Motor Ömür Deneyi.

T E Ş E K K Ü R

- Yrd. Doç. Dr. İLHAMİ HORUZ ve Doç. Dr. MUHSİN KILIÇ, Uludağ Üniversitesi Mühendislik Fakültesi Öğretim Üyesi, danışmanlığını yaptıkları çalışmam süresince gösterdikleri ilgi, alaka, sabır ve teknik destekten dolayı,
- Prof. Dr. RECEP YAMANKARADENİZ, Uludağ Üniversitesi Makina Mühendisliği Bölüm Başkanı, çalışmam esnasında verdiği teknik ve pratik fikirler nedeniyle,
- Makina Yüksek Mühendisi MURAT AYHANER, TOFAŞ AŞ. Arge Bölümü, araştırmamın temelini teşkil eden teknik verileri sağladığından,
- UFUK KARLI, İHLAS BİLGİ İŞLEM Müdürü, çalışmanın şekillendirilmesinde sağladığı bilgisayar desteğinden dolayı,
- Aileme ve Dostlarımı verdikleri moralden dolayı,

TEŞEKKÜR EDERİM.

EK A

EGSOZ GAZININ TERMODİNAMİK ÖZELLİKLERİ HESAPLANMASI

Egsoz gazının termodinamik özelliklerinin hesaplanması, aracılık kullanılan normal benzinin kimyasal özelliklerinden ve yanma denkleminden faydalananacağız.

Günümüzde araç yakıtı olarak kullanılan normal benzinin kimyasal bileşimi;

C	84,91 %	$M_C = 12,0 \text{ kg/kmole}$
H	15,03 %	$M_H = 1,0008 \text{ kg/kmole}$
S	0,06 %	$M_S = 32,064 \text{ kg/kmole}$

şeklinde üretici firmalar tarafından tanımlanmıştır.

1 kg. Normal benzin içeriğinde;



$$0,0070758 \text{ C} + 0,0745536 \text{ H}_2 + 0,000018712 \text{ S \quad (A. 2)}$$

bulunur.

Denklem (A. 2)'ye yanma denklemi uygulanırsa;

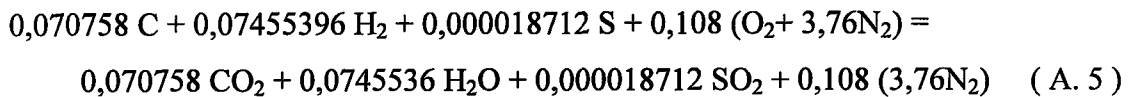
$$0,07058 \text{ C} + 0,0745536 \text{ H}_2 + 0,000018712 \text{ S} + X (\text{O}_2 + 3,76 \text{ N}_2) =$$

$$0,070758 \text{ CO}_2 + 0,0745536 \text{ H}_2\text{O} + 0,000018712 \text{ SO}_2 + X (3,76 \text{ N}_2) \quad (\text{A. 3})$$

Denklem (A. 3)'de Oksijen (O_2) dengesi, X değerini bulmamızı sağlar.

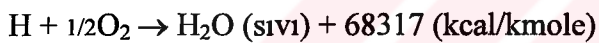
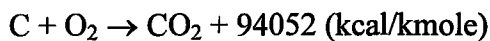
$$X = 0,070758 + (0,0745536 / 2) + 0,000018712 = 0,108 \quad (\text{A. 4})$$

Sonuçta Denklem (A. 3) şu hali alır;

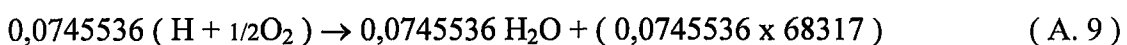
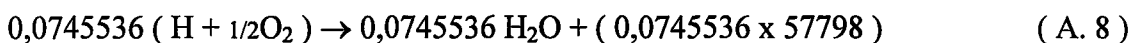
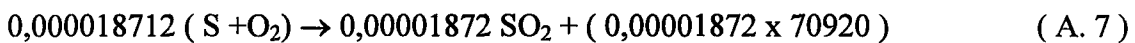
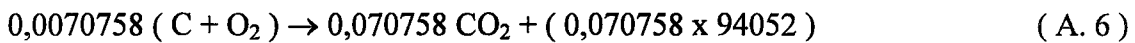


Havanın mol ağırlığı $M_{\text{air}} = 28,96 \text{ Kg/Kmole}$ olmak üzere, Denklem (A. 5) deki havanın ağırlığı $m_{\text{air}} = 0,108 (1 + 3,76) \times 28,96 = 14,888 \text{ kg. dır.}$ Bu demektir ki 1 kg. Normal benzinin yanması için gerekli hava 14,888 kg. dır. Başka bir değişle stoichiometrik hava/yakıt oranı 14,888 dir.

Yanma denkleminin kalorifik değerleri şu şekilde hesaplanabilir;



Bu değerler ışığında Denklem (A. 5) den yararlanarak kalorifik değerler hesaplanabilir.



Denklem (A. 6), (A. 7), (A. 8) ve (A. 9) kullanılarak toplam kalorifik değer ve net kalorifik değer hesaplanır.

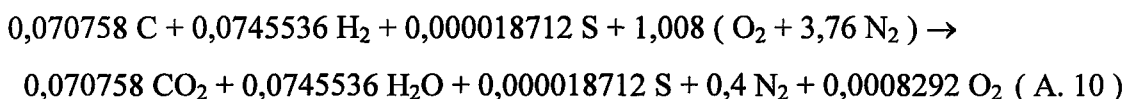
TOPLAM KALAORİFİK DEĞER ;

$$(0,070758 \times 94052) + (0,00001872 \times 70920) + (0,0745536 \times 68317) \\ = 11749,5 \text{ kcal/kmole} = 49,2 \text{ MJ/kg.}$$

NET KALORİFİK DEĞER ;

$$(0,070758 \times 94052) + (0,00001872 \times 70920) + (0,0745536 \times 57798) \\ = 10965,3 \text{ kcal/kmole} = 45,9 \text{ MJ/kg.}$$

Araştırmamızda, egsoz gazı debisini hesaplarken oluşturduğumuz tablolarda, Hava/Yakıt oranını 15 almıştık. Fakat stoichiometric Hava/Yakıt oranı 14,888 hesaplandı. Buna göre düzeltme faktörü $= 15/14,888 = 1,008$ olur. Bu da gösterir ki hesaplamamızda 1,008 kat daha fazla havaya ihtiyacımız vardır. Sonuçta denklem (A.5) şu hali alır.



Bu özelliklere dayanarak ve Konum 7'deki egsoz gazı değerleriyle yani; $T = 475,6 \text{ }^{\circ}\text{C}$ ve **Ek G**'deki tablo bilgileriyle yapılan hesaplamalarla egsoz gazının Termodynamik özellikleri hesaplanabilir.

EGSOZ GAZININ TERMODİNAMİK ÖZELLİKLERİ ;

	M	N	M*N	ρ	M*N* ρ	$\mu*10^{-6}$	M*N* μ
CO ₂	44,0098	0,070758	3,11404	0,7057	2,197578	32,1	9,9960*10 ⁻⁵
H ₂ O	18,152	0,0745536	1,3431	0,2931	0,393663	26,04	3,49743*10 ⁻⁵
N ₂	28,0134	0,4	11,2136	0,45115	5,0590156	33,5	3,75655*10 ⁻⁴
O ₂	31,9988	0,0008292	0,026533	0,5154	0,0136751	39,8	1,05601*10 ⁻⁶
TOPLAM			15,697273		7,6639317		5,11646*10⁻⁴

	C _p	M*N*C _p	k*10 ⁻³	M*N*k	v*10 ⁻⁶	M*N*v
CO ₂	1,15	3,581146	51,7	0,160996	45,5	141,688*10 ⁻⁶
H ₂ O	2,119	2,84603	54,9	0,07374	88,84	119,321*10 ⁻⁶
N ₂	1,11	12,4771	52,35	0,587032	74,805	838,833*10 ⁻⁶
O ₂	1,0425	0,0276606	55,85	0,0014819	77,79	2,064*10 ⁻⁶
TOPLAM		18,90193		0,82325		1,101907*10⁻³

Bu değerlerden yararlanarak Konum 7 için;

$$c_p = \frac{\sum M_i \times N_i \times c_{pi}}{\sum M_i \times N_i} = \frac{18,90193}{15,697273} \Rightarrow c_p = 1,2041 \text{ kJ/kgK.}$$

$$\rho = \frac{\sum M_i \times N_i \times \rho_i}{\sum M_i \times N_i} = \frac{7,6639317}{15,697273} \Rightarrow \rho = 0,48823 \text{ kg/m}^3.$$

$$\mu = \frac{\sum M_i \times N_i \times \mu_i}{\sum M_i \times N_i} = \frac{5,11646*10^{-4}}{15,697273} \Rightarrow \mu = 3,25946*10^{-5} \text{ Ns/m}^2.$$

$$k = \frac{\sum M_i \times N_i \times k_i}{\sum M_i \times N_i} = \frac{0,82325}{15,697273} \Rightarrow k = 52,4454*10^{-3} \text{ W/m}^2\text{K.}$$

$$v = \frac{\sum M_i \times N_i \times v_i}{\sum M_i \times N_i} = \frac{1,101907 \times 10^{-3}}{15,697273} \Rightarrow v = 70,197 \times 10^{-6} \text{ m}^2/\text{s.}$$

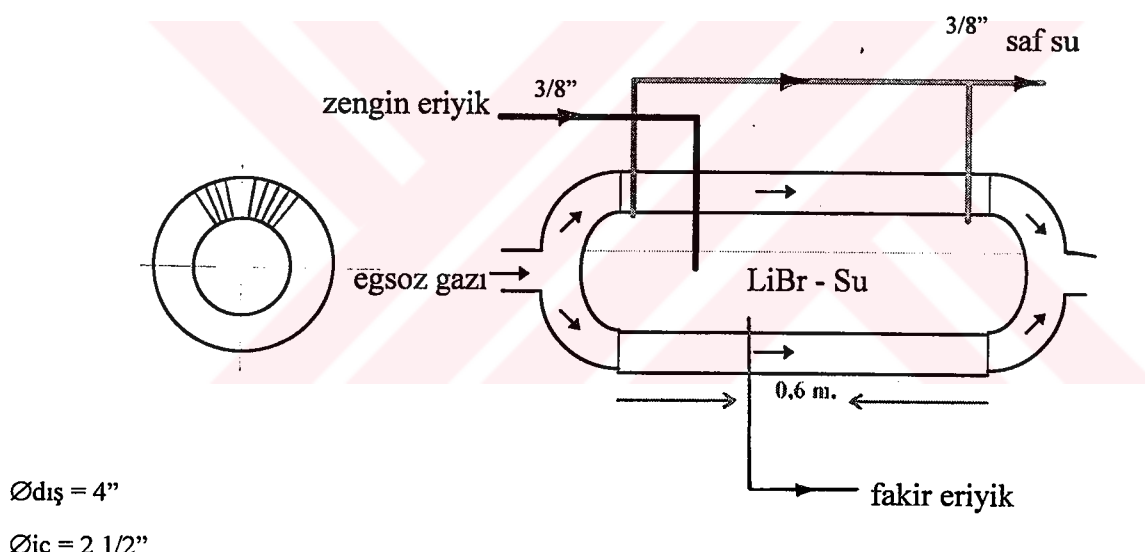
bulunur.

E K B

KAYNATICI DİZAYNI VE HESAPLARI

ISI EŞANJÖRÜ HESAPLARI;

Pek çok kaynاتıcı dizaynı denemesinden sonra çalışmamıza ve hesaplamalarımıza en uygun kapasiteyi sağlayan, araca monte edilebilir boyutlarda oluşturulan kaynaticı aşağıdaki şekilde ölçülendirilmiştir. Kaynaticı ısı transfer kapasitesini artırabilmek için kanatçık kullanılmıştır. Aracın egsoz manifolt çıkışı $1\frac{1}{2}$ " olmak üzere;



Kaynaticı Ölçüleri ;

$$\text{Dış çap } D_i = 4" = 0,1016 \text{ m.}$$

$$\text{İç çap } d_r = 2\frac{1}{2}" = 0,0635 \text{ m.}$$

$$\text{Kanatçık kalınlığı } t_f = 0,002 \text{ m.}$$

$$\text{Kanatçık yüksekliği } l_f = 0,018 \text{ m. olmak üzere,}$$

$$\text{Kaynaticı uzunluğu } L_t = 0,6 \text{ m.}$$

$$\text{Dış } A_e = \Pi (d_r) / 4 = \Pi (0,008) / 4 \Rightarrow A_e = 0,003323 \text{ m}^2.$$

Akış alanı veya Kesit alanı $A_x = A_e - \{(\Pi (d_r)^2 / 4) + N \cdot t_f \cdot l_f\} \Rightarrow A_x = 0,003323 \text{ m}^2$.

İsı transfer alanı $A_t = \{(2N \cdot l_f) + (\Pi \cdot d_r - N \cdot t_f)\}L_t \Rightarrow A_t = 1,0377 \text{ m}^2$.

Islak çevre $P_w = (\Pi \cdot D_i) + (A_t / L_t) \Rightarrow P_w = 2,0512 \text{ m}$.

Egsoz gaz hızı $V = m_{exh} / (\rho \cdot A_x) \Rightarrow V = 27,022 \text{ m/s}$.

Hidrolik çap $d_e = 4A_x / P_w \Rightarrow d_e = 0,00648 \text{ m}$.

Reynolds sayısı $Re = (\rho \cdot V \cdot d_e) / \mu \Rightarrow Re = 2622,84$

Eğer $2000 \leq Re \leq 10000$ ise, ESDU 1967 ve 1968 göre radyal kanatçıklı borularda ısı taşınım katsayısı ho denklemi;

$$h_o = 0,1 (k/d_e) (Re^{2/3} - 125) Pr^{0,495} [\exp \{-0,0225 (\ln Pr)^2\}] \{1+de/L_t\}^{2/3}$$

Prantl sayısı $Pr = c_p \cdot \mu / k \Rightarrow Pr = 0,748$

$h_o = 46 \text{ W/m}^2\text{K}$, bulunur.

Fakat kanatçıklı borularda ısı taşınım katsayısının daha net hesaplanması için kanatçık faktörünü içeren η_o kanatçık yüzeyi düzeltme katsayısını hesaplamak gerekir.

$\eta_o = 1 - (A_f/A_t)(1 - \eta_f)$ olmak üzere, $k_{çelik} = 48,8 \text{ W/mK}$. ise

$$m = ((2 \cdot h_o)/(k_{çelik} \cdot t_f))^{1/2} \Rightarrow m = 30,67$$

$$\eta_f = \frac{\tanh(m l_f)}{m l_f} \Rightarrow \eta_f = 0,91$$

Kanatçık Toplam Alanı $A_f = (2 \cdot N \cdot l_f) L_t \Rightarrow A_f = 0,972 \text{ m}^2$.

$$\eta_o = 1 - (A_f/A_t)(1 - \eta_f) \Rightarrow \eta_o = 0,9167$$

Gerçek Isı Taşınım Katsayı $h_o' = \eta_o \cdot h_o \Rightarrow h_o' = 42,17 \text{ W/m}^2\text{K}$.

Toplam ısı transfer katsayı $U = h_o'$ olduğu varsayılsa ve kaynاتıcı enerji dengesi eşitliğinden, kaynataçı ısı transferi Q_{kay} ;

$$Q_{kay} = m \cdot c_p \cdot (T_{exh,i} - T_{exh,o}) = U \cdot A_t \cdot LMTD$$

$$LMTD = \frac{(T_{exh,i} - T_{exh,o})}{\ln \frac{(T_{exh,i} - T_{kay})}{(T_{exh,o} - T_{kay})}} \Rightarrow T_{exh,o} = 537,8^\circ\text{K}$$

$$\Delta T = T_{exh,o} - T_{exh,i} \Rightarrow \Delta T = 210,7^\circ\text{K} \text{ bulunur.}$$

$$Q_{kay} = m \cdot c_p \cdot \Delta T \Rightarrow Q_{kay} = 11447 \text{ W. bulunur. (Konum 7 için)}$$

Egsoz gazı ısı transfer kapasitesi ;

Egsoz gazı manifolt çıkış sıcaklığını, ideal koşullarda uygun kaynاتıcı dizaynı ile ortam sıcaklığına kadar düşürmek mümkündür.

$$Q_{exh,ideal} = m_{exh} \cdot c_p \cdot (T_{exh,i} - T_\infty)$$

formülünden egsoz gazının ideal ısı transfer kapasitesi bulunur. Konum 7 değerleri için $T_\infty = 300$ K alındığında $Q_{exh,ideal}$

$$Q_{exh,ideal} = (48,84 \times 10^{-3} \text{ kg/s}) (1,2041 \text{ kJ/kgK}) (748,5 - 300 \text{ K})$$

$$Q_{exh,ideal} = 23675 \text{ W bulunur.}$$

Diğer konum değerleri içinde aynı hesaplamalar yapılmış ve Tablo 3. 4'de sunulmuştur.

Motor gücü, bağıl yakıt sarfiyatı, motor ve egsoz verimi

Farklı devirlerdeki motor gücü, P_{motor} ; motor gücü olmak üzere,

$$P_{motor} = (2 \times \Pi \times \text{devir sayısı} \times \text{tork}) / 60 \text{ formülü ile bulunur.}$$

Araç motoruna giren enerji, E_{giren} ; motora giren enerji olmak üzere

$E_{giren} = m_{fuel} \times CV$ CV; net kalorifik değer, $CV = 45900 \text{ kJ/kg}$ olarak Ek A' da hesaplanmıştır.

Bağıl yakıt sarfiyatı $m_{sp,fuel} = m_{fuel} / P_{motor}$

Motor verimi $\eta_{motor} = P_{motor} / E_{giren}$

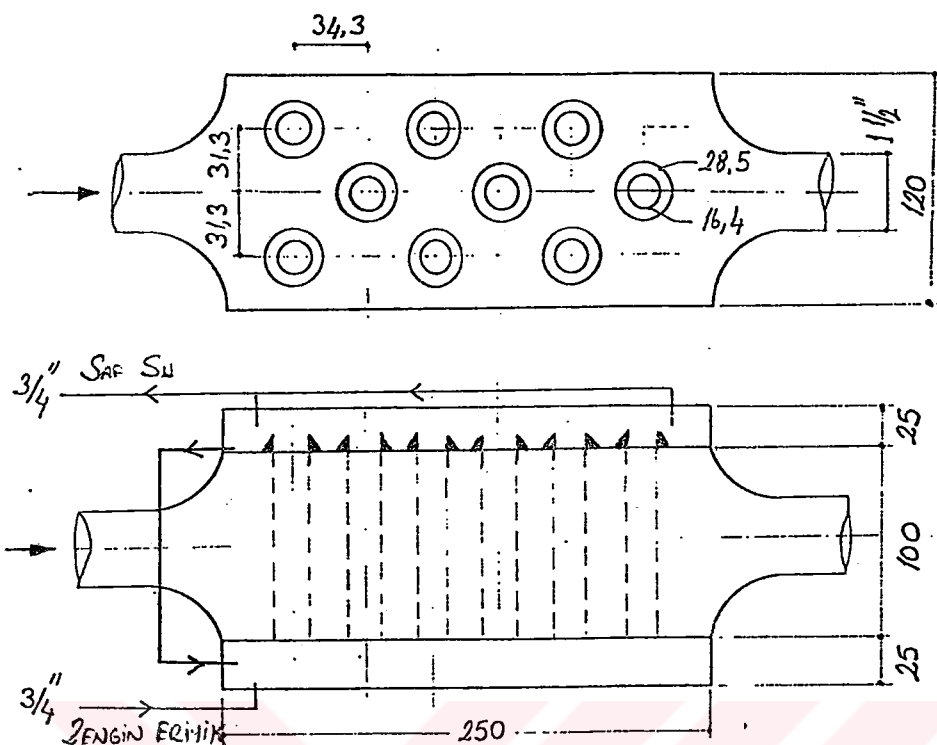
Egsoz verimi $\eta_{egsoz} = Q_{exh,ideal} / E_{giren}$ şeklinde hesaplanır.

Yukarıdaki formüller ve Tablo 3. 1 ve Tablo 3. 2' deki değerler yardımıyla farklı devir ve tork değerlerinde hesaplanan motor gücü, motora giren enerji, bağıl yakıt sarfiyatı ve verim değerleri Tablo B, 1' de sunulmuştur. Ayrıca bu değerlere göre oluşturulan grafikler Bölüm 3' de görülebilir.

TABLO B. 1 Motor gücü, verimi ve bağıl yakıt sarfiyatı değerleri

m_{fuel}	Devir	Tork	P_{motor}	E_{giren}	$m_{sp,fuel}$	η_{motor}	η_{egsoz}
kg/s (exp -3)	1/dak	N/m	kW	kW	kg/kWs (exp -5)		
1,24	1523	90,3	14,402	56,916	8,61	0,253	0,132
1,44	1775	97,1	18,049	66,096	7,98	0,273	0,16
1,58	2027	100	21,227	72,522	7,44	0,292	0,178
1,87	2277	101	24,083	85,833	7,76	0,28	0,182
2,23	2528	100	26,473	102,36	8,42	0,258	0,183
2,5	2782	101	29,424	114,75	8,49	0,256	0,179
2,74	3033	102	32,397	125,77	8,46	0,257	0,188
2,93	3285	105	36,12	134,49	8,11	0,268	0,198
3,14	3537	106	39,225	144,13	8	0,272	0,226
3,3	3787	108	42,79	151,47	7,71	0,282	0,254
3,49	4041	107	45,237	160,19	7,71	0,282	0,256
3,65	4293	105	47,204	167,54	7,73	0,281	0,278
3,81	4545	102	48,547	174,88	7,85	0,277	0,286
3,98	4800	99,1	49,813	182,68	7,99	0,272	0,294
4,11	5050	95,2	50,345	188,65	8,16	0,266	0,297
4,19	5301	91,2	50,627	192,32	8,28	0,263	0,3
4,33	5556	87,3	50,793	198,75	8,52	0,255	0,303
4,4	5806	84,3	51,255	201,96	8,58	0,253	0,312
4,53	6060	83,4	52,926	207,93	8,56	0,254	0,314
4,66	6310	78,5	51,858	213,89	8,99	0,242	0,31

ALTERNATİF KAYNATICI DİZAYNI



Boru dış çapı, $D_o = 16,4 \text{ mm}$

Kanat kalınlığı, $t_f = 0,254 \text{ mm}$

Boru yüksekliği $L = 100 \text{ mm}$

Konum 7 egsoz gazı değerleri ;

$$T_{\text{key}} = 368^\circ\text{K}$$

$$T_{\text{exh,i}} = 748,6^\circ\text{K}$$

$$m_{\text{exh}} = 0,04384 \text{ kg/s.}$$

$$c_p = 1,2041 \text{ kJ/kgK.}$$

$$\rho = 0,48823 \text{ kg/m}^3.$$

$$\mu = 3,25946 \cdot 10^{-5} \text{ Ns/ m}^2.$$

$$k = 52,4454 \cdot 10^{-3} \text{ W/ m}^2\text{K.}$$

$$v = 70,197 \cdot 10^{-6} \text{ m}^2/\text{s.} \text{ olarak hesaplanmıştır.}$$

Alternatif kaynatıcı dizaynında kullanılan kanatlı borulu tipi Şekil B. 1'de görülebilir. Kaynatıcı dizaynında 6 sıralı ve dairesel boru - dairesel kanatlı tip eşanjör kullanılacaktır. Dolayısıyla $N_{\text{boru}} = 9$ olacaktır.

Kanat adımı = 275/m Kanat sayısı $N_f = 275/m \times 0,1m \Rightarrow N_f \approx 25$ alınacaktır.

Toplam alan; A_{tot} , Kanat yüzey alanı; A_{fin} , Boru yüzey alanı; A_o olmak üzere

$$A_o = N_{boru} \Pi D_o (L - N_f t_f) \Rightarrow A_o = 0,0434 \text{ m}^2$$

$$A_f = [0,12 \times 0,24 - ((\Pi D_o^2/4) \times 9)] N_f \cdot 2 \Rightarrow A_f = 1,345 \text{ m}^2$$

$$A_{tot} = A_o + A_f \Rightarrow A_{tot} = 1,388 \text{ m}^2$$

$$\text{Ön yüzey alanı; } A_c = 0,1m \times 0,12m \Rightarrow A_c = 0,012 \text{ m}^2$$

$$\text{Islak çevre } P = (2 \times 0,1) + (2 \times 0,12) \Rightarrow P = 0,44 \text{ m}$$

$$\text{Reynold sayısı } Re = (4 \times m_{exh}) / (P \times \mu_{exh}) \Rightarrow Re = 12227 \text{ bulunur.}$$

Şekil F. 1 den; $j_H = 0,0059$ ve $f = 0,024$ bulunur.

Kanat uzunluğu $l_f = (28,5 - 16,4) / 2 = 6,05 \text{ mm}$ Şekil F. 1 den bulunur.

$$\text{Serbest akış alanı; } A_{ff} = A_c - [(N_f \cdot t_f \cdot l_f) 4 + (D_o \cdot L \cdot 2)] \Rightarrow A_{ff} = 0,00856 \text{ m}^2$$

$$\text{Kütle hızı } G = m_{exh} / A_{ff} \Rightarrow G = 5,12 \text{ kg/ms}^2 \text{ bulunur.}$$

Coulborn faktörü $j_H = St \cdot Pr^{2/3}$ ve Stanton sayısı $St = h / (G \cdot c_p)$ ve Prandtl sayısı $Pr = c_p / \mu \cdot k \Rightarrow Pr = 0,748$ olmak üzere,

$$\text{Isı taşınım katsayısı } h = j_H \cdot G \cdot c_p / Pr^{2/3} \Rightarrow h = 44,128 \text{ W/m}^2\text{K bulunur.}$$

Daha önce sunulan kaynatıcı dizaynı hesaplamalarını hatırlarsak;

$$Q_{kay} = m_{exh} \cdot c_p \cdot exh (T_{exh,i} - T_{exh,o}) = h \cdot A_{tot} \cdot LMTD$$

$$LMTD = \frac{(T_{exh,i} - T_{exh,o})}{\ln \frac{(T_{exh,i} - T_{exh,o})}{(T_{exh,o} - T_{kay})}}$$

$$T_{exh,o} = 487,3^\circ\text{K}$$

$$\Delta T = 261,3^\circ\text{K}$$

$$Q_{kay} = 13795 \text{ W}$$

Bulunan değerler daha önce yapılan kaynatıcı dizaynı hesaplama sonuçları ile karşılaştırıldığında, alternatif dizaynın kapasitesinde sisteme uyduğu görülür. Ayrıca daha kapsamlı bir kıyaslama için alternatif kaynatıcı dizaynın basınç düşümü değerleride inceleneciktir.

Alternatif kaynاتıcı basınç düşüm değeri;

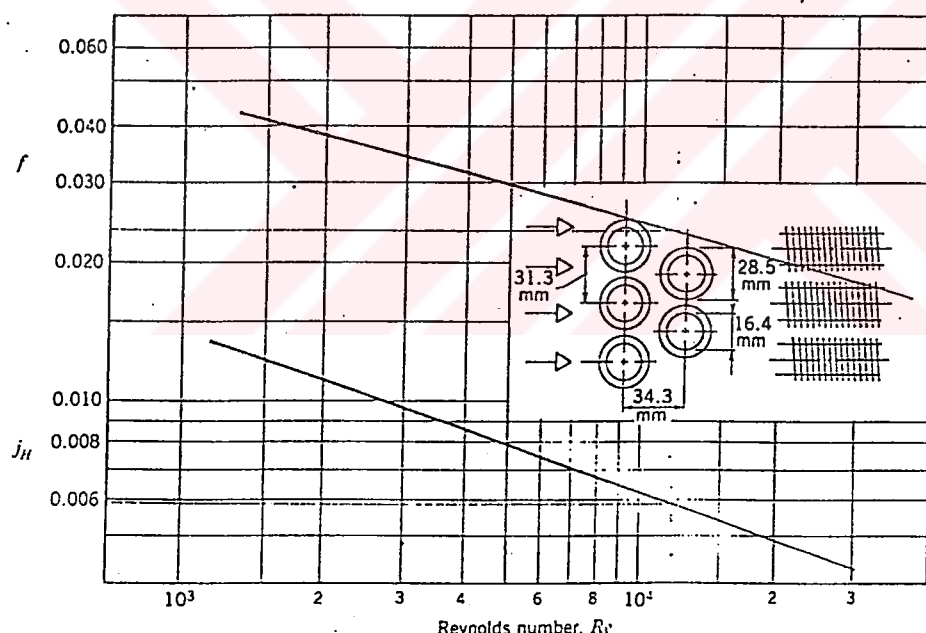
$$\Delta P = \frac{G^2 \cdot v_i}{2} \left[(1 + \sigma^2) \left(\frac{v_o}{v_i} - 1 \right) + f \frac{A_{tot}}{A_{ff}} \frac{v_m}{v_i} \right] \text{ formülünden}$$

$v = 1/\rho$, i ; giriş $\approx 750^\circ\text{K}$, o; çıkış $\approx 360^\circ\text{K}$, m; ortalama $\approx 550^\circ\text{K}$, olmak üzere
 $v_o = 1,254 \text{ m}^3/\text{kg}$, $v_i = 2,0482 \text{ m}^3/\text{kg}$, $v_m = 1,547 \text{ m}^3/\text{kg}$ bulunur

Şekil B.1 den $\sigma = 0,449$ ve $f = 0,024$ olduğu görülür.

Dolayısıyla $\Delta P \approx 80 \text{ Pa}$ bulunur.

Ek C'deki Konum 7 basınç düşümü değerleri ile karşılaştırıldığında bu değer hayli küçük kalmaktadır. Sonuçta alternatif kaynataçı hem ısı transfer kapasitesi hem de basınç düşümü değerleri göz önüne alındığında daha önce dizayn edilen kaynaticıdan daha iyi bir kullanılabilirlik düzeyine sahip olduğu söylenebilir.



Borу dış çapı; $D_o = 16,4 \text{ mm}$

Kanat adımı = $275/\text{m}$

Hidrolik çap; $D_h = 6,68 \text{ mm}$

Kanat kalınlığı = $0,254 \text{ mm}$

Akış alanı/cephe alanı = $\sigma = 0,449$

ŞEKİL B. 1 Dairesel boru - dairesel kanatlı tip ısı eşanjörü, ısı transfer ve sürtünme faktörü

(Kaynak : Incopera F.P. De Witt D.P. - Fundamentals Of Heat And Mass Transfer)

E K C

KAYNATICI BASINÇ DÜŞÜMÜ

Egsoz gazı basıncı P_{exh} , ideal gaz denkleminden bulunur.

$$P_{exh} = R_{exh} \cdot T_{exh} \cdot \rho_{exh} \quad (C.1)$$

R_{exh} : Gaz sabiti (egsoz gazı).

T_{exh} : Egsoz gazı sıcaklığı. (K)

ρ_{exh} : Egsoz gazı yoğunluğu (kg/m^3)

R_{exh} gaz sabiti ise $R_{exh} = R_u / M_{exh}$ formülünden bulunur.

R_u : Universal gaz sabiti = 8,315 $\text{kJ}/\text{kmol.K}$

M_{exh} : Egsoz gazı molar ağırlığı ise;

$M_{exh} = \sum M_i \times N_i = 15,697273 \text{ kg/kmol.}$ olarak Ek A'da hesaplanmıştır.

$R_{exh} = R_u / M_{exh} = 8,315 \text{ kJ/kmol.K} / 15,697273 \text{ kg/kmol.}$

$R_{exh} = 0,5297 \text{ kJ/kgK}$ bulunur.

İdeal gaz denkleminden, her bir konumdaki sıcaklık ve yoğunluk değerleri vasıtısıyla (Tablo 3. 2 ve Tablo 3. 3) egsoz gazı basınç değerleri hesaplanmış ve Tablo C. 1 de sunulmuştur.

Radyal kanatçıklı borularda basınç düşümü denklemi;

$$\Delta P = \frac{4f \cdot L_t \cdot m^2}{2 \cdot \rho \cdot d_e} \quad (C.2)$$

$$f = 0,00674 + 8,164 / Re^{0,93} \text{ olarak tanımlanmıştır.} \quad (C.3)$$

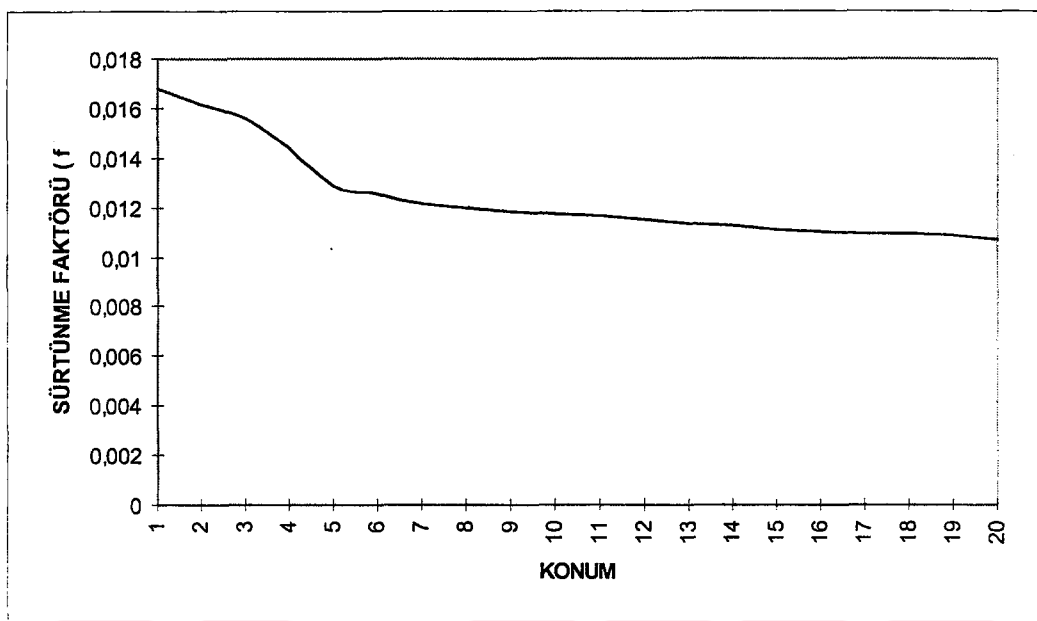
Ek B deki değerler kullanıldığında bulunan basınç düşümü değerleri Tablo C. 1'de sunulmuştur.

Diğer konum bilgileri için basınç düşümü hesapları yapıldığında ise;

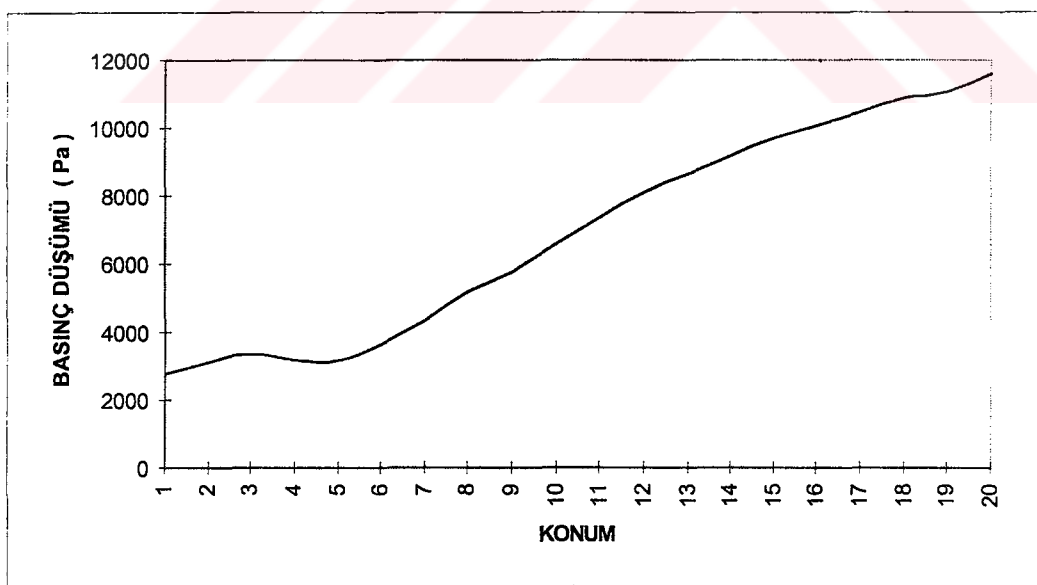
TABLO C. 1 Basınç düşümü - basınç - konum bilgileri

KONUM	f	ΔP (Pa)	P_{exh} (Pa)
1	0,01678	2773,5	194311
2	0,016168	3145,1	195718
3	0,01556	3378,4	193889
4	0,014369	3196,9	193960
5	0,01289	3184,6	194021
6	0,0125	3670,2	193951
7	0,01214	4331,6	193574
8	0,01119	5191,9	193925
9	0,0118	5794	193508
10	0,01177	6614,1	192473
11	0,01163	7351,6	191643
12	0,01149	8117,4	191172
13	0,011357	8638,5	190769
14	0,01121	9147,9	193168
15	0,0111	9732,6	189882
16	0,01104	10030,3	189482
17	0,01092	10476,2	189124
18	0,01091	10889,9	187734
19	0,01081	11037,1	188170
20	0,01068	11567,7	188590

Tablo C. 1' deki bilgiler doğrultusunda oluşturulan grafikler;



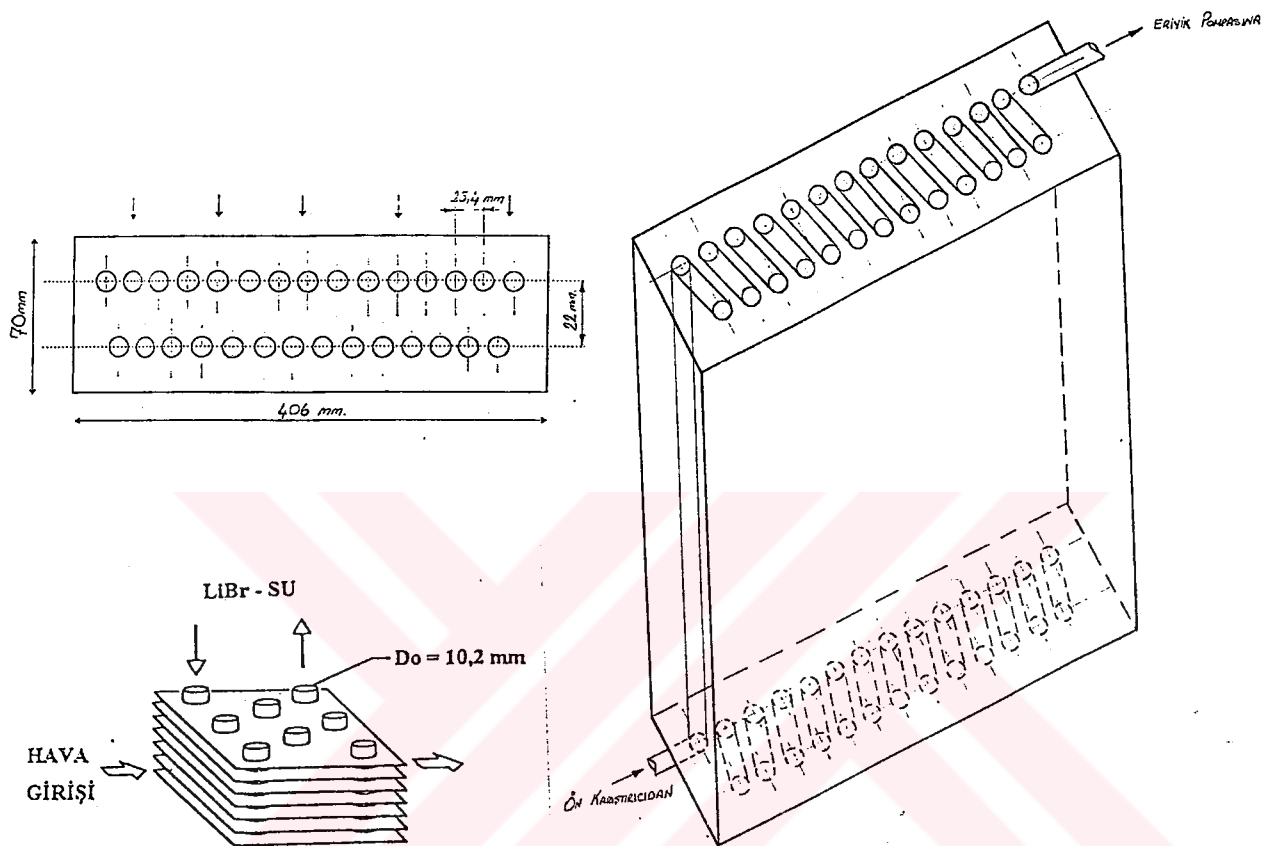
ŞEKİL C. 1 Sürtünme faktörü (f) - konum grafiği



ŞEKİL C. 2 Basınç düşümü Δp (Pa) - konum grafiği

E K D

A B S O R B E R D İ Z A Y N I v e H E S A P L A R I



Eşanjör boyutları ; $70 \times 406 \times 400$ mm ve boru adedi ; $N = 29$

İç çap $D_i = 10$ mm. dış çap $D_o = 10,2$ mm. ve kanatçık kalınlığı $t = 0,33$ mm. dir

Kanatçıklı boru malzemesi alüminyum olacaktır ve $k_{\text{alüminyum}} = 237$ W/mK dir.

Radyatör hava alma penceresi 400mm yüksekliğinde olduğundan $H = 0,4$ m alınabilir.

Şekil D. 1 den kanat adımı 315/m olarak görülür ve $N = 315/\text{m} \cdot 0,4\text{m} = 120$

Fakat hesaplarımızda $N = 120$ alınacaktır.Kabul değerleri ;

Örnek hesaplama konum 5 değerleri için yapılmıştır.

Devir = 2528 /dak , Tork = 100 Nm.

Araç hızı, konum 5 değerinde 60 km/h olarak kabul edilmiştir. Dolayısıyla,

$V_{\text{hava}} = 60 \text{ km/h} = 16,6 \text{ m/s}$ olur.

Araç radyatörünün hava alma penceresi ölçüleri (UNO - S modeli için)
400x400 mm. dir ve A_{fr} ; hava alma alanı, $A_{\text{fr}} = 0,16 \text{ m}^2$ olur.

Absorber giriş sıcaklığı $T_{\text{giriş}} = 315^\circ\text{K}$, çıkış sıcaklığı $T_{\text{çıkış}} = 308^\circ\text{K}$ ve absorber yüzey sıcaklığı $T_{\text{yüzey}} = 312^\circ\text{K}$ olarak saptanmıştır.

Ortam sıcaklığı $T_\infty = 300^\circ\text{K}$ alınmıştır.

300°K 'deki havanın termodinamik özellikleri;

$c_{\text{phava}} = 1007 \text{ J/kgK}$, $\mu_{\text{hava}} = 184,10^{-7} \text{ Ns/m}^2$, $\rho_{\text{hava}} = 1,1614 \text{ kg/m}^3$ ve $\text{Pr} = 0,707$ olmak üzere,

Absorber dizaynında kullanılacak kanatçıklı boru tipi Şekil D. 1' de görülebilir.
Absorber dizaynında çift sıralı ve sürekli kanatçıklı boru kullanılacaktır.

Absorber ısı kapasitesi hesabı;

Kabul edilen değerler çerçevesinde, sistemin ısı yükünü karşılayabilecek kapasitede absorber dizaynı için, tek bir kanatçıklı borunun ısı transfer kapasitesini bulmak gereklidir. Sonuçta bu değerleri Tablo 3. 6 daki kapasite değerleriyle karşılaştırarak kaç adet kanatçıklı boru kullanılacağını belirlemek gereklidir.

Havanın kütle hızı; $G = m_{\text{hava}} / (\sigma \cdot A_{\text{fr}}) = (V_{\text{hava}} \cdot \rho_{\text{hava}} \cdot A_{\text{fr}}) / (\sigma \cdot A_{\text{fr}})$ (D. 1)

$$G = (16,6 \cdot 1,614) / 0,534$$

$$G = 36,1 \text{ kg/sm}^2$$

Reynold sayısı $Re = (G \cdot Dh) / \mu_{\text{hava}} = (36,1)(3,63 \times 10^{-3}) / (184,6 \times 10^{-7})$ (D. 2)

$$Re = 7099$$

Şekil D. 1 den $J_h = 0,0049$ bulunur.

Dış hava ısı transfer katsayısı h_{dis} ise;

$$h_{\text{dis}} = (J_h \cdot G \cdot c_{\text{phava}}) / \text{Pr}^{2/3} = (0,0049)(36,1)(1007) / (0,707)^{2/3} \quad (D. 3)$$

$h_{\text{dış}} = 224 \text{ W/m}^2\text{K}$ bulunur.

q_1 ; 1 adet kanatçıklı borunun ısı transferi

$$q_1 = N \cdot \eta_f \cdot h_{\text{dış}} \cdot 2\pi \cdot (r_{2c}^2 - r_1^2) \cdot (T_{\text{yüzey}} - T_{\infty}) + h_{\text{dış}} \cdot (H - N_t) \cdot (2\pi r_1) \cdot (T_{\text{yüzey}} - T_{\infty}) \quad (\text{D. 4})$$

N ; kanatçık sayısı

η_f ; kanat verimi

r_1 ; boru dışyarıçapı

r_2 ; kanatçık yarıçapı

H ; boru boyu

Şekil D. 2 den ; $r_1 = 5,1 \text{ mm.}$

$$r_2 = 12,7 \text{ mm.}$$

$$t = 0,33 \text{ mm.}$$

$$L = 7,6 \text{ mm.}$$

$$r_{2c} = r_2 + t/2 = 12,865 \text{ mm.}$$

$$L_c = L + t/2 = 7,765 \text{ mm.}$$

$$A_p = L_c \cdot t = 2,56 \times 10^{-6} \text{ m}^2$$

$$L^{3/2} (h_{\text{dış}} / k_{\text{alüminyum}} \cdot A_p) = 0,4 \text{ ve } \eta_f = 0,9 \text{ bulunur.}$$

Denklem D. 4 den ;

$$\begin{aligned} q_1 &= (120)(0,9)(224)2\pi((12,865 \times 10^{-3})^2 - (5,1 \times 10^{-3})^2)(12) + \\ &\quad (224)(0,4 - (120)(0,33 \times 10^{-3}))2\pi(5,1 \times 10^{-3})(12) \end{aligned}$$

$$q_1 = 254,45 + 31$$

$$q_1 = 285,45 \text{ W.}$$

Konum 5 için absorber kapasitesi Tablo 3. 6 dan $Q_{\text{abs}} = 7628,7 \text{ W}$ bulunur.

$$\text{Sürekli boru adedi } N' = Q_{\text{abs}} / q_1 = 7628,7 / 285,45 = 26,7$$

$$N' \cong 29 \text{ alınabilir.}$$

Konum 5 için absorber ısı kapasitesi $q' = N' \cdot q = 29 \times 285,45 = 8278 \text{ W.}$

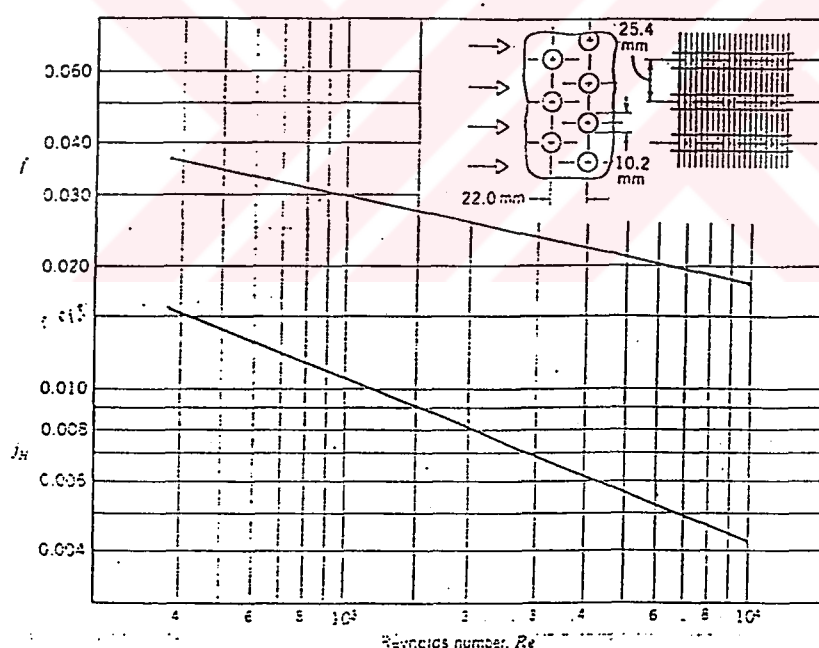
Absorber dizaynının, radyatör hava alma penceresine uygunluğunu kontrol etmek için ise Şekil D. 1 den yararlanabiliriz. Şekil D. 1 de boru eksenleri arası mesafeler 25,4mm ve 22,0mm verilmiştir. Ön boru sırasında 15, arka boru sırasında 14 adet boru bulunacağı düşünülürse absorber boyutları;

$$\text{Absorber uzunluğu ; } L_{\text{abs}} = (15)(25,4) + 25,4 = 406\text{mm}$$

$$\text{Absorber yüksekliği ; } H = 400\text{mm}$$

$$\text{Absorber kalınlığı ; } T = (2)(22,0) + 22,0 = 70\text{mm. olur}$$

Yapılan kabul değerleri ve hesaplamalar ışığında bulunan absorber ölçülerinin, araç radyatör hava alma penceresi ölçülerine ve sistem kapasitesine uygun olduğu görülmüştür. Ayrıca yüksek hızlarda hava hızında artacağından, absorberden atılan ısı miktarında artacaktır.



Boru dış çapı; $D_o = 10,2 \text{ mm}$

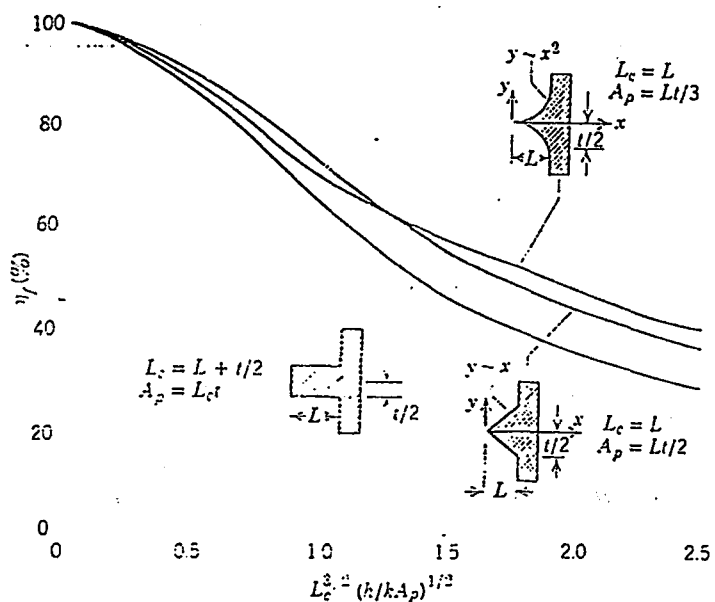
Kanal adımı = 315/m

Hidrolik çap; $D_h = 3,63 \text{ mm}$

Kanal kalınlığı = 0,33 mm

Akış alanı/çephe alanı = $\sigma = 0,534$

**ŞEKİL D. 1 Sürekli kanatlı borulu ısı eşanjörü, ısı transfer ve sürtünme faktörü
(Kaynak : Incopera F.P. De Witt D.P. - Fundamentals Of Heat And Mass Transfer)**

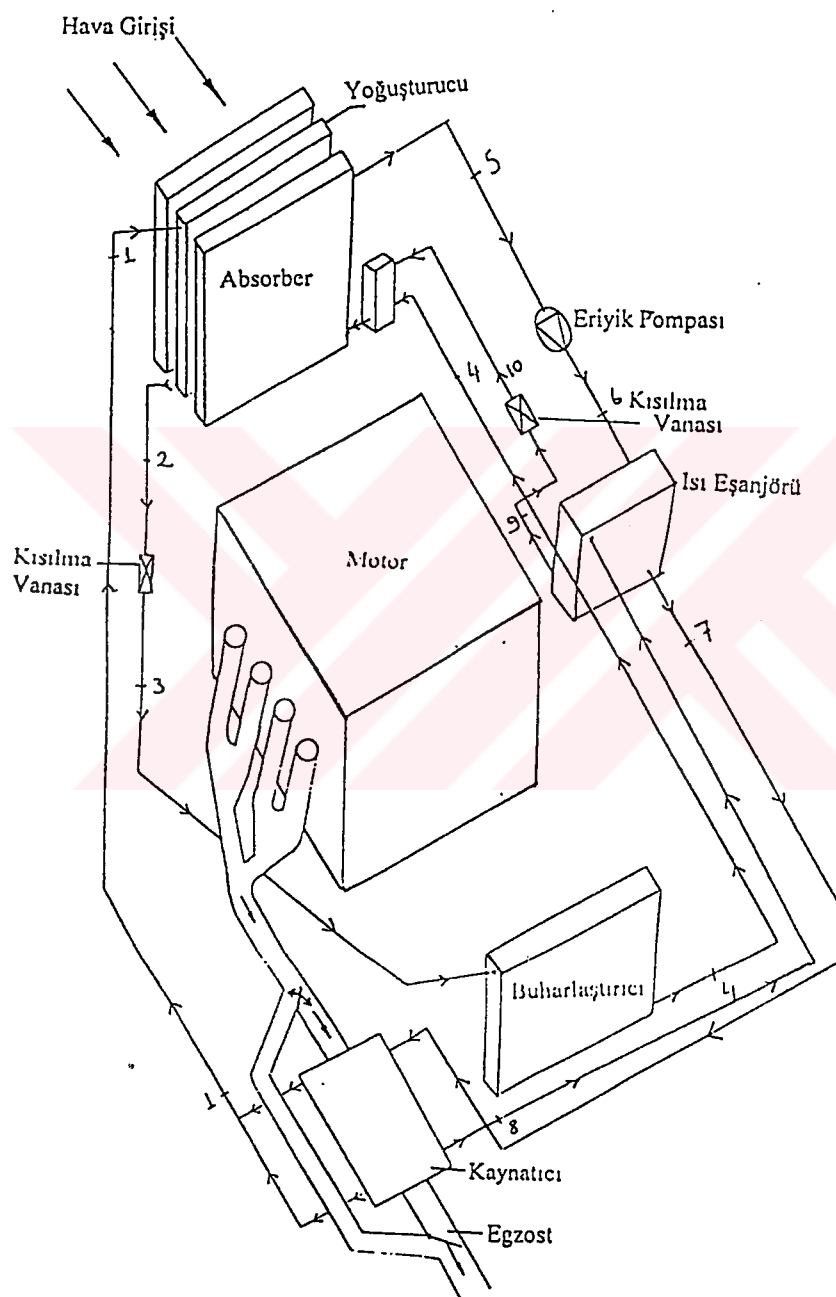


ŞEKİL D. 2 Kanat verimi

(Kaynak : Incopera F.P. De Witt D.P. - Fundamentals Of Heat And Mass Transfer)

E K E

ABSORBSİYONLU SOĞUTMA SİSTEMİ TESİSAT ŞEMASI



ŞEKİL E. 1 Absorbsiyonlu soğutma sistemi tesisat şeması

E K F

TABLO VE DİYAGRAMLAR

TABLO F. 1 Su buharının doymuş haller tablosu *

Sıcaklık <i>t</i> °C	Basınç <i>P</i> bar	Özgül Hacim		Yogunluk		Özgül Antalpi		Özgül Entropi			
		Sıvı	Buhar	Sıvı	Buhar	Sıvı	Buhar	Sıvı	Buhar		
		<i>v'</i>	<i>v''</i>	<i>p'</i>	<i>p''</i>	<i>i'</i>	<i>i''</i>	<i>t = i' - i''</i>	<i>t'</i>		
0.01	273.16	0.006108	0.0010002	206.3	999.89	0.004847	0.00	2501	2501	0.0000	9.1544
1	274.15	0.006588	0.0010001	192.6	999.46	0.005192	4.22	2502	2498	0.0154	9.1281
2	275.15	0.007054	0.0010001	179.9	999.0	0.005559	8.42	2504	2496	0.0306	9.1018
3	276.15	0.007575	0.0010001	168.2	999.30	0.005945	12.63	2506	2493	0.0458	9.0757
4	277.15	0.008129	0.0010001	157.3	999.70	0.006357	16.81	2500	2491	0.0610	9.0498
5	278.15	0.008719	0.0010001	147.2	999.90	0.006793	21.05	2510	2489	0.0762	9.0241
6	279.15	0.009347	0.0010001	137.8	999.90	0.007257	25.25	2512	2489	0.0913	8.9978
7	280.15	0.010013	0.0010001	129.1	999.90	0.007746	29.45	2514	2485	0.1063	8.9736
8	281.15	0.010721	0.0010002	121.0	999.80	0.008264	33.55	2516	2482	0.1212	8.9485
9	282.15	0.011473	0.0010003	113.4	999.70	0.008818	37.85	2517	2479	0.1361	8.9238
10	283.15	0.012277	0.0010004	106.42	999.60	0.009398	42.04	2519	2477	0.1510	8.8934
11	284.15	0.013118	0.0010005	99.91	999.50	0.010001	46.22	2521	2475	0.1658	8.8752
12	285.15	0.014016	0.0010006	93.84	999.40	0.010666	50.41	2523	2473	0.1805	8.8513
13	286.15	0.014957	0.0010007	88.18	999.30	0.011334	54.60	2525	2470	0.1952	8.8276
14	287.15	0.015974	0.0010008	82.90	999.20	0.01206	58.74	2527	2468	0.2098	8.8040
15	288.15	0.017041	0.0010010	77.97	999.00	0.01282	62.97	2538	2465	0.2244	8.7836
16	289.15	0.018170	0.0010011	73.39	998.90	0.01363	67.16	2530	2463	0.2389	8.7574
17	290.14	0.019354	0.0010013	69.10	998.70	0.01447	71.34	2532	2461	0.2534	8.7344
18	291.15	0.020652	0.0010015	65.09	998.50	0.01536	75.53	2534	2458	0.2678	8.7116
19	292.15	0.021956	0.0010016	61.34	998.40	0.01630	79.72	2536	2456	0.2821	8.6890
20	293.15	0.023377	0.0010018	57.84	998.20	0.01729	83.90	2537	2454	0.2964	8.6665
21	294.15	0.024865	0.0010021	54.56	997.90	0.01833	89.09	2539	2451	0.3107	8.6442
22	295.15	0.026413	0.0010023	51.50	997.71	0.01942	92.27	2541	2449	0.3249	8.6220
23	296.15	0.028033	0.0010025	48.62	997.51	0.02057	96.46	2543	2447	0.3391	8.6001
24	297.15	0.029632	0.0010028	45.93	997.21	0.02172	100.63	2545	2444	0.3532	8.5785
25	298.15	0.031566	0.0010030	43.40	997.01	0.02304	104.81	2547	2442	0.3672	8.5570
26	299.15	0.033580	0.0010033	41.04	996.71	0.02437	108.99	2548	2440	0.3812	8.5358
27	300.15	0.03564	0.0010035	38.82	995.41	0.02576	113.17	2550	2437	0.3951	8.5147
28	301.15	0.037779	0.0010038	36.71	996.21	0.02723	117.35	2552	2435	0.4090	8.4938
29	302.15	0.040004	0.0010041	34.77	995.92	0.02876	121.53	2554	2432	0.4228	8.4730
30	303.15	0.04241	0.0010044	32.93	995.62	0.03037	125.71	2556	2430	0.4366	8.4523
31	304.15	0.04491	0.0010047	31.20	995.32	0.03205	129.89	2558	2428	0.4503	8.4319
32	305.15	0.04753	0.0010051	29.57	994.93	0.03382	134.07	2559	2425	0.4640	8.4117
33	306.15	0.05029	0.0010054	28.04	994.63	0.03565	138.25	2561	2423	0.4777	8.3916
34	307.15	0.05319	0.0010057	26.60	994.33	0.03759	142.42	2563	2421	0.4913	8.3716
35	308.15	0.05522	0.0010061	25.24	993.94	0.03962	146.60	2565	2418	0.5049	8.3519
36	309.15	0.05910	0.0010064	23.97	993.61	0.04172	150.78	2567	2416	0.5185	8.3323
37	310.15	0.06271	0.0010068	22.77	993.25	0.04392	154.96	2569	2414	0.5320	8.3129
38	311.15	0.06624	0.0010071	21.63	992.95	0.04623	159.14	2570	2411	0.5455	8.2938
39	312.15	0.06991	0.0010075	20.56	992.56	0.04861	163.32	2572	2409	0.5589	8.2740
40	313.15	0.07375	0.0010079	19.55	992.16	0.05115	167.50	2574	2406	0.5723	8.2559
41	314.15	0.07777	0.0010083	18.59	991.77	0.05379	171.67	2575	2403	0.5856	8.2372
42	315.15	0.08198	0.0010087	17.69	991.38	0.05653	175.86	2577	2401	0.5988	8.2187
43	316.15	0.08639	0.0010091	16.61	990.90	0.05938	180.04	2579	2399	0.6120	8.2003
44	317.15	0.09101	0.0010095	16.04	990.59	0.06234	184.22	2581	2397	0.6252	8.1820
45	318.15	0.09584	0.0010099	15.28	990.20	0.06544	188.40	2582	2394	0.6384	8.1638
46	319.15	0.10068	0.0010103	14.56	989.81	0.06868	192.50	2584	2391	0.6516	8.1451
47	320.15	0.10614	0.0010108	13.88	989.32	0.07205	196.76	2586	2389	0.6647	8.1279
48	321.15	0.11163	0.0010112	13.23	988.92	0.07559	200.93	2588	2387	0.6778	8.1102
49	322.15	0.11736	0.0010116	12.62	988.53	0.07924	205.11	2590	2385	0.6908	8.0927
50	323.15	0.12335	0.0010121	12.04	988.04	0.08305	209.3	2592	2383	0.7038	8.0753
51	324.15	0.12960	0.0010126	11.50	987.56	0.08695	213.5	2593	2380	0.7167	8.0579
52	325.15	0.13612	0.0010130	10.98	987.17	0.09107	217.7	2595	2377	0.7295	8.0407

TABLO F.1 Devam

Sıcaklık °C	Basınç K bar	Özgül Hacim		Yığunluk		Özgül Antalpi		G		Özgül Entropi	
		Sıvı	Buhar	Sıvı	Buhar	Sıvı	Buhar	G1	G2	Sıvı	Buhar
		t	r	p	v'	r'	p'	kJ/kg	kJ/kg	t'	t''
55	323.15	0.15710	0.0010115	9.578	985.71	0.1044	230.2	2600	2370	0.7679	7.4571
56	323.15	0.16510	0.0010150	9.158	985.22	0.1092	234.4	2602	2358	0.7806	7.4716
57	323.15	0.17312	0.0010155	8.757	984.74	0.1142	238.6	2604	2365	0.7933	7.4871
58	323.15	0.18146	0.0010160	8.380	984.25	0.1193	242.8	2605	2363	0.8059	7.4917
59	323.15	0.19014	0.0010166	8.020	983.67	0.1247	246.9	2608	2361	0.8185	7.4953
60	323.15	0.19917	0.0010171	7.670	983.19	0.1302	251.1	2609	2358	0.8311	7.4994
61	323.15	0.2085	0.0010177	7.353	982.61	0.1360	255.3	2611	2355	0.8435	7.5035
62	323.15	0.2184	0.0010182	7.043	982.13	0.1420	259.5	2613	2353	0.8561	7.5074
63	323.15	0.2285	0.0010188	6.749	981.55	0.1482	263.7	2614	2350	0.8686	7.5112
64	323.15	0.2391	0.0010193	6.458	981.07	0.1546	267.9	2616	2348	0.8810	7.5152
65	323.15	0.2501	0.0010199	6.201	980.49	0.1613	272.1	2617	2345	0.8934	7.5197
66	323.15	0.2615	0.0010205	5.947	979.91	0.1681	276.2	2619	2343	0.9057	7.5244
67	342.15	0.2733	0.0010210	5.705	979.41	0.1753	280.4	2621	2341	0.9180	7.5282
68	342.15	0.2855	0.0010216	5.475	978.86	0.1826	284.6	2623	2338	0.9303	7.5311
69	342.15	0.2984	0.0010222	5.255	978.28	0.1903	288.8	2625	2336	0.9426	7.5352
70	343.15	0.3117	0.0010228	5.045	977.71	0.1982	293.0	2626	2333	0.9549	7.5394
71	343.15	0.3254	0.0010234	4.816	977.14	0.2064	297.2	2628	2331	0.9672	7.5435
72	343.15	0.3396	0.0010240	4.655	976.56	0.2148	301.4	2630	2329	0.9794	7.5474
73	343.15	0.3543	0.0010246	4.473	975.99	0.2236	305.6	2631	2326	0.9916	7.5513
74	343.15	0.3695	0.0010252	4.299	975.42	0.2326	309.8	2633	2323	1.0037	7.5553
75	343.15	0.3855	0.0010258	4.133	974.85	0.2420	314.0	2635	2321	1.0157	7.5593
76	343.15	0.4019	0.0010254	3.975	974.28	0.2516	318.2	2636	2318	1.0277	7.5633
77	352.15	0.4189	0.0010270	3.824	973.71	0.2615	322.4	2638	2316	1.0396	7.5673
78	352.15	0.4365	0.0010277	3.679	973.05	0.2718	326.4	2639	2313	1.0515	7.5713
79	352.15	0.4547	0.0010283	3.540	972.48	0.2825	330.6	2641	2310	1.0634	7.5752
80	353.15	0.4735	0.0010290	3.408	971.82	0.2934	334.9	2643	2308	1.0753	7.5793
81	354.15	0.4931	0.0010297	3.282	971.16	0.3047	339.1	2645	2306	1.0872	7.5832
82	355.15	0.5133	0.0010304	3.161	970.50	0.3164	343.3	2645	2303	1.0990	7.5872
83	356.15	0.5342	0.0010310	3.045	969.93	0.3281	347.5	2643	2300	1.1107	7.5912
84	357.15	0.5558	0.0010317	2.934	969.27	0.3408	351.7	2650	2293	1.1225	7.5952
85	358.15	0.5781	0.0010324	2.828	968.62	0.3536	355.9	2651	2295	1.1342	7.5993
86	359.15	0.6011	0.0010331	2.727	967.96	0.3667	360.1	2653	2291	1.1459	7.6033
87	360.15	0.6249	0.0010338	2.629	967.31	0.3804	364.3	2655	2291	1.1576	7.5574
88	361.15	0.6495	0.0010345	2.536	966.65	0.3943	368.5	2656	2289	1.1693	7.5614
89	362.15	0.6749	0.0010352	2.447	966.00	0.4087	372.7	2653	2285	1.1809	7.5653
90	363.15	0.7011	0.0010359	2.361	965.34	0.4235	377.0	2659	2282	1.1925	7.4557
91	364.15	0.7281	0.0010366	2.279	964.69	0.4388	381.2	2651	2280	1.2041	7.4593
92	365.15	0.7560	0.0010373	2.200	964.04	0.4515	385.4	2652	2277	1.2157	7.4633
93	366.15	0.7813	0.0010381	2.124	963.30	0.4708	389.6	2654	2274	1.2272	7.4673
94	367.15	0.8145	0.0010390	2.052	962.65	0.4873	393.8	2656	2272	1.2387	7.4713
95	368.15	0.8451	0.0010396	1.982	961.91	0.5045	398.0	2658	2270	1.2502	7.4753
96	369.15	0.8767	0.0010404	1.915	961.17	0.5222	402.2	2659	2267	1.2617	7.4833
97	370.15	0.9023	0.0010412	1.851	960.43	0.5402	406.4	2651	2265	1.2731	7.4873
98	371.15	0.9129	0.0010420	1.799	959.69	0.5590	410.7	2653	2262	1.2845	7.4913
99	372.15	0.9775	0.0010427	1.730	959.05	0.5700	414.9	2654	2259	1.2958	7.4953
100	373.15	1.0131	0.0010435	1.673	958.31	0.5977	419.1	2656	2257	1.3071	7.5097
101	374.15	1.0498	0.0010443	1.618	957.58	0.6181	423.3	2657	2254	1.3184	7.5133
102	375.15	1.0876	0.0010450	1.566	956.94	0.6386	427.5	2659	2251	1.3297	7.5173
103	376.15	1.1265	0.0010458	1.515	956.21	0.6601	431.7	2660	2248	1.3409	7.5213
104	377.15	1.1666	0.0010466	1.456	955.47	0.6821	436.0	2661	2245	1.3521	7.5253
105	378.15	1.2079	0.0010474	1.419	954.75	0.7047	440.2	2663	2243	1.3632	7.5293
106	379.15	1.2504	0.0010482	1.374	954.02	0.7278	444.4	2665	2241	1.3743	7.5333
107	380.15	1.2941	0.0010490	1.331	953.29	0.7513	448.6	2667	2239	1.3853	7.5373
108	381.15	1.3390	0.0010498	1.289	952.56	0.7758	452.9	2669	2235	1.3964	7.5414
109	382.15	1.3852	0.0010507	1.249	951.75	0.8006	457.1	2689	2232	1.4074	7.5453

TABLO F.1 Devam

Sıcaklık °C	Basınç bar	Özgül Hacim		Yığunluk		Özgül Antalpi		Özgül Entröpli			
		Sıvı	Buhar	Sıvı	Buhar	Sıvı	Buhar	Sıvı	Buhar		
		ρ'	ρ''	ρ'	ρ''	r	r''	$r = r'' - r$	s'		
t	T		m^3/kg		m^3/kg	kg/m^3	kg/m^3	kJ/kg	$kJ/kg K$		
110	383.15	1.4326	0.0010515	1.210	951.02	0.8164	461.3	2691	2230	1.4184	7.2387
111	384.15	1.4314	0.0010523	1.173	950.30	0.8525	465.6	2693	2272	1.4294	7.2274
112	385.15	1.5316	0.0010532	1.137	949.49	0.8795	469.0	2694	2224	1.4404	7.2162
113	386.15	1.5931	0.0010540	1.102	948.77	0.9074	474.0	2695	2222	1.4514	7.2051
114	387.15	1.6361	0.0010549	1.069	947.96	0.9354	478.2	2697	2219	1.4624	7.1941
115	388.15	1.6905	0.0010559	1.036	947.15	0.9652	482.5	2698	2216	1.4733	7.1832
	389.15	1.7464	0.0010567	1.005	946.34	0.9950	486.7	2700	2213	1.4842	7.1721
116	390.15	1.8038	0.0010576	0.9751	945.54	1.025	491.0	2702	2211	1.4951	7.1616
117	391.15	1.8528	0.0010585	0.9465	944.73	1.055	495.2	2703	2208	1.5060	7.1509
118	392.15	1.9233	0.0010594	0.9186	943.93	1.085	499.5	2705	2205	1.5169	7.1403
119	393.15	1.9854	0.0010603	0.8917	943.13	1.121	503.7	2706	2202	1.5277	7.1298
120	394.15	2.0491	0.0010612	0.8657	942.33	1.155	507.9	2708	2200	1.5385	7.1191
121	395.15	2.1144	0.0010621	0.8407	941.53	1.189	512.2	2709	2197	1.5492	7.1089
122	396.15	2.1814	0.0010630	0.8164	940.73	1.223	516.5	2710	2194	1.5599	7.0985
123	397.15	2.2502	0.0010640	0.7930	939.95	1.261	520.8	2712	2191	1.5706	7.0801
124	398.15	2.3208	0.0010649	0.7704	939.06	1.293	525.0	2713	2188	1.5814	7.0777
125	399.15	2.3932	0.0010658	0.7486	938.26	1.336	529.2	2715	2186	1.5922	7.0674
126	400.15	2.4674	0.0010668	0.7276	937.38	1.371	533.4	2716	2183	1.6029	7.0573
127	401.15	2.5434	0.0010677	0.7071	936.59	1.411	537.7	2718	2180	1.6135	7.0472
128	402.15	2.6213	0.0010687	0.6880	935.72	1.451	542.0	2719	2177	1.6240	7.0372
129	403.15	2.7011	0.0010697	0.6683	934.84	1.496	546.3	2721	2174	1.6354	7.0272
130	404.15	2.7829	0.0010707	0.6499	933.97	1.539	550.5	2722	2171	1.6450	7.0173
131	SC-1.15	2.8668	0.0010717	0.6321	933.10	1.582	554.8	2723	2168	1.6555	7.0074
132	405.15	2.9528	0.0010727	0.6148	932.23	1.626	559.0	2724	2165	1.6653	6.9976
133	407.15	3.041	0.0010737	0.5981	931.35	1.672	563.2	2725	2162	1.6764	6.9878
134	408.15	3.130	0.0010747	0.5820	930.49	1.718	567.5	2727	2159	1.6869	6.9781
135	409.15	3.222	0.0010757	0.5661	929.63	1.765	571.0	2728	2156	1.6973	6.9685
136	410.15	3.317	0.0010767	0.5512	928.76	1.814	576.1	2730	2151	1.7078	6.9509
137	411.15	3.414	0.0010777	0.5366	927.90	1.864	580.4	2731	2151	1.7183	6.9493
138	412.15	3.511	0.0010783	0.5224	926.96	1.914	584.7	2733	2148	1.7278	6.9398
139	413.15	3.614	0.0010790	0.5087	926.10	1.966	589.0	2734	2145	1.7392	6.9304
140	414.15	3.717	0.0010808	0.4953	925.24	2.019	593.3	2735	2142	1.7495	6.9211
141	415.15	3.823	0.0010819	0.4824	924.30	2.073	597.6	2737	2139	1.7599	6.9117
142	416.15	3.931	0.0010829	0.4699	923.45	2.128	601.9	2738	2136	1.7702	6.9024
143	417.15	4.042	0.0010840	0.4579	922.51	2.184	606.2	2739	2133	1.7801	6.8932
144	418.15	4.155	0.0010851	0.4461	921.57	2.242	610.5	2740	2130	1.7907	6.8839
145	419.15	4.271	0.0010862	0.4347	920.64	2.300	614.0	2742	2127	1.8009	6.8747
146	420.15	4.389	0.0010873	0.4237	919.71	2.360	619.1	2743	2124	1.8112	6.8655
147	421.15	4.510	0.0010881	0.4110	918.70	2.421	623.3	2744	2121	1.8214	6.8564
148	422.15	4.634	0.0010895	0.4026	917.85	2.484	627.8	2745	2117	1.8316	6.8473
149	423.15	4.760	0.0010905	0.3926	916.93	2.547	632.2	2745	2114	1.8410	6.8383
150	424.15	4.889	0.0010917	0.3828	916.00	2.612	636.6	2749	2111	1.8520	6.8293
151	425.15	5.020	0.0010928	0.3733	915.08	2.679	641.0	2749	2108	1.8622	6.8204
152	426.15	5.155	0.0010939	0.3641	914.16	2.746	645.3	2750	2105	1.8723	6.8115
153	427.15	5.293	0.0010950	0.3552	913.24	2.815	649.6	2752	2102	1.8824	6.8027
154	428.15	5.433	0.0010962	0.3466	912.24	2.885	653.9	2751	2099	1.8924	6.7940
155	429.15	5.576	0.0010974	0.3381	911.24	2.955	658.2	2754	2096	1.9025	6.7854
156	430.15	5.723	0.0010986	0.3299	910.25	3.030	662.5	2755	2092	1.9125	6.7768
157	431.15	5.872	0.0010998	0.3220	909.26	3.106	666.9	2756	2089	1.9226	6.7681
158	432.15	6.024	0.0011009	0.3143	908.35	3.182	671.2	2757	2086	1.9326	6.7595
159	433.15	6.180	0.0011021	0.3068	907.36	3.258	675.6	2758	2082	1.9427	6.7508
160	434.15	6.339	0.0011033	0.2996	906.37	3.338	679.9	2759	2079	1.9527	6.7421
161	435.15	6.502	0.0011044	0.2925	905.47	3.415	684.2	2760	2076	1.9627	6.7335
162	436.15	6.667	0.0011056	0.2856	904.49	3.500	688.6	2761	2072	1.9726	6.7250
163	437.15	6.836	0.0011069	0.2790	903.42	3.581	692.9	2762	2069	1.9825	6.7165

TABLO F.2 Su buharının kızgın buhar tablosu *

BÜYÜKLÜK		0.01 bar			0.04 bar			0.05 bar			0.06 bar		
Sıcaklık	t _s = 6.92 °C t ['] = 2.511 kJ/kg v ^{''} = 129.9 m ³ /kg s ^{'''} = 8.975 kJ/kg K	t _s = 8.979 °C t ['] = 2.554 kJ/kg v ^{''} = 14.01 m ³ /kg s ^{'''} = 8.473 kJ/kg K	t _s = 32.88 °C t ['] = 2.561 kJ/kg v ^{''} = 28.19 m ³ /kg s ^{'''} = 8.393 kJ/kg K	t _s = 36.18 °C t ['] = 2.567 kJ/kg v ^{''} = 23.74 m ³ /kg s ^{'''} = 8.328 kJ/kg K									
t	T	v	i	s	v	i	s	v	i	s	v	i	s
°C	K	m ³ /kg	kJ/kg	kJ/kg K	m ³ /kg	kJ/kg	kJ/kg K	m ³ /kg	kJ/kg	kJ/kg K	m ³ /kg	kJ/kg	kJ/kg K
0	273.15	0.0010002	0.0	0.0000	0.0010002	0.0	0.0000	0.0010002	0.0	0.0000	0.0010002	0.0	0.0000
10	283.15	131.3	2518	8.955	0.0010003	41.9	0.1511	0.0010003	41.9	0.1511	0.0010003	41.9	0.1511
20	293.15	135.0	2527	9.056	0.0010004	81.7	0.2054	0.0010004	81.7	0.2054	0.0010004	83.7	0.2064
30	303.15	140.7	2556	9.117	34.95	2556	0.270	0.0010004	125.6	0.4163	0.0010004	125.6	0.4163
40	313.15	145.4	2575	9.178	36.12	2574	0.517	20.87	2574	8.414	24.72	2574	8.350
50	323.15	150.0	2594	9.238	37.29	2593	8.595	29.80	2593	8.492	24.82	2593	8.407
60	333.15	154.7	2613	9.296	38.45	2612	8.651	30.73	2612	8.549	25.59	2612	8.461
70	343.15	159.4	2632	9.352	39.60	2631	8.707	31.65	2631	8.605	26.36	2631	8.520
80	353.15	164.0	2651	9.406	40.75	2650	8.762	32.58	2650	8.659	27.11	2650	8.574
90	363.15	169.7	2669	9.459	41.91	2669	8.815	33.50	2669	8.712	27.91	2669	8.627
100	373.15	173.3	2688	9.510	43.07	2688	8.867	34.43	2688	8.764	28.68	2688	8.679
110	383.15	177.9	2707	9.560	44.23	2707	0.917	35.35	2707	8.814	29.45	2707	8.729
120	393.15	182.6	2726	9.609	45.39	2726	8.965	36.28	2726	8.863	30.22	2726	8.778
130	403.15	187.2	2745	9.656	46.54	2745	9.014	37.20	2745	8.911	30.99	2745	8.826
140	413.15	191.9	2764	9.703	47.69	2764	9.060	38.13	2764	8.957	31.76	2764	8.873
150	423.15	196.5	2783	9.748	48.85	2783	9.107	39.05	2783	9.002	32.53	2783	8.918
160	433.15	201.1	2801	9.793	50.01	2801	9.150	39.98	2801	9.047	33.30	2801	8.963
170	443.15	205.8	2822	9.837	51.16	2822	9.193	40.90	2822	9.072	34.07	2822	9.007
180	453.15	210.4	2841	9.880	52.31	2841	9.233	41.83	2841	9.115	34.84	2841	9.050
190	463.15	215.1	2860	9.922	53.47	2860	9.280	42.75	2860	9.177	35.61	2860	9.092
200	473.15	219.8	2880	9.963	54.63	2880	9.321	43.68	2880	9.219	36.38	2880	9.134
210	483.15	224.4	2899	10.004	55.78	2899	9.362	44.60	2899	9.259	37.15	2899	9.175
220	493.15	229.1	2918	10.044	56.93	2918	9.401	45.53	2918	9.299	37.92	2918	9.215
230	503.15	233.7	2938	10.083	58.09	2938	9.441	46.45	2938	9.338	38.69	2938	9.254
240	513.15	238.3	2958	10.121	59.24	2958	9.471	47.37	2958	9.376	39.46	2958	9.292
250	523.15	243.0	2977	10.159	60.40	2977	9.511	48.30	2977	9.414	40.23	2977	9.330
260	533.15	247.6	2997	10.196	61.55	2997	9.551	49.22	2997	9.451	41.00	2997	9.367
270	553.15	256.9	3037	10.263	63.87	3037	9.627	51.07	3037	9.521	42.51	3037	9.440
280	573.15	266.2	3077	10.310	66.18	3077	9.692	52.92	3077	9.595	44.08	3077	9.511
290	583.15	270.8	3097	10.374	67.33	3097	9.711	53.84	3097	9.630	44.85	3097	9.545
300	593.15	275.4	3117	10.403	68.49	3117	9.766	54.77	3117	9.664	45.62	3117	9.579
310	603.15	280.1	3137	10.441	69.64	3137	9.800	55.69	3137	9.697	46.39	3137	9.613
320	513.15	284.8	3157	10.474	70.80	3157	9.833	56.62	3157	9.730	47.16	3157	9.645
330	623.15	289.5	3177	10.507	71.95	3177	9.866	57.54	3177	9.763	47.93	3177	9.673
340	633.15	294.1	3198	10.539	73.11	3198	9.909	58.47	3198	9.796	48.70	3198	9.711
350	653.15	103.4	3218	10.403	75.42	3218	9.962	60.32	3218	9.859	50.24	3218	9.775
360	673.15	312.5	3238	10.665	77.73	3238	10.024	62.16	3238	9.921	51.78	3238	9.837
370	683.15	317.3	3258	10.695	78.89	3258	10.055	63.08	3258	9.952	52.55	3258	9.868
380	693.15	321.9	3278	10.726	80.04	3278	10.085	64.00	3278	9.982	53.32	3278	9.893
390	703.15	326.5	3298	10.756	81.20	3298	10.115	64.92	3298	10.012	54.09	3298	9.923
400	713.15	331.2	3318	10.786	82.35	3318	10.145	65.85	3318	10.012	54.85	3318	9.953
410	723.15	335.0	3338	10.815	83.51	3338	10.174	66.77	3338	10.071	55.63	3338	9.987
420	733.15	340.5	3365	10.844	84.65	3365	10.203	67.70	3365	10.100	56.10	3365	10.016
430	753.15	349.0	3418	10.902	85.97	3418	10.261	69.54	3418	10.159	57.94	3418	10.074
450	773.15	359.0	3490	10.958	89.20	3490	10.317	71.39	3490	10.214	59.84	3490	10.130
460	783.15	363.7	3512	10.986	90.44	3512	10.345	72.31	3512	10.242	60.25	3512	10.158
470	793.15	358.1	3513	11.014	91.53	3513	10.373	73.24	3513	10.270	61.02	3513	10.186
480	803.15	372.9	3555	11.041	92.75	3555	10.400	74.16	3555	10.297	61.79	3555	10.213
490	813.15	377.6	3576	11.068	93.90	3576	10.427	75.09	3576	10.324	62.56	3576	10.240
500	823.15	382.2	3590	11.095	95.05	3590	10.454	76.01	3590	10.351	63.34	3590	10.267
510	833.15	386.9	3612	11.122	96.22	3612	10.481	76.94	3612	10.378	64.11	3612	10.291
520	853.15	396.2	3663	11.174	98.53	3663	10.513	78.79	3663	10.430	65.65	3663	10.346
530	873.15	405.6	3707	11.226	100.64	3707	10.545	80.64	3707	10.482	67.19	3707	10.398
540	883.15	410.2	3729	11.251	102.00	3729	10.610	81.57	3729	10.507	67.95	3729	10.423
550	893.15	414.8	3751	11.276	103.15	3751	10.615	82.19	3751	10.532	68.73	3751	10.448
560	903.15	419.4	3773	11.301	104.31	3773	10.640	83.42	3773	10.557	69.50	3773	10.473
570	913.15	424.1	3795	11.325	105.45	3795	10.664	84.34	3795	10.581	70.27	3795	10.497
580	923.15	428.7	3818	11.349	106.62	3818	10.709	85.27	3818	10.605	71.04	3818	20.521
590	933.15	433.4	3841	11.373	107.77	3841	10.733	86.19	3841	10.629	71.81	3841	10.545
600	933.15	442.6	3889	11.421	110.03	3889	10.781	88.04	3889	10.677	73.35	3889	10.593
610	973.15	451.9	3931	11.468	112.39	3931	10.828	89.08	3931	10.725	74.89	3931	10.640

TABLO F. 2 Devam

Basilig		0.20 bar			0.30 bar			0.40 bar			0.50 bar		
T °C	K	v m³/kg	i kJ/kg	s kJ/kg K	v m³/kg	i kJ/kg	s kJ/kg K	v m³/kg	i kJ/kg	s kJ/kg K	v m³/kg	i kJ/kg	s kJ/kg K
0	273.15	0.0010002	0.0	0.0000	0.0010002	0.0	0.0000	0.0010002	0.0	0.0000	0.0010001	0.1	0.0000
10	283.15	0.0010003	41.9	0.1511	0.0010003	41.9	0.1511	0.0010003	41.9	0.1511	0.0010003	42.0	0.1511
20	293.15	0.0010018	83.7	0.2964	0.0010018	83.7	0.2964	0.0010018	83.7	0.2964	0.0010018	83.8	0.1964
30	303.15	0.0010044	125.6	0.4163	0.0010044	125.6	0.4163	0.0010044	125.6	0.4163	0.0010044	125.6	0.4163
40	313.15	0.0010079	167.5	0.5715	0.0010079	167.5	0.5715	0.0010079	167.5	0.5715	0.0010079	167.5	0.5715
50	323.15	0.0010121	209.3	0.7030	0.0010121	209.3	0.7030	0.0010121	209.3	0.7031	0.0010121	209.3	0.7031
60	333.15	0.0010171	251.1	0.8107	0.0010171	251.1	0.8107	0.0010171	251.1	0.8107	0.0010171	251.1	0.8107
70	343.15	7.887	2629	7.361	5.268	2627	7.770	0.0010228	293.0	0.9546	0.0010228	293.0	0.9546
80	353.15	8.119	2648	8.015	5.400	2646	7.025	4.080	2645	7.690	0.0010290	334.9	1.0748
90	363.15	8.351	2667	8.068	5.557	2666	7.879	4.163	2665	7.745	3.324	2663	7.640
100	373.15	8.584	2687	8.120	5.713	2685	7.931	4.282	2684	7.798	3.420	2683	7.693
110	383.15	8.816	2706	8.171	5.869	2705	7.982	4.399	2704	7.849	3.514	2703	7.745
120	393.15	9.049	2725	8.220	6.025	2724	8.031	4.516	2723	7.699	3.603	2722	7.795
130	403.15	9.281	2744	8.268	6.100	2743	8.079	4.633	2742	7.447	3.702	2741	7.843
140	413.15	9.513	2763	8.315	6.335	2762	8.126	4.750	2761	7.995	3.795	2761	7.090
150	423.15	9.745	2782	8.361	6.490	2782	8.172	4.866	2781	8.041	3.839	2780	7.916
160	433.15	9.977	2801	8.406	6.645	2801	8.217	4.982	2800	8.036	3.992	2799	7.981
170	443.15	10.209	2821	8.450	6.800	2820	8.261	5.099	2819	8.110	4.075	2019	8.075
180	453.15	10.441	2840	8.493	6.955	2839	8.301	5.215	2838	8.173	4.169	2838	8.069
190	463.15	10.673	2859	8.535	7.110	2859	8.345	5.331	2858	8.215	4.262	2850	8.111
200	473.15	10.905	2879	8.576	7.264	2878	8.382	5.447	2870	8.356	4.355	2877	8.152
210	483.15	11.137	2898	8.617	7.419	2898	8.427	5.561	2897	8.297	4.443	2897	8.193
220	493.15	11.369	2918	8.657	7.573	2917	8.467	5.680	2917	8.337	4.540	2916	8.233
230	503.15	11.600	2937	8.696	7.723	2937	8.503	5.795	2937	8.376	4.633	2936	8.171
240	513.15	11.832	2957	8.735	7.882	2956	8.541	5.912	2956	8.415	4.726	2956	8.311
250	523.15	12.064	2976	8.773	8.037	2976	8.585	6.028	2976	8.453	4.019	2975	8.149
260	533.15	12.295	2995	8.810	8.191	2996	8.623	6.144	2995	8.490	4.912	2995	8.386
270	553.15	12.758	3036	8.883	8.500	3036	8.693	6.376	3035	8.561	5.098	3035	8.460
280	573.15	13.220	3077	8.954	8.009	3076	8.766	6.608	3076	8.675	5.284	3076	8.531
290	583.15	13.452	3097	8.999	8.964	3096	8.801	6.723	3096	8.669	5.377	3096	8.565
300	593.15	13.683	3117	9.023	9.110	3116	8.936	6.839	3116	8.703	5.470	3116	8.599
310	603.15	13.914	3137	9.057	9.272	3136	8.864	6.954	3136	8.737	5.563	3136	8.633
320	613.15	14.145	3157	9.090	9.426	3157	9.001	7.070	3156	8.770	5.655	3156	8.666
330	623.15	14.376	3177	9.121	9.530	3177	9.035	7.185	3177	8.803	5.749	3176	8.699
340	633.15	14.606	3198	9.155	9.734	3198	9.067	7.301	3197	8.835	5.841	3197	8.731
350	653.15	15.068	3230	9.219	10.042	3238	9.031	7.573	3238	8.899	6.027	3237	8.795
360	673.15	15.530	3280	9.281	10.351	3280	9.093	7.765	3279	8.982	6.312	3279	8.858
370	683.15	15.761	3301	9.312	10.505	3300	9.124	7.830	3300	8.997	6.304	3300	8.839
380	693.15	15.992	3321	9.342	10.659	3321	9.155	7.996	3321	9.022	6.397	3320	8.919
390	703.15	16.220	3342	9.372	10.813	3342	9.185	8.112	3341	9.031	6.487	3341	8.949
400	713.15	16.45	3363	9.402	10.967	3363	9.215	8.220	3362	9.053	6.582	3362	8.979
410	723.15	16.60	3384	9.431	11.121	3384	9.244	8.343	3383	9.112	6.674	3383	9.008
420	733.15	16.80	3405	9.460	11.275	3405	9.273	8.459	3404	9.141	6.765	3404	9.017
430	753.15	17.36	3440	9.518	11.503	3447	9.331	8.690	3447	9.193	6.951	3447	9.095
440	773.15	17.62	3490	9.575	11.891	3490	9.388	8.921	3490	9.255	7.135	3489	9.152
450	783.15	18.05	3512	9.603	12.045	3512	9.416	9.046	3511	9.334	7.223	3511	9.180
460	793.15	18.28	3533	9.631	12.199	3533	9.441	9.152	3532	9.311	7.311	3532	9.208
470	803.15	18.52	3555	9.659	12.351	3555	9.472	9.267	3554	9.319	7.411	3554	9.236
480	813.15	18.75	3576	9.686	12.507	3576	9.499	9.382	3576	9.366	7.506	3576	9.263
490	823.15	18.99	3598	9.713	12.661	3598	9.526	9.498	3597	9.391	7.592	3597	9.290
500	833.15	19.22	3619	9.739	12.815	3619	9.552	9.610	3619	9.419	7.690	3619	9.316
510	853.15	19.69	3663	9.791	13.123	3663	9.604	9.843	3663	9.471	7.874	3663	9.368
520	873.15	20.15	3707	9.842	13.430	3707	9.655	10.074	3707	9.523	8.053	3707	9.419
530	883.15	20.38	3729	9.867	13.584	3729	9.660	10.190	3729	9.547	8.150	3729	9.444
540	893.15	20.61	3751	9.892	13.738	3751	9.705	10.305	3751	9.572	8.242	3741	9.469
550	903.15	20.84	3773	9.917	13.892	3773	9.730	10.420	3773	9.597	8.335	3773	9.494
560	913.15	21.07	3796	9.942	14.046	3796	9.755	10.536	3795	9.622	8.427	3795	9.519
570	923.15	21.30	3818	9.966	14.200	3818	9.779	10.651	3818	9.646	8.520	3818	9.543
580	933.15	21.53	3841	9.990	14.353	3841	9.801	10.767	3840	9.670	8.612	3840	9.567
590	953.15	21.99	3896	10.038	14.661	3896	9.851	10.998	3895	9.718	8.797	3895	9.615
600	973.15	22.45	3931	10.085	14.969	3931	9.893	11.220	3930	9.765	8.992	3930	9.662

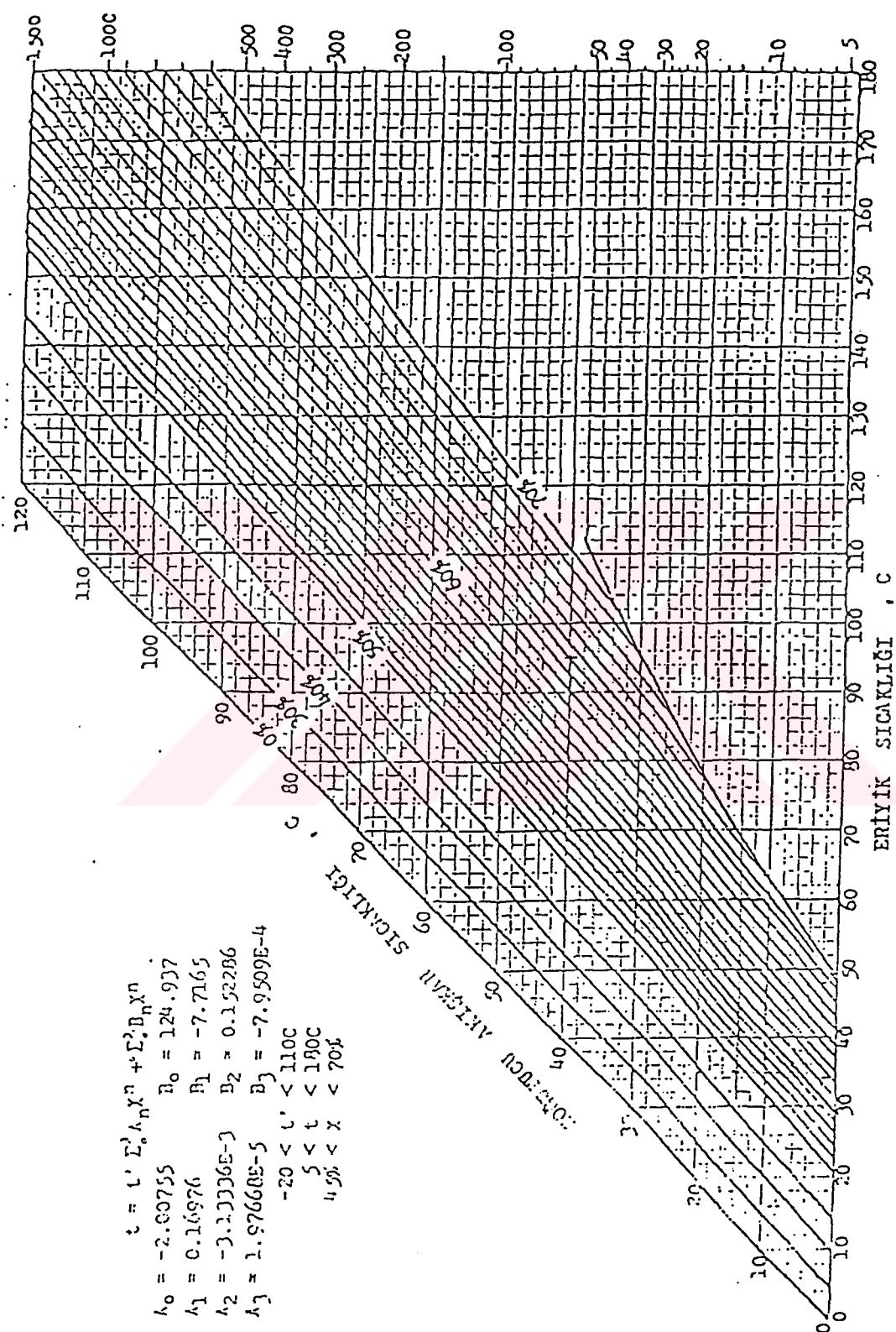
TABLO F.2 Devam

Basilig		0.07 bar			0.08 bar			0.09 bar			0.10 bar		
Sicaklik		$t_s = 39.03^\circ\text{C}$	$t_s = 41.54^\circ\text{C}$	$t_s = 43.79^\circ\text{C}$	$t_s = 45.84^\circ\text{C}$								
t	T	v	i	s	v	i	s	v	i	s	v	i	s
'C	K	m³/kg	kJ/kg	kJ/kg K	m³/kg	kJ/kg	kJ/kg K	m³/kg	kJ/kg	kJ/kg K	m³/kg	kJ/kg	kJ/kg K
0	273.15	0.0010002	0.0	0.0000	0.0010002	0.0	0.0000	0.0010002	0.0	0.0000	0.0010002	0.0	0.0000
10	283.15	0.0010003	41.9	0.1511	0.0010003	41.9	0.1511	0.0010003	41.9	0.1511	0.0010003	41.9	0.1511
20	293.15	0.0010004	83.7	0.2964	0.0010004	83.7	0.2964	0.0010004	83.7	0.2964	0.0010004	83.7	0.2964
30	303.15	0.0010004	125.6	0.4363	0.0010004	125.6	0.4363	0.0010004	125.6	0.4363	0.0010004	125.6	0.4363
40	313.15	20.94	237.4	0.5779	0.0010079	167.5	0.5715	0.0010079	167.5	0.5715	0.0010079	167.5	0.5715
50	323.15	21.27	259.3	0.316	18.61	259.3	0.274	16.57	259.3	0.220	15.00	259.2	0.170
60	333.15	21.94	261.2	0.393	19.19	261.2	0.331	17.09	261.2	0.277	15.35	261.1	0.227
70	343.15	22.60	263.1	0.419	19.76	263.1	0.307	17.61	263.1	0.333	15.81	263.0	0.281
80	353.15	23.26	265.0	0.503	20.31	265.0	0.411	18.12	265.0	0.307	16.27	264.9	0.337
90	363.15	23.92	266.9	0.556	20.92	266.9	0.494	18.64	266.9	0.410	16.74	266.9	0.390
100	373.15	24.58	268.8	0.600	21.50	268.8	0.546	19.16	268.8	0.492	17.20	268.8	0.442
110	383.15	25.24	270.7	0.650	22.08	270.7	0.596	19.67	270.7	0.512	17.67	270.7	0.493
120	393.15	25.90	272.6	0.707	22.26	272.6	0.645	20.19	272.6	0.591	18.13	272.6	0.542
130	403.15	26.56	274.5	0.755	23.24	274.5	0.693	20.70	274.5	0.639	18.59	274.5	0.589
140	413.15	27.22	276.4	0.802	23.02	276.4	0.740	21.22	276.4	0.606	19.06	276.4	0.636
150	423.15	27.88	278.3	0.817	24.40	278.3	0.785	21.73	278.3	0.731	19.52	278.3	0.682
160	433.15	28.54	280.2	0.892	24.97	280.2	0.830	22.25	280.2	0.776	19.90	280.2	0.727
170	443.15	29.20	282.2	0.916	25.55	282.2	0.874	22.76	282.2	0.820	20.41	282.2	0.771
180	453.15	29.86	284.1	0.979	26.11	284.1	0.917	23.28	284.1	0.863	20.90	284.1	0.811
190	463.15	30.52	286.0	0.921	26.71	286.0	0.959	23.79	286.0	0.905	21.36	286.0	0.856
200	473.15	31.18	288.0	0.962	27.29	288.0	0.900	24.31	288.0	0.916	21.80	287.9	0.897
210	483.15	31.84	289.9	0.903	27.86	289.9	0.911	24.81	289.9	0.927	22.30	289.9	0.938
220	493.15	32.50	291.8	0.943	28.44	291.8	0.931	25.34	291.8	0.917	22.76	291.8	0.978
230	503.15	33.16	293.8	0.982	29.02	293.8	0.910	25.86	293.8	0.946	23.22	293.8	0.917
240	513.15	33.82	295.7	0.921	29.60	295.7	0.959	26.37	295.7	0.905	23.60	295.7	0.956
250	523.15	34.40	297.7	0.959	30.10	297.7	0.917	26.89	297.7	0.943	24.14	297.7	0.944
260	533.15	35.14	299.7	0.935	30.75	299.7	0.934	27.40	299.7	0.910	24.60	299.7	0.911
270	551.15	36.46	301.7	0.969	31.90	301.7	0.906	28.11	301.7	0.923	25.53	301.7	0.930
280	573.15	37.78	307.7	0.949	31.06	307.7	0.937	29.16	307.7	0.923	26.46	307.7	0.974
290	583.15	38.44	309.7	0.974	31.64	309.7	0.912	29.98	309.7	0.950	26.92	309.7	0.939
300	593.15	39.10	311.7	0.908	34.72	311.7	0.946	30.49	311.7	0.939	27.38	311.7	0.911
310	401.15	39.76	313.7	0.941	34.79	313.7	0.903	31.00	313.7	0.926	27.81	313.7	0.937
320	413.15	40.42	315.7	0.971	35.37	315.7	0.913	31.51	315.7	0.939	28.30	315.7	0.940
330	423.15	41.08	317.7	0.907	35.94	317.7	0.946	32.03	317.7	0.949	28.76	317.7	0.943
340	433.15	41.74	319.8	0.940	36.52	319.8	0.970	32.54	319.8	0.954	29.21	319.8	0.975
350	453.15	43.06	323.8	0.903	37.69	323.8	0.941	33.57	323.8	0.930	29.68	323.8	0.939
360	473.15	44.38	328.0	0.965	38.04	328.0	0.904	34.60	328.0	0.950	31.08	328.0	0.960
370	483.15	45.04	330.1	0.926	37.41	330.1	0.935	35.12	330.1	0.981	31.51	330.1	0.932
380	493.15	45.70	332.1	0.926	39.98	332.1	0.965	35.63	332.1	0.911	32.00	332.1	0.962
390	503.15	46.36	334.2	0.986	40.56	334.2	0.975	36.15	334.2	0.941	32.46	334.2	0.952
400	513.15	47.02	336.3	0.986	41.14	336.3	0.925	36.66	336.3	0.971	32.93	336.3	0.972
410	523.15	47.68	338.4	0.916	41.72	338.4	0.951	37.19	338.4	0.900	33.39	338.4	0.971
420	533.15	48.34	340.5	0.945	42.30	340.5	0.988	37.69	340.5	0.929	33.85	340.5	0.969
430	553.15	49.66	341.0	10.002	43.46	341.0	0.941	38.72	341.0	0.987	34.77	341.0	0.913
440	573.15	50.28	342.0	10.059	44.61	342.0	0.997	39.75	342.0	0.943	35.70	342.0	0.995
450	583.15	51.64	351.2	10.006	45.10	351.2	10.025	40.27	351.2	0.971	36.16	351.2	0.992
460	593.15	52.30	353.3	10.114	45.74	353.3	10.051	40.78	353.3	0.999	36.61	353.3	0.990
470	593.15	52.90	355.4	10.142	46.14	355.4	10.080	41.30	355.4	10.026	37.04	355.5	0.977
480	603.15	53.62	357.6	10.169	46.91	357.6	10.107	41.81	357.6	10.053	37.55	357.6	10.001
490	623.15	54.28	359.8	10.194	47.49	359.8	10.114	42.32	359.8	10.080	38.01	359.8	10.011
500	633.15	54.94	361.9	10.223	48.07	361.9	10.161	42.83	361.9	10.107	38.47	361.9	10.058
510	653.15	56.26	366.1	10.275	49.33	366.1	10.213	43.06	366.1	10.159	39.40	366.1	10.110
520	673.15	57.58	370.2	10.322	50.13	370.2	10.265	44.09	370.2	10.211	40.32	370.2	10.162
530	683.15	58.24	372.9	10.352	50.95	372.9	10.290	45.10	372.9	10.216	40.70	372.9	10.187
540	693.15	58.90	375.1	10.377	51.53	375.1	10.315	45.92	375.1	10.261	41.24	375.1	10.212
550	703.15	59.56	377.3	10.402	52.11	377.3	10.340	46.13	377.3	10.286	41.70	377.3	10.237
560	713.15	60.22	379.5	10.426	52.69	379.5	10.365	46.95	379.5	10.311	42.17	379.6	10.262
570	723.15	60.88	381.8	10.450	53.27	381.8	10.389	47.46	381.8	10.355	42.63	381.8	10.286
580	733.15	61.54	384.1	10.474	53.81	384.1	10.413	47.98	384.1	10.359	43.10	384.1	10.310
590	753.15	62.86	388.6	10.522	54.99	388.6	10.461	49.01	388.6	10.407	44.02	388.6	10.350
600	773.15	64.17	393.1	10.569	56.15	393.1	10.500	50.04	393.1	10.454	44.94	393.1	10.405

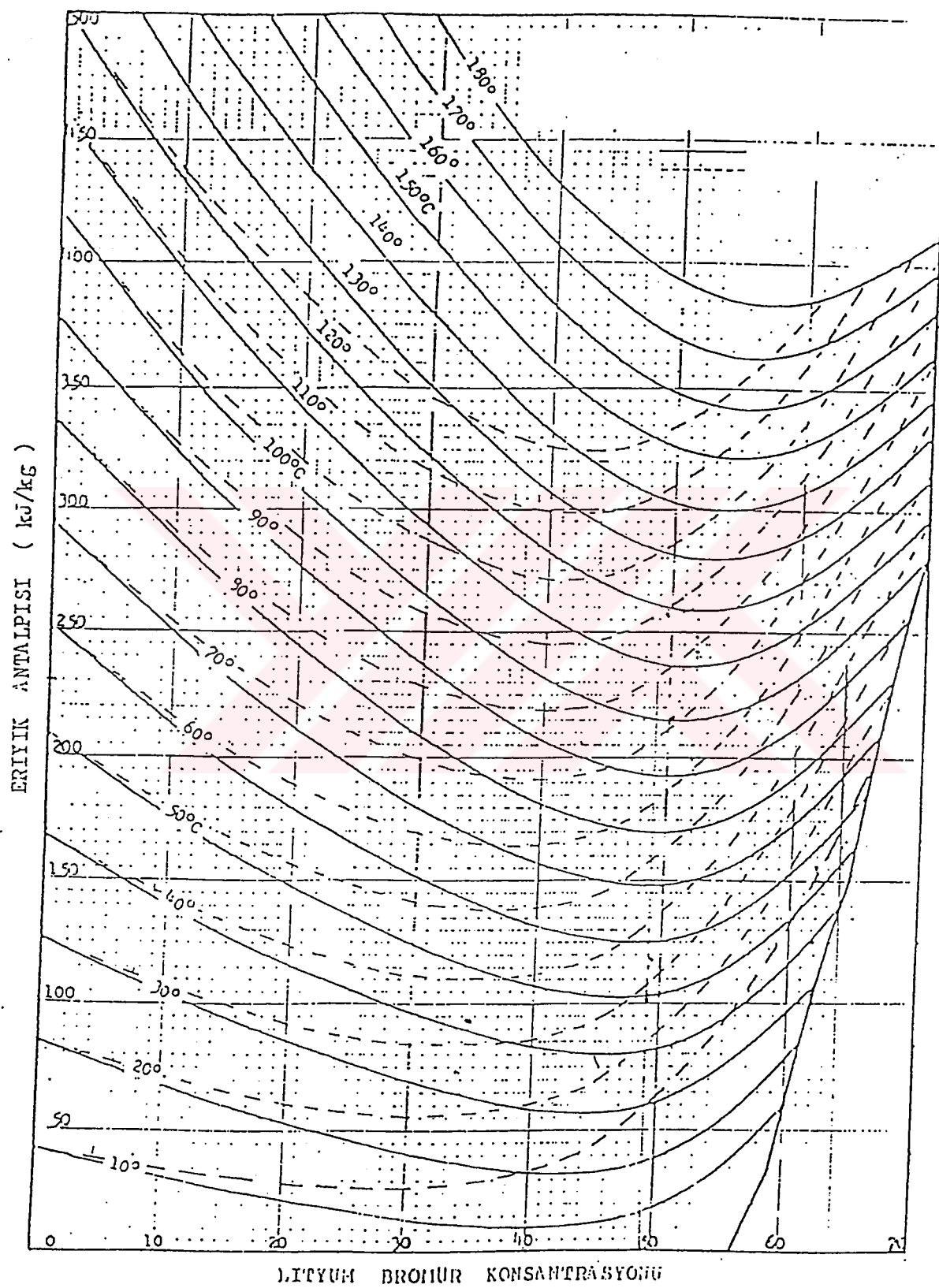
TABLO F.2 Devam

Basilic		0.12 bar			0.14 bar			0.16 bar			0.18 bar		
Sıcaklık	T	$t_s = 19.15^\circ\text{C}$		$t_s = 52.58^\circ\text{C}$		$t_s = 55.34^\circ\text{C}$		$t_s = 57.82^\circ\text{C}$		$t_s = 60.05^\circ\text{C}$			
		$v'' = 2.591 \text{ m}^3/\text{kg}$	$u'' = 12.35 \text{ m}^2/\text{kg}$	$v'' = 2.596 \text{ m}^3/\text{kg}$	$u'' = 10.69 \text{ m}^2/\text{kg}$	$v'' = 2.601 \text{ m}^3/\text{kg}$	$u'' = 9.429 \text{ m}^2/\text{kg}$	$v'' = 2.604 \text{ m}^3/\text{kg}$	$u'' = 8.444 \text{ m}^2/\text{kg}$	$v'' = 2.605 \text{ m}^3/\text{kg}$	$u'' = 7.984 \text{ m}^2/\text{kg}$	$v'' = 7.944 \text{ m}^3/\text{kg}$	
t	T	v	i	s	v	i	s	v	i	s	v	i	s
°C	K	m ³ /kg	kJ/kg	kJ/kg K	m ³ /kg	kJ/kg	kJ/kg K	m ³ /kg	kJ/kg	kJ/kg K	m ³ /kg	kJ/kg	kJ/kg K
0	273.15	0.0010002	-0.0	0.0000	0.0010002	-0.0	0.0000	0.0010002	-0.0	0.0000	0.0010002	-0.0	0.0000
10	283.15	0.0010003	41.9	0.1511	0.0010003	41.9	0.1511	0.0010003	41.9	0.1511	0.0010003	41.9	0.1511
20	293.15	0.0010018	81.7	0.2964	0.0010018	83.7	0.2964	0.0010018	83.7	0.2964	0.0010018	83.7	0.2964
30	303.15	0.0010044	125.6	0.4163	0.0010044	125.6	0.4163	0.0010044	125.6	0.4163	0.0010044	125.6	0.4163
40	313.15	0.0010079	167.5	0.5715	0.0010079	167.5	0.5715	0.0010079	167.5	0.5715	0.0010079	167.5	0.5715
50	323.15	12.44	2592	8.085	0.0010121	209.3	0.7331	0.0010121	209.3	0.7330	0.0010121	209.3	0.7330
60	333.15	12.70	2611	8.143	10.95	2611	8.071	9.573	2610	8.009	8.197	2610	7.954
70	343.15	13.17	2630	8.199	11.28	2630	8.127	9.867	2629	8.055	8.764	2629	8.010
80	353.15	13.55	2649	8.253	11.61	2649	8.191	10.160	2649	8.120	9.024	2648	8.054
90	363.15	13.94	2668	8.305	11.94	2668	8.235	10.450	2668	8.173	9.283	2667	8.117
100	373.15	14.33	2687	8.358	12.27	2687	8.297	10.749	2687	8.225	9.542	2687	8.169
110	383.15	14.72	2706	8.408	12.61	2706	8.237	11.030	2706	8.275	9.809	2706	8.220
120	393.15	15.10	2725	8.457	12.94	2725	8.306	11.320	2725	8.324	10.058	2725	8.269
130	403.15	15.49	2744	8.505	13.27	2744	8.431	11.610	2744	8.372	10.316	2744	8.317
140	413.15	15.87	2763	8.552	13.60	2763	8.401	11.929	2763	8.419	10.574	2763	8.364
150	423.15	16.26	2783	8.598	13.93	2782	8.527	12.109	2782	8.465	10.832	2782	8.410
160	433.15	16.64	2802	8.643	14.24	2802	8.572	12.178	2802	8.510	11.090	2802	8.455
170	443.15	17.03	2822	8.687	14.59	2821	8.616	12.740	2821	8.554	11.347	2821	8.492
180	453.15	17.42	2841	8.730	14.92	2840	8.659	13.057	2840	8.597	11.605	2840	8.542
190	463.15	17.80	2860	8.772	15.25	2860	8.701	13.346	2860	8.639	11.062	2860	8.584
200	473.15	18.17	2879	8.813	15.58	2879	8.712	13.635	2879	8.680	12.120	2879	8.635
210	483.15	18.57	2898	8.851	15.91	2898	8.783	13.924	2898	8.721	12.377	2898	8.666
220	493.15	18.96	2918	8.894	16.24	2918	8.823	14.213	2918	8.761	12.634	2918	8.706
230	503.15	19.34	2937	9.023	16.57	2937	8.862	14.502	2937	8.800	12.892	2937	8.745
240	513.15	19.73	2957	9.072	16.90	2957	8.900	14.790	2957	8.838	13.149	2957	8.784
250	523.15	20.11	2977	9.10	17.23	2977	8.930	15.079	2977	8.876	13.406	2976	8.822
260	533.15	20.50	2996	9.017	17.55	2997	8.975	15.367	2997	8.913	13.663	2997	8.859
270	543.15	21.27	3015	9.119	18.22	3017	9.010	15.913	3017	8.985	14.177	3017	8.912
280	553.15	22.04	3037	9.190	18.88	3037	9.119	16.532	3037	9.057	14.610	3037	9.003
290	563.15	22.42	3057	9.225	19.21	3057	9.154	16.811	3057	9.092	14.947	3057	9.018
300	573.15	22.81	3117	9.252	19.54	3117	9.185	17.10	3117	9.126	15.204	3117	9.072
310	583.15	23.19	3137	9.292	19.87	3137	9.221	17.39	3137	9.160	15.460	3137	9.106
320	593.15	23.58	3157	9.326	20.20	3157	9.255	17.680	3157	9.193	15.716	3157	9.139
330	603.15	23.96	3177	9.359	20.53	3177	9.280	17.96	3177	9.226	15.971	3177	9.171
340	613.15	24.35	3198	9.391	20.86	3198	9.320	18.25	3198	9.258	16.23	3198	9.204
350	623.15	25.12	3238	9.455	21.52	3238	9.381	18.83	3238	9.322	16.74	3238	9.268
360	633.15	25.89	3280	9.517	22.18	3280	9.416	19.41	3280	9.364	17.26	3280	9.330
370	643.15	26.28	3301	9.543	22.51	3301	9.446	19.70	3301	9.415	17.51	3301	9.361
380	653.15	26.65	3321	9.578	22.81	3321	9.506	19.99	3321	9.445	17.76	3321	9.321
390	663.15	27.04	3342	9.608	23.17	3342	9.536	20.20	3342	9.475	18.02	3342	9.421
400	673.15	27.43	3363	9.638	23.50	3363	9.566	20.56	3363	9.504	18.27	3363	9.450
410	683.15	27.82	3384	9.667	23.81	3384	9.594	20.85	3384	9.534	18.51	3384	9.400
420	693.15	28.20	3405	9.704	24.14	3405	9.625	21.13	3405	9.561	18.78	3405	9.507
430	703.15	28.76	3410	9.751	24.92	3410	9.693	21.71	3410	9.621	19.29	3410	9.567
440	713.15	29.74	3490	9.810	25.49	3490	9.739	22.29	3490	9.678	19.80	3490	9.621
450	723.15	30.13	3512	9.818	25.82	3512	9.767	22.58	3512	9.706	20.06	3512	9.652
460	733.15	30.52	3533	9.846	26.15	3533	9.795	22.07	3533	9.734	20.32	3533	9.680
470	743.15	30.90	3553	9.884	26.40	3553	9.823	23.16	3553	9.762	20.59	3553	9.708
480	753.15	31.29	3576	9.921	26.81	3576	9.850	23.45	3576	9.789	20.81	3576	9.715
490	763.15	31.67	3598	9.948	27.14	3598	9.877	23.74	3598	9.816	21.09	3598	9.762
500	773.15	32.06	3612	9.974	27.47	3612	9.903	24.03	3612	9.842	21.35	3612	9.788
510	783.15	32.83	3653	10.026	28.13	3661	9.935	24.60	3661	9.871	21.87	3661	9.810
520	793.15	33.60	3707	10.070	28.72	3707	10.007	25.18	3707	9.945	22.39	3707	9.891
530	803.15	34.18	3729	10.103	29.12	3729	10.032	25.47	3729	9.970	22.61	3729	9.916
540	813.15	34.37	3751	10.128	29.45	3751	10.057	25.76	3751	9.995	22.90	3751	9.941
550	823.15	34.75	3773	10.153	29.79	3773	10.082	26.05	3773	10.020	23.16	3773	9.966
560	833.15	35.14	3796	10.178	30.11	3796	10.106	26.31	3796	10.045	23.41	3796	9.991
570	843.15	35.52	3818	10.202	30.44	3818	10.130	26.63	3818	10.069	23.67	3818	10.015
580	853.15	35.91	3841	10.226	30.77	3841	10.151	26.92	3841	10.093	23.92	3841	10.039
590	863.15	36.68	3866	10.274	31.42	3866	10.292	27.50	3866	10.141	24.44	3866	10.087
600	873.15	37.44	3931	10.321	32.08	3931	10.249	20.08	3931	10.100	24.95	3931	10.133

TABLO F. 3 Lityumbromür-Su eriyiği basınç - sıcaklık - konsantrasyon diyagramı *



TABLO F. 4 Lityumbromür - Su eriyiği için entalpi - konsantrasyon diyagramı *



TABLO F. 5 Atmosfer basıncında gazların termo-fiziksel özelliklerİ **

T (K)	ρ (kg/m ³)	c_p (kJ/kg · K)	$\mu \cdot 10^7$ (N · s/m ²)	$\nu \cdot 10^6$ (m ² /s)	$k \cdot 10^3$ (W/m · K)	$\alpha \cdot 10^4$ (m ² /s)	Pr
Ammonia (NH₃) Continued							
460	0.4460	2.393	159	35.7	46.3	43.4	0.822
480	0.4273	2.430	166.5	39.0	49.2	47.4	0.822
500	0.4101	2.467	173	42.2	52.5	51.9	0.813
520	0.3942	2.504	180	45.7	54.5	55.2	0.827
540	0.3795	2.540	186.5	49.1	57.5	59.7	0.824
560	0.3708	2.577	193	52.0	60.6	63.4	0.827
580	0.3533	2.613	199.5	56.5	63.8	69.1	0.817
Carbon Dioxide (CO₂)							
280	1.9022	0.830	140	7.36	15.20	9.63	0.765
300	1.7730	0.851	149	8.40	16.55	11.0	0.766
320	1.6609	0.872	156	9.39	18.05	12.5	0.754
340	1.5618	0.891	165	10.6	19.70	14.2	0.746
360	1.4743	0.908	173	11.7	21.2	15.8	0.741
380	1.3961	0.926	181	13.0	22.75	17.6	0.737
400	1.3257	0.942	190	14.3	24.3	19.5	0.737
450	1.1782	0.981	210	17.8	28.3	24.5	0.728
500	1.0594	1.02	231	21.8	32.5	30.1	0.725
550	0.9625	1.05	251	26.1	36.6	36.2	0.721
600	0.8826	1.08	270	30.6	40.7	42.7	0.717
650	0.8143	1.10	288	35.4	44.5	49.7	0.712
700	0.7564	1.13	305	40.3	48.1	56.3	0.717
750	0.7057	1.15	321	45.5	51.7	63.7	0.714
800	0.6614	1.17	337	51.0	55.1	71.2	0.716
Carbon Monoxide (CO)							
200	1.6888	1.045	127	7.52	17.0	9.63	0.781
220	1.5341	1.044	137	8.93	19.0	11.9	0.753
240	1.4055	1.043	147	10.5	20.6	14.1	0.744
260	1.2967	1.043	157	12.1	22.1	16.3	0.741
280	1.2038	1.042	166	13.8	23.6	18.8	0.733
300	1.1233	1.043	175	15.6	25.0	21.3	0.730
320	1.0529	1.043	184	17.5	26.3	23.9	0.730
340	0.9909	1.044	193	19.5	27.8	26.9	0.725
360	0.9357	1.045	202	21.6	29.1	29.8	0.725
380	0.8864	1.047	210	23.7	30.5	32.9	0.729
400	0.8421	1.049	218	25.9	31.8	36.0	0.719
450	0.7483	1.055	237	31.7	35.0	44.3	0.714
500	0.67352	1.065	254	37.7	38.1	53.1	0.710
550	0.61226	1.076	271	44.3	41.1	62.4	0.710
600	0.56126	1.088	286	51.0	44.0	72.1	0.707
650	0.51806	1.101	301	58.1	47.0	82.4	0.705
700	0.48102	1.114	315	65.5	50.0	93.3	0.702
750	0.44899	1.127	329	73.3	52.8	104	0.702
800	0.42095	1.140	343	81.5	55.5	116	0.705

TABLO F. 5 Devam

T (K)	ρ (kg/m ³)	c_p (kJ/kg · K)	$\mu \cdot 10^7$ (N · s/m ²)	$\nu \cdot 10^6$ (m ² /s)	$k \cdot 10^3$ (W/m · K)	$\alpha \cdot 10^6$ (m ² /s)	Pr
Hydrogen (H₂) Continued							
1600	0.0152	16.28	273.7	1801	697	2815	0.639
1700	0.0143	16.58	284.9	1992	742	3130	0.637
1800	0.0135	16.96	296.1	2193	786	3435	0.639
1900	0.0128	17.49	307.2	2400	835	3730	0.643
2000	0.0121	18.25	318.2	2630	878	3975	0.661
Nitrogen (N₂)							
100	3.4388	1.070	68.8	2.00	9.58	2.60	0.768
150	2.2594	1.050	100.6	4.45	13.9	5.86	0.759
200	1.6883	1.043	129.2	7.65	18.3	10.4	0.736
250	1.3488	1.042	154.9	11.48	22.2	15.8	0.727
300	1.1233	1.041	178.2	15.86	25.9	22.1	0.716
350	0.9625	1.042	200.0	20.78	29.3	29.2	0.711
400	0.8425	1.045	220.4	26.16	32.7	37.1	0.704
450	0.7485	1.050	239.6	32.01	35.8	45.6	0.703
500	0.6739	1.056	257.7	38.24	38.9	54.7	0.700
550	0.6124	1.065	274.7	44.86	41.7	63.9	0.702
600	0.5615	1.075	290.8	51.79	44.6	73.9	0.701
700	0.4812	1.098	321.0	66.71	49.9	94.4	0.706
800	0.4211	1.121	349.1	82.90	54.8	116	0.715
900	0.3743	1.146	375.3	100.3	59.7	139	0.721
1000	0.3368	1.167	399.9	118.7	64.7	165	0.721
1100	0.3062	1.187	423.2	138.2	70.0	193	0.718
1200	0.2807	1.204	445.3	158.6	75.8	224	0.707
1300	0.2591	1.219	466.2	179.9	81.0	256	0.701
Oxygen (O₂)							
100	3.945	0.962	76.4	1.94	9.25	2.44	0.796
150	2.585	0.921	114.8	4.44	13.8	5.80	0.766
200	1.930	0.915	147.5	7.64	18.3	10.4	0.737
250	1.542	0.915	178.6	11.58	22.6	16.0	0.723
300	1.284	0.920	207.2	16.14	26.8	22.7	0.711
350	1.100	0.929	233.5	21.23	29.6	29.0	0.733
400	0.9620	0.942	258.2	26.84	33.0	36.4	0.737
450	0.8554	0.956	281.4	32.90	36.3	44.4	0.741
500	0.7698	0.972	303.3	39.40	41.2	55.1	0.716
550	0.6998	0.988	324.0	46.30	44.1	63.8	0.726
600	0.6414	1.003	343.7	53.59	47.3	73.5	0.729
700	0.5493	1.031	380.8	69.26	52.8	93.1	0.744
800	0.4810	1.054	415.2	86.32	58.9	116	0.743
900	0.4275	1.074	447.2	104.6	64.9	141	0.740
1000	0.3848	1.090	477.0	124.0	71.0	169	0.733
1100	0.3498	1.103	505.5	144.5	75.8	196	0.736
1200	0.3206	1.115	532.5	166.1	81.9	229	0.725
1300	0.2960	1.125	588.4	188.6	87.1	262	0.721

TABLO F. 5 Devam

T (K)	ρ (kg/m ³)	c_p (kJ/kg · K)	$\mu \cdot 10^7$ (N · s/m ²)	$\nu \cdot 10^6$ (m ² /s)	$k \cdot 10^3$ (W/m · K)	$\alpha \cdot 10^6$ (m ² /s)	Pr
Water Vapor (steam)							
380	0.5863	2.060	127.1	21.68	24.6	20.4	1.06
400	0.5542	2.014	134.4	24.25	26.1	23.4	1.04
450	0.4902	1.980	152.5	31.11	29.9	30.8	1.01
500	0.4405	1.985	170.4	38.68	33.9	38.8	0.998
550	0.4005	1.997	188.4	47.04	37.9	47.4	0.993
600	0.3652	2.026	206.7	56.60	42.2	57.0	0.993
650	0.3380	2.056	224.7	66.48	46.4	66.8	0.996
700	0.3140	2.085	242.6	77.26	50.5	77.1	1.00
750	0.2931	2.119	260.4	88.84	54.9	88.4	1.00
800	0.2739	2.152	278.6	101.7	59.2	100	1.01
850	0.2579	2.186	296.9	115.1	63.7	113	1.02

TABLO F. 6 Hiperbolik Fonksiyonlar **

x	sinh x	cosh x	tanh x	x	sinh x	cosh x	tanh x
0.00	0.0000	1.0000	0.00000	2.00	3.6269	3.7622	0.96403
0.10	0.1002	1.0050	0.09967	2.10	4.0219	4.1443	0.97045
0.20	0.2013	1.0201	0.19738	2.20	4.4571	4.5679	0.97574
0.30	0.3045	1.0453	0.29131	2.30	4.9370	5.0372	0.98010
0.40	0.4108	1.0811	0.37995	2.40	5.4662	5.5569	0.98367
0.50	0.5211	1.1276	0.46212	2.50	6.0502	6.1323	0.98661
0.60	0.6367	1.1855	0.53705	2.60	6.6947	6.7690	0.98903
0.70	0.7586	1.2552	0.60437	2.70	7.4063	7.4735	0.99101
0.80	0.8881	1.3374	0.66404	2.80	8.1919	8.2527	0.99263
0.90	1.0265	1.4331	0.71630	2.90	9.0596	9.1146	0.99396
1.00	1.1752	1.5431	0.76159	3.00	10.018	10.068	0.99505
1.10	1.3356	1.6685	0.80050	3.50	16.543	16.573	0.99818
1.20	1.5095	1.8107	0.83365	4.00	27.290	27.308	0.99933
1.30	1.6984	1.9709	0.86172	4.50	45.003	45.014	0.99975
1.40	1.9043	2.1509	0.88535	5.00	74.203	74.210	0.99991
1.50	2.1293	2.3524	0.90515	6.00	201.71	201.72	0.99999
1.60	2.3756	2.5775	0.92167	7.00	548.32	548.32	1.0000
1.70	2.6456	2.8283	0.93541	8.00	1490.5	1490.5	1.0000
1.80	2.9422	3.1075	0.94681	9.00	4051.5	4051.5	1.0000
1.90	3.2682	3.4177	0.95624	10.000	11013	11013	1.0000

¹The hyperbolic functions are defined as

$$\sinh x = \frac{1}{2}(e^x - e^{-x}) \quad \cosh x = \frac{1}{2}(e^x + e^{-x}) \quad \tanh x = \frac{e^x - e^{-x}}{e^x + e^{-x}} = \frac{\sinh x}{\cosh x}$$

The derivatives of the hyperbolic functions of the variable u are given as

$$\frac{d}{dx}(\sinh u) = (\cosh u) \frac{du}{dx} \quad \frac{d}{dx}(\cosh u) = (\sinh u) \frac{du}{dx} \quad \frac{d}{dx}(\tanh u) = \left(\frac{1}{\cosh^2 u} \right) \frac{du}{dx}$$

* Kaynak : McNelly L.A. - Thermodynamic Properties Of Aqueous Solution Of Lithium Bromide)

** Kaynak : Incopera F.P. - De Witt D.P. - Fundamentals Of Heat And Mass Transfer)

Ö Z G E Ç M İ Ş

Bedii Özgür SEVİNECEK, 19. 11. 1972 tarihinde Bursa'da doğdu. İlk ve orta öğrenimini tamamladıktan sonra, 1990 yılında **Bursa Tophane Teknik Lisesi, Makina Bölümünden** mezun oldu. Üniversite eğitimini 1995 yılında Gazimağusa - K.K.T.C. **Eastern Mediterrenean University, Makina Mühendisliği Bölümünde** tamamladı. Aynı yıl **Uludağ Üniversitesi, Makina Mühendisliği, Termodinamik Anabilim Dalı'nda** Yüksek Lisans Eğitimine başladı.

